

บทที่ 2

เอกสารและงานวิจัยที่เกี่ยวข้อง

บทนี้กล่าวถึงทฤษฎี เอกสารและงานวิจัยที่เกี่ยวข้องกับงานวิจัยนี้ ซึ่งประกอบด้วย กระบวนการเคลือบฟิล์มบาง การก่อเกิดฟิล์มบาง โครงสร้างของฟิล์มบาง การเคลือบฟิล์มบางด้วย วิธีสปัตเตอริง กระบวนการ โกล์ดิชาร์จ ระบบเคลือบแบบ ดีซี สปัตเตอริง ระบบเคลือบแบบ ดีซี แมกนีตรอน สปัตเตอริง ระบบเคลือบแบบ อันนาลันซ์ แมกนีตรอน สปัตเตอริง การเคลือบฟิล์ม บาง ด้วยวิธีรีแอคติฟ สปัตเตอริง ไฟฟานียม ไดออกไซด์ สมบัติไฟฟ้าคง常 ไอลติกและ ลักษณะเฉพาะของฟิล์มบาง ไฟฟานียม ไดออกไซด์ ซึ่งมีรายละเอียดดังนี้

กระบวนการเคลือบฟิล์มบาง

การเคลือบฟิล์มบาง (Thin Film) ในสัญญาภาคครั้งแรกทำโดย Bunsen และ Grove ในปี ค.ศ.1852 โดยพื้นฐานแล้วแนวคิดเกี่ยวกับ การเคลือบในสัญญาภาคหรือการเคลือบฟิล์มบาง คือ การเรียงตัว (Fabricated) โดยการตกเคลือบ (Deposition) ของสารเคลือบในลักษณะอะตอมเดียว บนวัสดุรองรับ (Substrate) จนเกิดเป็นชั้นของฟิล์มที่บางมาก ในระดับนาโนเมตรถึงไมโครเมตร จึงอาจกล่าวได้ว่า “ฟิล์มบาง (Thin Film) หมายถึง ชั้นของอะตอมหรือกลุ่มของอะตอมที่จับรวมกัน เป็นชั้นบาง ๆ ” อย่างไรก็ได้การระบุว่าฟิล์มใดเป็น “ฟิล์มบาง” นั้นอาจพิจารณาได้จากลักษณะการใช้งานว่าใช้สมบัติด้านใดของฟิล์ม กล่าวคือ ถ้าเป็นการใช้สมบัติเชิงผิว (Surface Properties) จะเรียกฟิล์มนั้นว่า “ฟิล์มบาง” แต่ถ้าเป็นการใช้สมบัติเชิงปริมาตร (Bulk Properties) จะเรียกฟิล์มนั้นว่า “ฟิล์มหนา” ทั้งนี้จะเห็นว่า ฟิล์มเดียวกันนั้นอาจเป็นทั้ง “ฟิล์มบาง” หรือ “ฟิล์มหนา” ก็ได้ขึ้นกับลักษณะการใช้งาน (Bunshah, 1994)

ปัจจุบันมีการนำฟิล์มบางมาประยุกต์ใช้ในงานด้านต่าง ๆ มากมาย เช่น งานด้าน อิเล็กทรอนิกส์ เช่น สารกึ่งตัวนำ ฟิล์มตัวนำ และฟิล์มตัวต้านทาน หรืองานด้านทัศนศาสตร์ เช่น เลนส์ กระจกสะท้อนแสง กระจกสะท้อนความร้อน เป็นต้น นอกจากนี้ยังสามารถใช้วิธีการเคลือบ ฟิล์มบางในการเตรียมสารตัวอย่างสำหรับใช้ในการศึกษาสมบัติทางกายภาพของวัสดุในรูปของ ฟิล์มบาง ซึ่งสมบัตินางอย่างไม่สามารถวัดได้เมื่อออยู่ในสภาพเป็นก้อน (Bulk) เพราะจะน้ำหนักข้อมูล เหล่านี้มีประโยชน์อย่างมากต่อการพัฒนาวัสดุเพื่อนำไปใช้ในอุตสาหกรรม

การเคลื่อนพิล์มนบางเป็นกระบวนการที่ทำให้สารเคลื่อนตกลเคลื่อนลงบนผิวสัมผ่องรับที่ต้องการ ซึ่งสามารถทำได้ทั้งกระบวนการทางเคมีหรือกระบวนการทางฟิสิกส์ โดยพื้นฐานแล้วกระบวนการการเคลื่อนพิล์มนบ้มีขั้นตอนสำคัญ 3 ขั้นตอน (Smith, 1995) ดังนี้คือ

1. การสร้างสารเคลื่อน (Source) โดยทั่วไปแล้วสารเคลื่อนอาจอยู่ในรูปของ ของเหลว ไอ หรือแก๊ส ก็ได้ แต่สารเคลื่อนจะทำการเคลื่อนนั้นจำเป็นต้องอยู่ในรูปของ ไอระเหยเท่านั้น ซึ่งวิธีการที่ทำให้สารเคลื่อนกลายเป็นไอระเหยสามารถทำได้หลายวิธี เช่น การให้ความร้อนหรือการระดมยิงด้วยอนุภาคที่มีพลังงานสูง เป็นต้น

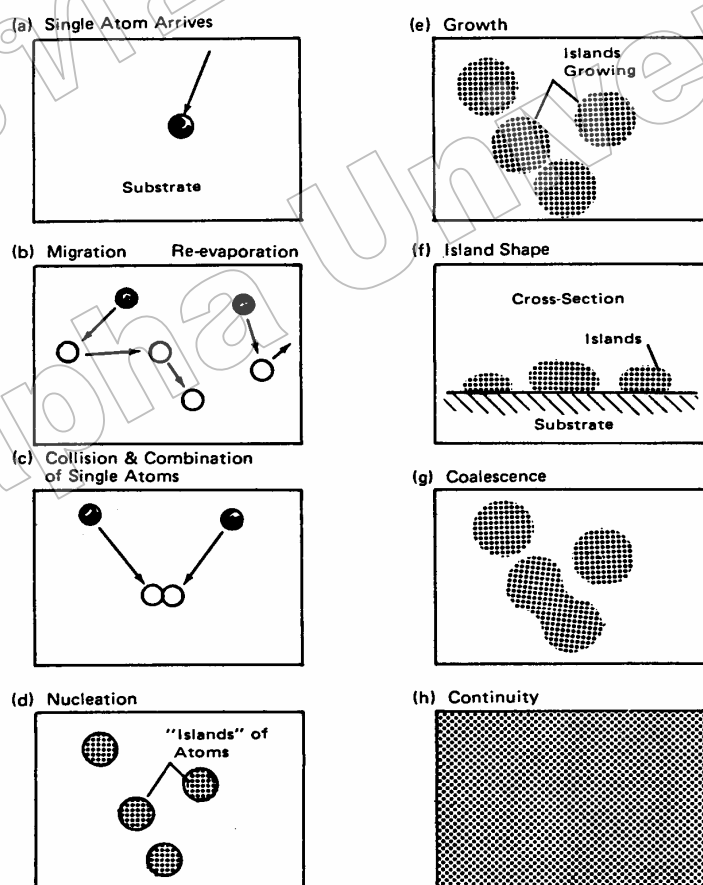
2. การเคลื่อนย้ายสารเคลื่อนมาขึ้นวัสดุรองรับ (Transport) ในภาวะสุญญากาศ ไอระเหยของสารเคลื่อนอาจจะมีการเคลื่อนที่เป็นสันตรง ไปยังวัสดุรองรับ หรืออาจจะเคลื่อนที่ไปในลักษณะของไอล ซึ่งจะทำให้ไอระเหยของสารเคลื่อนมีการชนกับอนุภาคอื่นภายในภาชนะสุญญากาศ นอกจานนี้ไอระเหยอาจจะเคลื่อนที่ไปยังวัสดุรองรับในลักษณะของพลาสม่าได้

3. การควบแน่น (Deposition) เป็นการพอกพูนและโถเข็นลงภายเป็นชั้นพิล์มนบางบนวัสดุรองรับส่วนของการควบแน่นและพอกพูนของชั้นพิล์มนบันนี้ จะเข็นกับเงื่อนไขของวัสดุรองรับหรือการทำปฏิกิริยาของสารเคลื่อนกับวัสดุรองรับ ความสะอาดของผิวสัมผ่องรับ ตลอดจนพลังงานที่ใช้ในการเคลื่อน

การก่อเกิดพิล์มนบาง

การเกิดพิล์มนบางจากการกระบวนการเคลื่อนพิล์มนบางในสุญญากาศ Chapman (1980) ได้อธิบายไว้ว่างนี้เมื่อสารเคลื่อนจากแหล่งกำเนิดสารเคลื่อนเคลื่อนที่มาถึงวัสดุรองรับ สารเคลื่อนที่กระทบผิวสัมผ่องรับส่วนใหญ่จะอยู่ในรูปของอะตอมหรือโมเดกูล (ภาพที่ 2-1 (a)) โดยพลังงานพันธะ (Bonding Energy) ระหว่างอะตอมของสารเคลื่อนกับวัสดุรองรับและอุณหภูมิของวัสดุรองรับ จะเป็นตัวกำหนดความสามารถในการแพร่ (Diffusion) ของสารเคลื่อนบนผิวสัมผ่องรับ อะตอมของสารเคลื่อนจะกระทบผิวสัมผ่องรับในตำแหน่งที่เรียกว่าตำแหน่งการดูดจับ (Adsorption Site) ทำให้เกิดการเกาะติดหรือถ้ามีพลังงานมากพอ ก็อาจกระโดดข้ามตำแหน่งพลังงานไปยังบริเวณที่อยู่ติดกันหรือหลุดออกจากตำแหน่งนั้นไป (ภาพที่ 2-1 (b)) ในช่วงเวลาหนึ่ง อะตอมสารเคลื่อนอาจเกิดการระเหยกลับและเกิดการรวมตัวกันระหว่างอะตอมที่มีการแพร่ด้วยกัน เมื่ออะตอมของสารเคลื่อนรวมตัวกันอาจเกิดเป็นอะตอมคู่ (ภาพที่ 2-1 (c)) ซึ่งมีความเสถียรมากกว่าอะตอมเดี่ยว (Single Atom) ซึ่งการรวมตัวกันของอะตอมนั้นจะขึ้นอยู่กับความหนาแน่นของอะตอมเดี่ยวและอัตราเคลื่อน (Deposition Rate) อะตอมคู่อาจรวมตัวกับอะตอมเดี่ยวอีกหนึ่งแล้วกลายเป็นสามอะตอม (Triplets) หรือ สี่อะตอม (Quadruplets) หรืออื่น ๆ ลักษณะเช่นนี้เรียกว่า

สภาวะการเกิดนิวเคลียต (ภาพที่ 2-1 (d)) ทำให้ได้กลุ่มอะตอมกึ่งเสถียร (Quasi-Stable Islands) จากนั้นกลุ่มอะตอมจะเริ่มโตขึ้นเร็วกว่า การโตเป็นกลุ่มก้อน (Island Growth) ขนาดของกลุ่มอะตอมจะใหญ่ขึ้น โดยมีจำนวนอะตอมเพิ่มเดิม หรือเพิ่มขึ้นเล็กน้อย (ภาพที่ 2-1 (e) และ 2-1 (f)) การโตของกลุ่มอะตอมนี้จะเกิดขึ้นเรื่อยๆ จนกระทั่งขอบของแต่ละกลุ่มอะตอมชนกัน เร็วกว่า การรวมกันเป็นก้อนของกลุ่มอะตอม (Agglomeration หรือ Coalescence) (ภาพที่ 2-1 (g)) จากการศึกษาด้วยเทคนิค Transmission Electron Microscopy (TEM) พบว่าขณะที่กลุ่มอะตอมรวมกันเป็นก้อนอะตอมจะมีพฤติกรรมคล้ายของเหลว (Liquid-Like Behaviour) และมีการจัดเรียงทิศทางในชิ้น品格ิจิวิทยา (Crystallographic Orientation) ด้วย การรวมกันเป็นก้อนของกลุ่มอะตอมจะเกิดขึ้นจนกระทั่งเชื่อมต่อกันอย่างต่อเนื่อง (ภาพที่ 2-1 (h)) แต่ในบางกรณีการเชื่อมต่อกันอย่างต่อเนื่องจะเกิดขึ้นได้อย่างสมบูรณ์เมื่อฟิล์มนี้ความหนาโดยเฉลี่ยประมาณ $0.04 - 0.05 \mu\text{m}$ ลักษณะพิเศษของฟิล์มบางขณะเกิดการรวมกลุ่มอะตอมจะดูคล้ายนินจาและหมูนา



ภาพที่ 2-1 การก่อเกิดฟิล์มบาง (Chapman, 1980)

เมื่อพิจารณาการเกิดฟิล์มในสภาพที่เป็นกลุ่มอะตอม (Island) พบว่าอาจเป็นกลุ่มของ พลีกเดี่ยวหรือกลุ่มของพลีกคู่หรือมากกว่านั้น ซึ่งกลุ่มอะตอมเหล่านี้จะตกเคลื่อนลงบนวัสดุรองรับ ที่เป็นวัสดุหลายพลีก ทิศทางการจัดเรียงตัว (Orientation) ของแต่ละกลุ่มอะตอมนั้นจะเป็นแบบสุ่ม (Random) ทำให้ได้ฟิล์มบางที่มีโครงสร้างเป็นหลายพลีกด้วย แต่ถ้ากลุ่มอะตอมเหล่านั้นตกเคลื่อน บนวัสดุรองรับที่เป็นพลีกเดี่ยว การจัดเรียงตัวของฟิล์มนี้จะมีลักษณะเป็นพลีกเดี่ยว และเรียกการเกิด ฟิล์มแบบพลีกเดี่ยวประเภทนี้ว่า เอพิแทกซี (Epitaxy)

ถ้าอะตอมที่ผิวของวัสดุรองรับมีพลังงานเพียงพอ อะตอมเหล่านี้จะเคลื่อนที่เพื่อเลือก เข้าไปอยู่ในตำแหน่งที่มีพลังงานต่ำกว่าเสมอ ทั้งนี้ความสามารถในการเคลื่อนที่ (Mobility) ของ อะตอมจะเพิ่มขึ้น ถ้าอุณหภูมิที่ผิววัสดุรองรับสูงขึ้น นอกจากนี้การลดอัตราเคลื่อนยังสามารถช่วย ให้การโตของพลีกเกิดได้ยิ่งขึ้น เพราะอะตอมมีเวลาในการโตมากพอ ดังนั้นถ้าอุณหภูมิของวัสดุ รองรับสูงและมีอัตราเคลื่อนตัวจะได้ฟิล์มที่มีขนาดของเกรนใหญ่ขึ้น มีข้อบกพร่องในเกรนน้อยลง และได้ฟิล์มที่มีความหนามากพอสำหรับการเชื่อมต่อกันอย่างสมบูรณ์ ในทางกลับกันถ้าอุณหภูมิ วัสดุรองรับต่ำแต่อัตราเคลื่อนสูงก็จะให้ผลลักษณะเดียวกัน

โครงสร้างของฟิล์มบาง

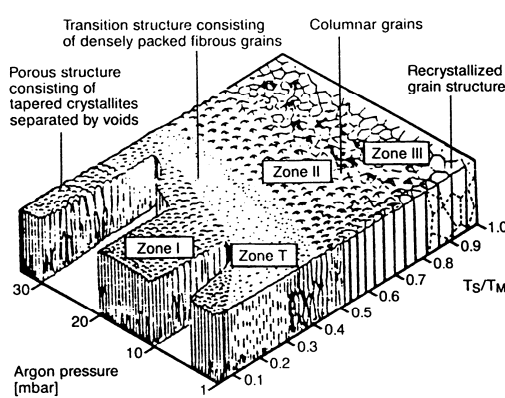
โครงสร้างของฟิล์มบางจะเป็นไปตามเงื่อนไขของอัตราส่วนระหว่างอุณหภูมิเคลื่อน กับอุณหภูมิหลอมเหลว (T/T_m) ซึ่งแบ่งออกเป็น 4 ส่วน ตามลักษณะ โครงสร้างและสมบัติทาง กายภาพ (ชีวารัตน์ ม่วงพัฒน์, 2544) ดังภาพที่ 2-2

- บริเวณ 1 (Zone1) เป็นการเคลื่อนที่เกิดในช่วงอุณหภูมิต่ำ และความดันขณะ เคลื่อนมีค่าสูง อะตอมที่อยู่บนผิววัสดุรองรับจะมีค่าสัมประสิทธิ์การแพร่ต่ำ ทำให้เกิดการเกาะกัน เป็นกลุ่มเล็ก ๆ กระჯัดกระจาย และเกิดเป็นโครงสร้างพลีกที่มีลักษณะเรียกวัสดุแบบ Tapers Crystallites จากนิวเคลียสที่มีปริมาณจำกัด ทำให้เกิดความหนาแน่นของโครงสร้างต่ำ มีช่องว่าง ขนาดความกว้างในระดับ 100 \AA ที่ T/T_m เท่ากับ $0 - 0.1$ ที่ความดัน 1 mtorr ถ้าความดันสูง บริเวณนี้จะขยายกว้างสู่บริเวณที่มีอุณหภูมิสูงขึ้น และทำให้ขนาดของพลีกเพิ่มขึ้น ถ้า T/T_m เพิ่มขึ้น เนื่องจากที่ความดันสูงความหนาแน่นของแก๊สในภาชนะสูญญากาศมีมากขึ้น อนุภาคของสาร เคลื่อนจะเคลื่อนที่ตกลงมาได้ยากขึ้น ทำให้อนุภาคของสารเคลื่อนตกลงมาได้น้อย และขณะที่ตก อาจรวมตัวกับอนุภาคอื่น ทำให้อนุภาคที่ตกลงมามีขนาดใหญ่ และมีเวลาในการเคลื่อนที่เพื่อฟอร์ม ตัวเป็นนิวเคลียสมากขึ้น จึงทำให้ช่องว่างระหว่างเกรนมีขนาดใหญ่เกิดขึ้น ลักษณะของฟิล์มบางที่ บรรจุระมักจะเกิดจากความไม่สม่ำเสมอของการโตของนิวเคลียส โดยอุณหภูมิที่มีผลต่อการโตของ ฟิล์มมักจะมาจากไออกอนที่ระดับยิงเป็นส่วนใหญ่

2. บริเวณ T (Zone T) เป็นบริเวณต้นแบบสำหรับการเคลือบฟิล์มด้วยระบบสปีดเตอริง โดยที่ค่าของ T/T_m อยู่ในช่วง 0.1 - 0.5 ที่ความดันขณะเคลือบประมาณ 1 mtorr เกิดในช่วงระหว่างบริเวณ 1 และบริเวณ 2 อะตอมที่อยู่บนผิวสัมผัสรองรับจะมีปริมาณมากขึ้น และได้รับพลังงานจากการชนของอนุภาคสารเคลือบ ทำให้อุณหภูมิของวัสดุรองรับเพิ่มขึ้น ค่า Surface Mobility จะเพิ่มขึ้น และโครงสร้างในบริเวณ 1 ที่จะเข้าสู่บริเวณ T ซึ่งจะเริ่มมีเกรนยาวย (Fibrous Grain) เต็มพื้นที่ และขอบเกรนมีความหนาแน่นสูงขึ้น จึงมีการแพร่ของอะตอมผ่านขอบเกรนที่ไม่แข็งแรงนั้นเข้าเป็นเนื้อเดียวกัน จนกลายเป็นคอลัมนาร์ (Columnar) ค่อไป โดยปราศจากช่องว่างบริเวณที่ขอบ

3. บริเวณ 2 (Zone II) ที่บริเวณ 2 จะมีค่า T/T_m อยู่ระหว่าง 0.5 - 0.8 ที่ความดันขณะเคลือบประมาณ 1 mtorr จะเกิดการแพร่ที่อยู่ต่อระหัวงขอบเกรน จนเกิดเป็นโครงสร้างแบบคอลัมนาร์ที่เกิดจากการอยู่กันอย่างหนาแน่นของผลึกหักห้าม ขนาดของเกรนและความหนาของฟิล์มจะเพิ่มขึ้น เนื่องจากอุณหภูมิในการเคลือบและอัตราการเคลือบเพิ่ม (มีผลต่อ Surface Mobility ของอะตอม) และขนาดของคอลัมนาร์จะเพิ่มขึ้นเรื่อยๆ เมื่ออุณหภูมิเพิ่มขึ้น เนื่องจากการแพร่ที่บริเวณรอยต่อระหว่างขอบคอลัมนาร์

4. บริเวณ 3 (Zone III) บริเวณนี้อุณหภูมิสูงสุดและค่า T/T_m อยู่ระหว่าง 0.8 - 1.0 ที่ความดันขณะเคลือบประมาณ 1 mtorr การแพร่จะมีค่าสูง และส่งผลต่อโครงสร้างสุดท้ายโดยตรงที่ได้จะเป็นเกรนที่มีด้านเท่ากันหมด ขนาดของ คอลัมนาร์ จะมีขนาดใหญ่ และความหนาแน่นเพิ่มขึ้นอย่างไรก็ตามที่อุณหภูมิสูงอาจจะทำให้เกิดการจัดเรียงผลึกใหม่ (Recrystallization) เนื่องมาจากพลังงานสะสมของความเครียด (Stored Strain Energy) ที่เกิดขึ้นตั้งแต่ตอนเคลือบ เกรนที่เกิดขึ้นในบันตอนนี้จะเปลี่ยนจาก คอลัมนาร์ เป็นผลึกเดียว



ภาพที่ 2-2 โครงสร้างของการเกิดฟิล์มในรูปแบบต่างๆ (จีวรัตน์ ม่วงพัฒน์, 2544)

การเคลือบฟิล์มบางด้วยวิธีสปัตเตอริง

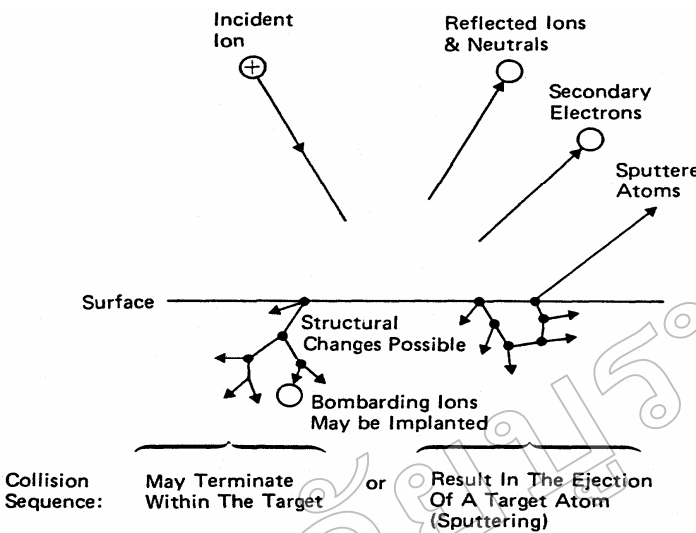
การเคลือบด้วยวิธีสปัตเตอริง เป็นกระบวนการพอกพูนของชั้นฟิล์มบางที่เกิดจากสารเคลือบที่ได้จากการกระบวนการสปัตเตอร์ การเคลือบด้วยวิธีนี้เกิดขึ้นเมื่ออะตอมของสารเคลือบที่ได้จากการกระบวนการสปัตเตอร์วิ่งเข้าชนวัสดุรองรับและมีการพอกพูนและโตเป็นฟิล์มบางในที่สุดกระบวนการสปัตเตอริงคือการทำให้อะตอมหลุดจากผิวของวัสดุ โดยการชนของอนุภาคพลังงานสูงแล้วมีการแลกเปลี่ยนพลังงานและไม่มีตัวกระตุ้นระหว่างอนุภาคที่วิ่งเข้าชนกับอะตอมที่ผิวสารเคลือบโดยอนุภาคที่วิ่งเข้าชนอาจเป็นกลางทางไฟฟ้าหรือมีประจุก็ได้ และเนื่องจากไอออนที่ได้จากกระบวนการสปัตเตอร์ในการเคลือบฟิล์มบางด้วยวิธีสปัตเตอร์จะเคลือบที่ด้วยความเร็วสูงกว่าวิธีการระเหยสารมาก ดังนั้นเมื่ออะตอมของสารเคลือบวิ่งเข้ากระทบแผ่นวัสดุรองรับก็จะฝังตัวแน่นลงในเนื้อวัตถุที่ต้องการเคลือบมากกว่าวิธีระเหยสาร ดังนั้นการเคลือบด้วยวิธีสปัตเตอริงจะทำให้การยึดเกาะระหว่างสารเคลือบกับวัตถุรองรับดีกว่า (พิเชยฐ์ ลิ่มสุวรรณ และธนัสสา รัตนะ, 2547; Chapman, 1980)

เมื่อพิหาน้ำของวัสดุๆ กระคมบยิ่งด้วยอนุภาคพลังงานสูงจะทำให้เกิดการสึกกร่อนและมีอนุภาคที่พิหาน้ำของวัสดุนั้นหลุดมา เนื่องจากการชนของอนุภาคพลังงานสูงกับอนุภาคที่พิหาน้ำปรากฏการณ์ที่อนุภาคพิหาน้ำวัสดุหลุดออกมานี้เรียกว่า สปัตเตอร์ (Sputter) หรือสปัตเตอริง (Sputtering) กระบวนการสปัตเตอริงนี้ถูกค้นพบครั้งแรกเมื่อ 100 กว่าปีที่ผ่านมาโดย Grove ซึ่งในขณะนั้นสปัตเตอริงเป็นกระบวนการที่ทำให้เกิดความเสียหายกับค่าトイดและคริดในหลอดดิสcharชั่งแต่ปัจจุบันมีการนำมาประยุกต์ใช้อย่างกว้างขวาง เช่น การทำความสะอาดผิวน้ำ (Surface Cleaning) การกัดเซาะ (Etching) การวิเคราะห์ชั้นผิวน้ำของวัสดุ (Surface Layer Analysis) และการเคลือบฟิล์มบาง

สำหรับแนวคิดเบื้องต้นเกี่ยวกับกระบวนการสปัตเตอริง อธิบายได้ดังนี้
1. อันตราริยะระหว่างไอออนและผิวเป้าสารเคลือบ เมื่อวิงชนผิวน้ำวัสดุจะเกิดปรากฏการณ์ดังนี้

1.1 การสะท้อนที่ผิวน้ำของไอออน (Reflected Ion and Neutral) ไอออนอาจสะท้อนกลับจากผิวน้ำซึ่งส่วนใหญ่จะสะท้อนออกมายังรูปของอะตอมที่เป็นกลางทางไฟฟ้า อันเกิดจากการรวมตัวกับอิเล็กตรอนที่ผิวเป้าสารเคลือบ

1.2. การปลดปล่อยอิเล็กตรอนชุดที่สอง (Secondary Electron Emission) จากการชนของไอออนอาจทำให้เกิดการปลดปล่อยอิเล็กตรอนชุดที่สองจากเป้าสารเคลือบถ้าไอออนนั้นมีพลังงานสูงพอ



ภาพที่ 2-3 ขั้นตอนกริยาระหว่าง ไออ่อนกับพื้นผิวสัมผัส (Chapman, 1980)

1.3 การฝังตัวของ ไออ่อน (Ion Implantation) ไออ่อนที่วิ่งชนเป้าสารเคลือบนั้นอาจฝังตัวลงในสารเคลือบ โดยความลึกของการฝังตัวจะแปรผันโดยตรงกับพลังงาน ไออ่อน ซึ่งมีค่า 10 องศาตรอม/ พลังงาน ไออ่อน 1 keV สำหรับ ไออ่อนของแก๊สอาร์กอนที่ฝังตัวในทองแดง

1.4 การเปลี่ยนโครงสร้างของผิวสารเคลือบ (Target Material Structural Rearrangements) การชนของ ไออ่อนบนผิวสารเคลือบทาให้เกิดการเรียงตัวของอะตอมที่ผิวสารเคลือบใหม่ และเกิดความบกพร่องของผลึก (Lattice Defect) โดยเรียกการจัดตัวใหม่ของโครงสร้างผิวนี้ว่า Altered Surface Layer

1.5 การสปั๊ตเตอร์ (Sputter) การชนของ ไออ่อนอาจทำให้เกิดกระบวนการชนกันแบบต่อเนื่องระหว่างอะตอมของเป้าอันทำให้เกิดการปลดปล่อยอะตอมจากเป้าสารเคลือบ ซึ่งเรียกว่ากระบวนการสปั๊ตเตอริง

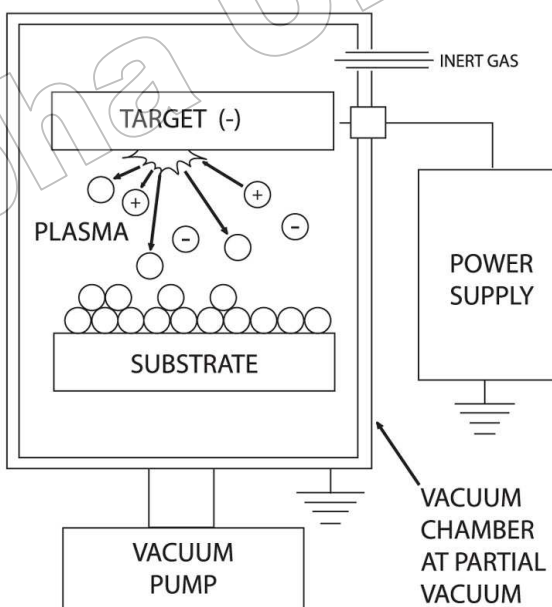
2. กระบวนการสปั๊ตเตอริง เป็นกระบวนการที่อะตอมผิวนี้ของวัสดุถูกทำให้หลุดออกมากด้วยการชนของอนุภาคพลังงานสูง โดยมีการแลกเปลี่ยนพลังงานและไม่มีตัวกลางระหว่างอนุภาคที่วิ่งเข้าชนกับอะตอมที่ผิวสัมผัศักดิ์กล่าว กระบวนการนี้อนุภาคที่วิ่งเข้าชนอาจเป็นกลางทางไฟฟ้าหรือมีประจุได้ดังนั้นสิ่งที่จำเป็นในกระบวนการสปั๊ตเตอริง คือ

2.1 เป้าสารเคลือบ ทำหน้าที่เป็นเป้าให้ออนุภาคพลังงานสูงวิ่งเข้าชนมีการปลดปล่อยอะตอมของสารเคลือบลงเคลือบบนวัสดุรองรับ

2.2 อนุภาคพลังงานสูง ซึ่งวิ่งชนเป้าสารเคลือบ แล้วทำให้อะตอมของเป้าสารเคลือบหลุดออกมานอกตัว ปกติอนุภาคพลังงานสูงนี้อาจเป็นกลางทางไฟฟ้า เช่น นิวตรอน หรืออะตอมของธาตุ

ต่าง ๆ แต่การทำให่อนุภาคที่เป็นกลางมีพลังงานสูงเกิน 10 eV เพื่อใช้ในกระบวนการสปัตเตอริ่งทำได้ค่อนข้างยาก วิธีการหนึ่งที่นิยมคือการเร่งอนุภาคประจุภายในได้สานามไฟฟ้า ซึ่งสามารถควบคุมระดับพลังงานได้อย่างตามต้องการ อิเล็กตรอนเป็นอนุภาคที่มีประจุบวกหนึ่งที่ผลิตได้ง่ายและสามารถเร่งให้มีพลังงานสูงภายในได้ แต่อิเล็กตรอนมีมวลน้อยกว่าอะตอมของสารเคลื่อนมากทำให้การถ่ายเทพลังงานและไม่เม่นตั้มต่ออะตอมสารเคลื่อนนั้นเป็นไปได้อย่างไม่มีประสิทธิภาพและไม่สามารถทำให้กระบวนการสปัตเตอริ่งเกิดขึ้นได้ ตามทฤษฎีทางฟิสิกส์การชนกันระหว่าง 2 อนุภาคที่มีการส่งถ่ายพลังงานและไม่เม่นตั้มดีที่สุดจะเกิดขึ้นเมื่อมวลของอนุภาคทั้งสองมีค่าเท่ากันดังนั้นเราจึงเลือกการเร่งไอดอนของกีลส์ในสานามไฟฟ้าเป็นอนุภาควิ่งชนเป้าสารเคลื่อนซึ่งให้อัตราการปลดปล่อยเป้าสารเคลื่อนสูงเพียงพอ กับความต้องการ

2.3 การผลิตอนุภาคพลังงานสูง อนุภาคพลังงานสูงในระบบสปัตเตอริ่งนี้จะต้องถูกผลิตขึ้นอย่างต่อเนื่อง เพื่อให้กระบวนการเคลื่อนสารเกิดขึ้นได้อย่างต่อเนื่องจนได้ความหนาพิลิมน้ำงตามต้องการ ทั้งนี้สามารถทำได้หลายวิธี เช่นการใช้ลำอนุภาคจากปืนไอดอนที่มีปริมาณการผลิตไอดอนในอัตราสูงหรือผลิตจากการกระบวนการโกลว์ดิสชาร์จ เนื่องจากปืนไอดอนมีราคาค่อนข้างสูงและให้ไอดอนในพื้นที่แคบ กระบวนการสปัตเตอริ่งทั่วไปในระดับอุตสาหกรรมจึงนิยมใช้กระบวนการโกลว์ดิสชาร์จในการผลิตอนุภาคพลังงานสูง



ภาพที่ 2-4 ลักษณะของเครื่องเคลื่อนอนุภาคด้วยวิธีสปัตเตอริ่ง

3. ค่า yiield ของสปัตเตอริง (Sputtering Yield: S) คือ ค่าเฉลี่ยปริมาณการหลุดของอะตอม เป้าสารเคลื่อนต่อปริมาณการชนของไออ่อน 1 อนุภาค มีหน่วยเป็น อะตอมต่อไออ่อน การวัดค่า yiield นี้ สามารถทำได้โดยการหาน้ำหนักหรือความหนาที่ลดลงของเป้าสารเคลื่อน หรือหาได้จาก วัสดุทึ้งหมดที่ถูกสปัตเตอร์ หรืออาจหาได้จากการตรวจสปัตเตอร์อะตอม (Sputter Atom) ขณะที่ยังฟื้นกระจาย (พิเชยฐ์ ลิ่มสุวรรณ และชนัสดา รัตนะ, 2547) ค่า yiield ของกระบวนการสปัตเตอริง จะเปลี่ยนไปตามภาวะต่าง ๆ ดังนี้

3.1 เปลี่ยนแปลงตามพลังงานไออ่อน การชนของอนุภาค 2 อนุภาคในแนวเดียวกัน การถ่ายเทพลังงานระหว่างอนุภาคจะเป็นไปตามสมการที่ 1

$$\Delta E = \frac{4mM}{(m + M)^2} \quad (1)$$

เมื่อ ΔE คือพลังงานที่ถ่ายเทระหว่างอนุภาค
 m คือมวลอะตอมที่ถูกชน
 M คือมวลของอะตอมที่วิ่งเข้าชน

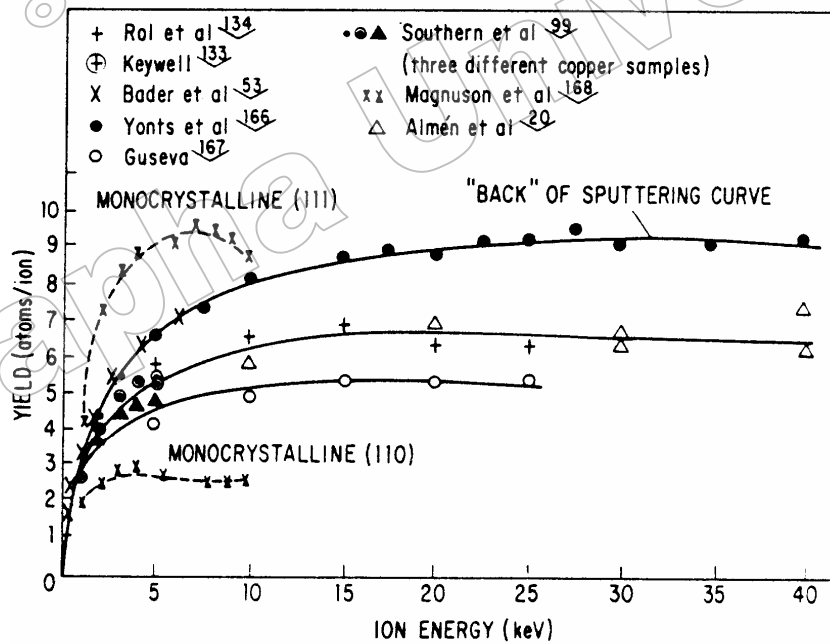
เมื่อพลังงานไออ่อนมีค่าต่ำมาก ค่า yiield จากกระบวนการสปัตเตอริง จะมีค่าเป็นศูนย์ เนื่องจากไม่สามารถเอาชนะแรงขีดเค็มระหว่างอะตอมบนเป้าสารเคลื่อนได้ เมื่อไออ่อนมีพลังงานสูงขึ้นเกินกว่า 4 H (H คือค่าพลังงานเฉลี่ยที่ใช้ในการระเหิด 1 อะตอม จากผิวสารเคลื่อน) ถ้าพลังงานไออ่อนสูงมากพอในการทำให้เกิดกระบวนการชนอย่างต่อเนื่องระหว่างอะตอม สารเคลื่อนจะเริ่มมีการปลดปล่อยอะตอมสารเคลื่อน เรียกพลังงานค่านี้ว่า พลังงานปีกเริ่ม (Threshold Energies) ซึ่งเปลี่ยนแปลงไประหว่างคุณภาพของอนุภาค (ตารางที่ 2-1)

เมื่อไออ่อนชนมีพลังงานสูงขึ้น yiield จะเพิ่มขึ้นอย่างรวดเร็วแบบเอ็กซ์โพเนนเชียล ในช่วงแรกและเปลี่ยนเป็นการเพิ่มแบบเชิงเส้นจากนั้นจึงมีการอิ่มตัว (Saturation) ของค่า yiield เมื่อพลังงานไออ่อนมีค่าสูงมาก ทั้งนี้เนื่องจากไออ่อนพลังงานสูงมีโอกาสในการผสานตัวบนผิวเป้าสารเคลื่อนสูงขึ้นทำให้ yiield ของสารเคลื่อนมีค่าคงที่ จากนั้นจะมีค่าลดลงเล็กน้อยเมื่อเพิ่มพลังงานไออ่อนให้สูงมากขึ้น ดังแสดงในภาพที่ 2-5

ตาราง 2-1 พลังงานปิดเริ่มของเป้าสารเคลื่อนชนิดต่าง ๆ (Maissel & Glang, 1970)

	Ne	Ar	Kr	Xe	Hg		Ne	Ar	Kr	Xe	Hg
Be	12	15	15	15	-	Mo	24	24	28	27	32
Al	13	13	15	18	18	Rh	25	24	25	25	-
Ti	22	20	17	18	25	Pd	20	20	20	15	20
C	21	23	25	28	25	Ag	12	15	15	17	-
Cr	22	22	18	20	23	Ta	25	26	30	30	30
Fe	22	20	25	23	25	W	35	33	30	30	30
Co	20	25	22	22	-	Re	35	35	25	30	35
Ni	23	21	25	20	-	Pt	27	25	22	22	25
Cu	17	17	16	15	20	Au	20	20	20	18	-
Ge	223	25	22	18	25	Th	20	24	25	25	-
Zr	23	22	18	25	30	U	20	23	25	22	27
Nb	27	25	26	32	-						

Boldface values are those for which the energy-transfer factor $4m_1 m_2 / (m_1 + m_2)^2$ is 0.9 or higher



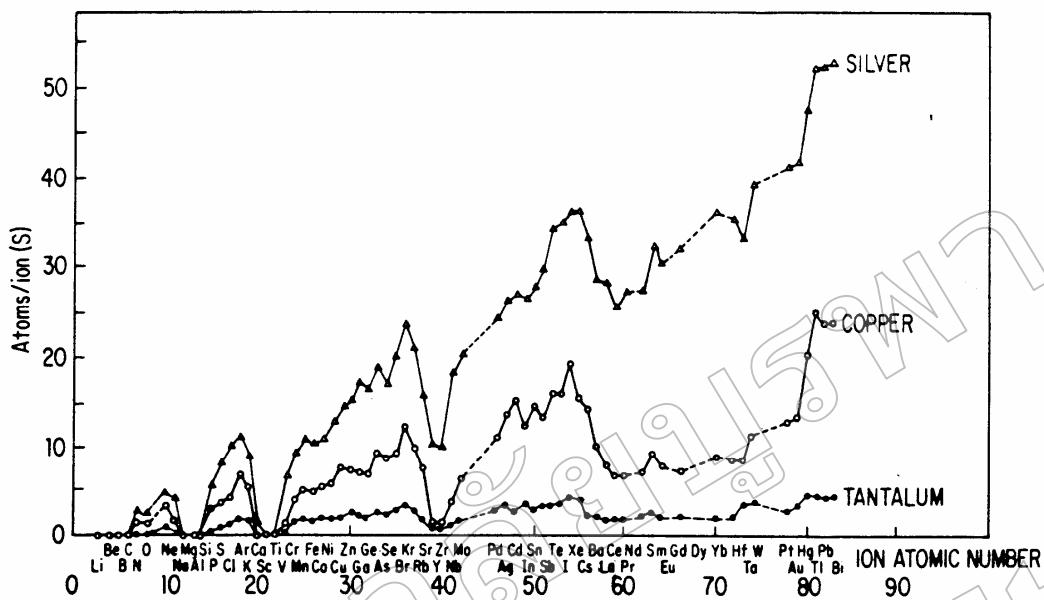
ภาพที่ 2-5 ขีดค์ของทองแดงที่ถูกชนด้วยไออ่อนจากแก๊สสารก้อนที่พลังงานต่าง ๆ

(Maissel & Glang, 1970)

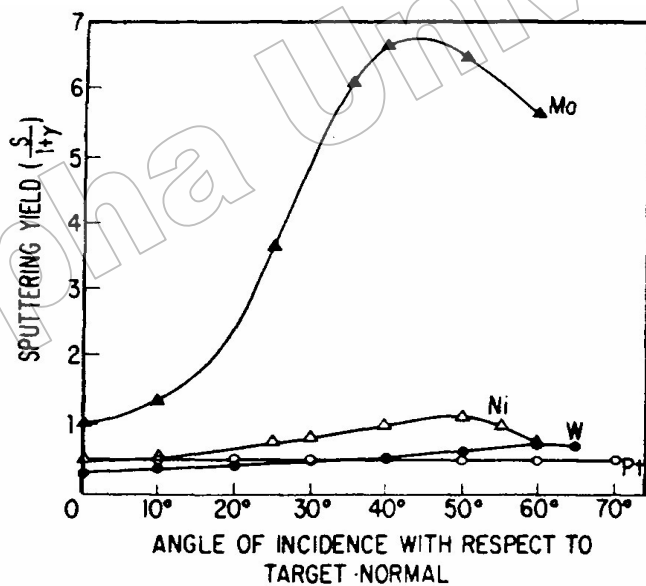
3.2 เปลี่ยนแปลงตามระนาบผลึกของผิวเปล่าสารเคลือบ จากการทดลองพบว่าเมื่อใช้เปล่าสารเคลือบที่เป็นผลึกเดียวค่าเยล์ดจะมีค่ามากที่สุดเมื่อไออกอนชนเป้าในแนวระนาบที่มีอะตอมหนาแน่นที่สุด และมีค่าต่ำในระนาบที่มีอะตอมเบาบาง ในทองแดงซึ่งมีโครงสร้างผลึกแบบ FCC (Face Centered Cubic) พบว่าการชนบนระนาบ (111) ซึ่งมีความหนาแน่นอะตอมสูงสุด ค่าเยล์ดจะมีค่าสูงสุดเมื่อใช้ค่าพลังงานไออกอนในการชนค่าเดียวกัน ส่วนระนาบที่มีความหนาแน่นอะตอมต่ำไออกอนมีแนวโน้มวิ่งฟังด้วยในเปล่าสารเคลือบมากขึ้น

3.3 เปลี่ยนแปลงตามชนิดของไออกอนที่ชนเปล่าสารเคลือบ ค่าเยล์ดจากเปล่าสารเคลือบชนิดเดียวกัน เมื่อใช้ไออกอนต่างชนิดกันวิ่งชนจะมีค่าแตกต่างกันออกไป แม้สมการที่ 1 แสดงให้เห็นว่าการถ่ายเทพลังงานระหว่าง 2 อนุภาคที่ชนกันจะมีค่าสูงสุดเมื่อมวลของอะตอมทั้งสองมีค่าเท่ากัน แต่อะตอมบนเปล่าสารเคลือบมีค่าคงที่ของอะตอมข้างเคียงจึงทำตัวเสมือนมีมวลยังผลสูงกว่ามวลของอะตอมเดียวกันพบร่วมกับค่าสูงขึ้นเมื่อใช้ไออกอนที่มีมวลสูงกว่ามวลของอะตอมเปล่าสารเคลือบ ภาพที่ 2-6 แสดงการเปลี่ยนแปลงของค่าเยล์ดพบร่วมกับค่าสูงสุดเป็นช่วง ๆ ณ ตำแหน่งที่ใช้ไออกอนจากแก๊ส惰性 คือแก๊ส Ne , Ar , Kr , และ Xe ซึ่งเป็นอะตอมที่มีอิเล็กตรอนครรุ 8 ในวงนอกสุด สามารถดูของการเกิดจุดสูงสุดของค่าเยล์ดเป็นช่วง ๆ นี้ยังไม่มีคำอธิบายที่ชัดเจน

3.4 เปลี่ยนแปลงตามมุมตกรอบของไออกอนบนเปล่าสารเคลือบ จากการทดลองพบว่าเมื่อมุมเอียงของ การชนจากไออกอนบนเปล่าสารเคลือบที่หลุดออกมายังน้ำ ก็จะมีค่าสูงขึ้นตามมุมที่เอียง เนื่องจากอะตอมสารเคลือบที่หลุดออกมายังน้ำ ก็จะมีค่าสูงขึ้นตามมุมที่เอียง การตกรอบของอะตอมน้อยกว่าทำให้เยล์ดสูงขึ้นจนถึงจุดหนึ่งซึ่งมีค่าสูงสุดที่องศาการเอียงมากกว่า 45° จากนั้นเยล์ดจะมีค่าลดลงเมื่อมุมสูงขึ้น และเป็นศูนย์เมื่อมุมเอียงมีค่า 90° โดยขณะนั้นพื้นที่การชน เมื่อมองจากไออกอนมีค่าเป็นศูนย์ ภาพที่ 2-7



ภาพที่ 2-6 การเปลี่ยนแปลงค่าขีดคัดของเป้าทองแดง (Cu) , เงิน (Ag) และแทนทาลัม (Ta) เมื่อใช้ ไอออนพลังงาน 45 keV จากชาตุที่มีเลขอะตอมค่าต่าง ๆ (Maissel & Glang, 1970)



ภาพที่ 2-7 การเปลี่ยนแปลงของขีดคัดเมื่อใช้ไอออนของ proton พลังงาน 200 eV ชนเป้านิกเกิล (Ni), ไมลิบดินัม (Mo) , ทั้งสตeten (W) และทองคำขาว (Pt) ที่มุ่งการตกรอบทบค่าต่าง ๆ (วัดเทียบกับแนวชนตั้งจากบนเป้า) (Maissel & Glang, 1970)

4. ความเร็วและพลังงานของอะตอมที่ถูกสปีดเตอร์หลุดออกจากผิวน้ำเป้าสารเคลื่อน ด้วยวิธีการสปีดเตอร์มีพลังงานจนค่อนข้างสูงและมากกว่าพลังงานของอะตอมที่หลุดออกด้วยวิธีการระเหยสารประมาณ 50 - 100 เท่า อะตอมมีการกระจายพลังงานแบบ Maxwellian โดยที่พลังงานส่วนใหญ่มีค่าต่ำกว่า 10 eV และอีกส่วนหนึ่งมีพลังงานระหว่าง 10 - 40 eV ถ้าไอออนที่ใช้มีพลังงานสูงขึ้น พลังงานเฉลี่ยของอะตอมจากสปีดเตอร์จะมีค่าสูงขึ้นเมื่อไอออนที่วิงชั่นมีพลังงานเกิน 1 keV พลังงานเฉลี่ยของอะตอมจากการสปีดเตอร์จะไม่เพิ่มขึ้นและเป็นที่มีค่าขีดสูงมีแนวโน้มทำให้พลังงานเฉลี่ยของอะตอมที่หลุดออกมามีค่าต่ำ เนื่องจากไอออนที่วิงชั่นเมื่อเฉลี่ยพลังงานให้กับอะตอมที่หลุดออกมากจำนวนมาก อะตอมแต่ละตัวจะรับพลังงานเฉลี่ยจากไอออนได้น้อยลง

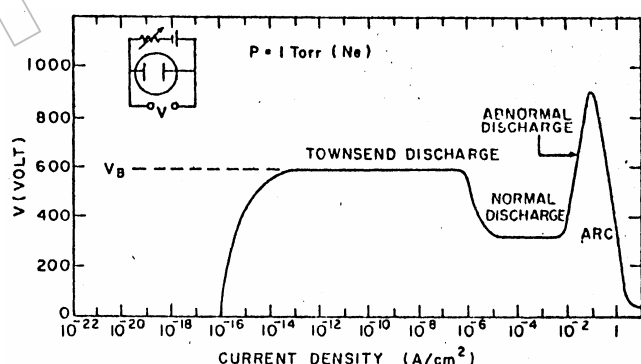
กระบวนการโกล์ดิศาร์จ

พิเชฐ ลิ่มสุวรรณ และธนัสดา รัตนะ (2547) ได้อธิบายกระบวนการโกล์ดิศาร์จไว้ดังนี้ เมื่อไห้แรงดันไฟฟ้ากระแสตรงให้กับขั้วอิเล็กโทรด 2 ขั้ว ที่วางห่างกันเป็นระยะ 4 ภานย ใต้ความดันประมาณ 1.33 mbar ของแก๊สนีโอน พบว่าช่วงแรกที่เพิ่มแรงดันทางไฟฟ้าจะมีกระแสไฟล์ในวงจรน้อยมาก กระแสส่วนนี้เกิดจากการเคลื่อนที่ของอิเล็กตรอนและไอออนของแก๊สที่เกิดขึ้นตลอดเวลาในบรรยายกาศเนื่องจากการชนของรังสีคลอสเมติกและถูกเร่งภายใต้สนามไฟฟ้า กระแสนี้จะมีค่าค่อนข้างคงที่เพราะอัตราการเกิดประจุขึ้นอยู่กับความเข้มของรังสี เมื่อศักยไฟฟ้าเพิ่มขึ้นไปด้วยค่าเร่งดันไฟฟ้าทะลาย (Breakdown Voltage: VB) พลังงานของประจุที่ถูกเร่งภายใต้สนามไฟฟ้าจะมีค่าสูงขึ้นตามสามารถชนไมเลกูลของแก๊สทำให้เกิดการแตกตัวเป็นไอออนบวกและอิเล็กตรอนซึ่งจะถูกเร่งภายใต้สนามไฟฟ้าให้มีการชนและการเกิดประจุเพิ่มขึ้น ส่วนของไอออนบวกจะถูกเร่งเข้าชนขั้วคากาไฟด์ ทำให้เกิดการปลดปล่อยอิเล็กตรอนทุติยภูมิ (Secondary Electron) เรียกกระบวนการชั่งนี้ว่า หวานเซนต์คิศาร์จ (Tawnsend Discharge)

เมื่อแรงดันไฟฟ้าเพิ่มขึ้นถึงแรงดันไฟฟ้าทะลายจะเกิดกระบวนการคลั่ม (Avalanche) ทำให้ปริมาณไอออนบวกวิ่งเข้าชนคากาไฟด์มากขึ้นและมีการปลดปล่อยอิเล็กตรอนทุติยภูมิมากขึ้นซึ่งจะถูกเร่งให้วิ่งเข้าหาขั้วขาโนดขณะเดียวกันอิเล็กตรอนทุติยภูมินี้จะมีการชนกับไมเลกูลของแก๊สทำให้เกิดไอออนมากขึ้น สุดท้ายไอออนบวกที่เพิ่มขึ้นมากขึ้นนี้จะวิ่งเข้าชนคากาไฟด์แล้วเกิดการปลดปล่อยอิเล็กตรอนทุติยภูมิเพิ่มขึ้นตามมาด้วย และชนไมเลกูลแก๊สทำให้เกิดผลิตไอออนเพิ่มขึ้นทำให้กระแสเพิ่มขึ้นอย่างรวดเร็วจนมีปริมาณไอออนมากเพียงพอที่จะผลิตอิเล็กตรอนได้ในจำนวนคงที่ ชั่งนี้ระบบสามารถรักษาสภาพคิศาร์จได้เองโดยไม่ต้องอาศัยแหล่งกำเนิดจากรังสีภายนอกในการผลิตไอออน ชั่งนี้แก๊สภายในระบบจะเกิดการเรืองแสงขึ้น แรงดันไฟฟ้าระหว่าง

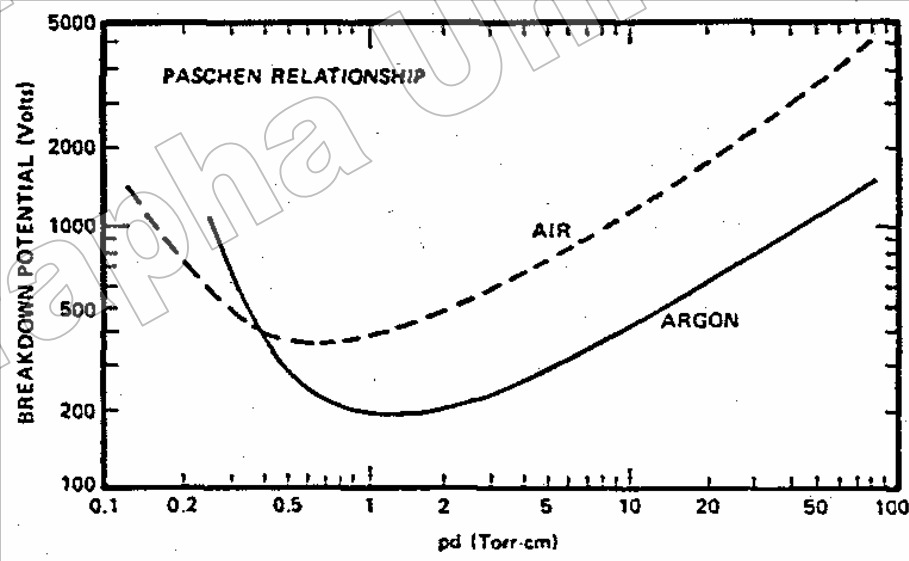
ข้ออิเล็กโทรคลอดค่าลงและกระแสไฟฟ้าเพิ่มขึ้นอย่างรวดเร็วเรียกว่า การเรืองแสงปกติ หรือ นอร์มอล โกลว์ (Normal Glow) สภาพนี้อัตราการปลดปล่อยอิเล็กตรอนทุกภูมิท่ออัตราการชนของไอออน มีค่าค่อนข้างต่ำ คือประมาณ 0.1 สำหรับเป้าหมายที่ทำจากวัสดุหัวไช่ โดยในช่วงเริ่มต้นของการ เรืองแสงหรือ โกลว์ การชนของไอออนบนค่าโถดจะปรับตัวเองให้เกิดขึ้นในบางบริเวณ แนวการ เรืองแสงอาจเลื่อนไปมาได้และการชนของไอออนบนค่าโถด ไม่มีความสม่ำเสมอโดยจะมีความ เข้มของบริเวณการเรืองแสงตามแนวขอบหรือมุมของค่าโถดที่มีสนามไฟฟ้าสูงเพื่อรักษาสภาพการ โกลว์ (Self-Sustaining) บางบริเวณไว้ เมื่อกระแสไฟฟ้ามีค่าเพิ่มขึ้นตามแนวการชนของไอออนจะ ค่อยๆ ขยายตัว เพิ่มพื้นที่จนครอบคลุมตลอดผิวค่าโถด จนกระทั่งมีค่าความหนาแน่นกระแส เท่ากันตลอดโดยมีค่าแรงดันไฟฟาระหว่างข้ออิเล็กโทรคลอดที่

หลังจากการชนของไอออนครอบคลุมพื้นที่ทั้งหมดของค่าโถดแล้ว การเพิ่มกำลังไฟฟ้า เข้าสู่ระบบจะทำให้ทึบแรงดันไฟฟ้าและกระแสไฟฟ้ามีค่าเพิ่มขึ้น เรียกว่า ช่วงการเรืองแสงผิดปกติ เปล่งแสงขึ้น หรือ แอบนอร์มอล โกลว์ (Abnormal Glow) เป็นช่วงที่ใช้กับระบบสปีดเตอริง และ อีกหลายๆ ระบบของกระบวนการเกี้ยวข้องกับ โกลว์ดิสชาร์จ ช่วงนี้ถ้าไม่ระบายความร้อนให้กับ ค่าโถด เมื่อความหนาแน่นของกระแสของค่าโถดเพิ่มขึ้นสูงประมาณ 0.1 A/cm^2 ความร้อนที่เกิด จากการชนของไอออนบนวัสดุผิวค่าโถดมีมากขึ้น จนเกิดการปล่อยอิเล็กตรอนแบบเทอร์มิออนิก (Thermionic Electron Emission) เสริมกับการปลดปล่อยอิเล็กตรอนทุกภูมิและติดตามด้วย กระบวนการผลลัพธ์ครั้งหนึ่ง ทำให้ความนำไฟฟ้าของแก๊สในระบบสูงขึ้นอย่างรวดเร็ว แรงดันไฟฟาระหว่างข้ออิเล็กโทรคลอดคงมากขนาดที่กระแสไฟฟ้าเพิ่มสูงขึ้นและเปล่งประกายจ้า ของการอาร์ค (Arc Discharge) ภาพที่ 2-8

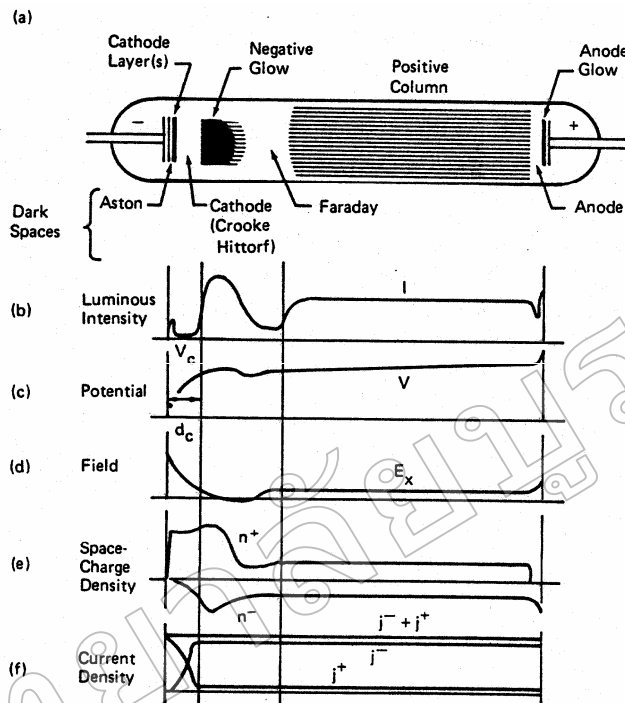


ภาพที่ 2-8 ความสัมพันธ์ของความหนาแน่นกระแสและแรงดันไฟฟาระหว่างข้ออิเล็กโทรคลอดของ กระบวนการเกิด ดีซี โกลว์ดิสชาร์จ ในหลอดสูญญากาศบรรจุแก๊สนีโอน
(Vossen & Kerns, 1978)

ค่าแรงดันไฟฟ้าทะลายในกระบวนการโกลว์ดิสชาร์จมีค่าเปลี่ยนแปลงไปกับระยะทาง d ระหว่างอิเล็กโทรดและระยะปลดการชนระหว่างอิเล็กตรอนทุติกวูม และ โนเมเลกุลของแก๊ส (ระยะปลดการชนของอิเล็กตรอนทุติกวูมนี้จะแปรผกผันกับความดัน และมีค่ามากกว่าระยะปลดการชนของการชนกันเองระหว่าง โนเมเลกุลแก๊ส) ปกติอิเล็กตรอนทุติกวูมแต่ละตัวมีความสามารถในการผลิตไออกอนบวกได้ระหว่าง 10 ถึง 20 ตัว เพื่อให้เกิดกระบวนการผลิตในช่วงของนอร์มอล โกลว์ ถ้าความดันต่ำเกินไป (ระยะปลดการชนยาวขึ้น) หรือระยะทาง d มีค่าน้อยเกินไป อิเล็กตรอนทุติกวูมจะไม่สามารถผลิตไออกอนได้มากพอ ก่อนการชนกับอาโนด ถ้าความดันสูงเกินไป (ระยะปลดการชนสั้นลง) หรือระยะ d มากเกินไป อิเล็กตรอนทุติกวูมไม่สามารถเพิ่มพลังงานให้กับตัวเองในสานานไฟฟ้าได้มากพอสำหรับใช้ในการไออกอนซึ่งเมื่อกิจกรรมพลังงานจะถูกถ่ายทอดให้โนเมเลกุลแก๊สในรูปการกระตุ้น (Excite) ขึ้นไปอยู่ในระดับพลังงานที่สูงขึ้นทำให้ไม่สามารถผลิตไออกอนบวกได้มากเพียงพอ เช่นกัน ดังนั้นทั้งสองกรณีจะต้องใช้แรงดันทางไฟฟ้าทะลายค่อนข้างสูง โดยมีจุดหนึ่งระหว่างนี้ที่ใช้ค่าแรงดันไฟฟ้าทะลายต่ำสุดตามกฎของปาเชน (Pachen's law) ซึ่งแสดงให้เห็นความสัมพันธ์ระหว่างแรงดันไฟฟ้าทะลายและผลคูณระหว่างความดันแก๊ส (P) และระยะระหว่างอิเล็กโทรด (d) (ภาพที่ 2-9)



ภาพที่ 2-9 ความสัมพันธ์ระหว่างแรงดันไฟฟ้าทะลายและผลคูณระหว่างความดัน (P) และระยะระหว่างอิเล็กโทรด (d) (Bunshah, 1994)



ภาพที่ 2-10 โกล์ดิศชาร์จของหลอดนีออนยาว 50 cm ที่ความดัน 1.33 mbar (Chapman, 1980)

ในระบบสปีกเตอริงทั่วไป สภาวะของการเกิดโกล์ดิศชาร์จจะกระทำในช่วงที่ผลกูณของความดันกับระยะห่างระหว่างอิเล็กโทรด ($P \cdot d$) ซึ่งมีค่าต่ำกว่าจุดต่ำสุดของกราฟมาก (เนื่องจาก การเคลือบฟิล์มที่ความดันต่ำทำให้ฟิล์มที่ได้มีคุณภาพดี การแทรกตัวของแก๊สในเนื้อฟิล์มน้อยและ ลดปริมาณสารปลอมปนในฟิล์ม) จึงต้องการแรงดันไฟฟ้าเริ่มต้นค่อนข้างสูง บางครั้งจึงมี ความจำเป็นต้องใช้การเพิ่มความดันชั่วขณะเพื่อให้เริ่มการดิศชาร์จได้ที่แรงดันไฟฟ้าต่ำ ส่วนต่าง ๆ ของกระบวนการโกล์ดิศชาร์จ แสดงได้ดังภาพที่ 2-10 แต่ละส่วนอธิบาย ได้ดังนี้ ช่วงแรกคือช่วงมีดแอสตัน (Aston Dark Space) เป็นบริเวณที่อิเล็กตรอนถูกปล่อยจาก คาดด้วยพลังงานต่ำประมาณ 1 eV ซึ่งไม่สามารถไอออกในชั้นโมเลกุลแก๊สได้ ทำให้เกิดเป็นช่วง มีด ถัดจากผิวคาดด้วยบริเวณที่มีการเปลี่ยนแปลงแสงออกมารด้วยความเร็วสูงมากเรียกว่า คาดโกล์ด (Cathode Glow) เป็นบริเวณที่ไอออกของแก๊สจากการดิศชาร์จ และ ไอออกของอะตอมสารเคลือบ ซึ่งถูกผลิตขึ้นบริเวณคาดด้วยการรวมตัวเป็นกลุ่มกับอิเล็กตรอนในลักษณะคาดด้วยกระบวนการ ต่าง ๆ ทำให้เกิดแสงซึ่งเป็นความถี่เฉพาะของสารที่ทำคาดด้วยคาดและของแก๊สที่ใช้ เช่น ถ้าคาดเป็น ทองแดงจะมีสีเขียว ทองคำมีสีส้มแดง แก๊สօร์กอนมีสีน้ำเงินฟ้า และแก๊สในโตรเจนมีสีม่วง เป็นต้น

ถัดจากค่าโทด โกลว์เรียกว่าช่วงมีดครุคหรือช่วงมีดค่าโทด (Crook or Cathode Dark Space) พลังงานของอิเล็กตรอนมีค่าสูงกว่าพลังงานในการไอออกในซึ่งไม่เกิดเมื่อถูกเร่งผ่านสนามไฟฟ้าในระบบปลดปล่อยอนุภาค ทำให้บริเวณปลดปล่อยอนุภาคนี้ไม่มีกระบวนการกระตุนหรือไอออกในซึ่งเกิดขึ้น การปลดปล่อยแสงจึงไม่เกิดในช่วงนี้และถูกยกเป็นบริเวณมีดถัดจากกระบวนการออกไปอิเล็กตรอนทุติกวามิจะสูญเสียพลังงานส่วนใหญ่โดยการไอออกในซึ่งไม่เกิดเมื่อถูกเร่งผ่านสนามไฟฟ้าในบวกที่เกิดขึ้นเคลื่อนที่ได้หากว่าอิเล็กตรอนมากทำให้ระบบปลดปล่อยอนุภาคมีการสะสมของไอออกบวกอยู่มาก (Positive Space Charge) ศักย์ไฟฟ้าเกือบทั้งหมดคงร่องบาร์เวนค่าโทดค่าร์คสเปชนี้ ทำให้สนามไฟฟ้าบาร์เวนนี้สูงขึ้นมากและมากกินพอในการเร่งอิเล็กตรอนชนและไอออกในซึ่งไม่เกิดเมื่อถูกเร่งผ่านสนามไฟฟ้าที่ตอกคร่อมข้ออิเล็กตรอมมีค่าลดลงตามกราฟดังภาพที่ 2-8 ส่วนอิเล็กตรอนเมื่อถูกเร่งจากบาร์เวนที่ผลิตไอออกของค่าร์คสเปชแล้วจะมีพลังงานลดต่ำลงมาก ดังนั้นพลังงานที่เหลือจึงเพียงใช้ในการกระตุนไม่เกิดเมื่อถูกเร่งผ่านสนามไฟฟ้าที่ตอกคร่อมข้ออิเล็กตรอนจะเป็นอนุภาคที่เคลื่อนที่ได้เร็วแต่พลังงานที่เหลือน้อยมากรวมทั้งประจุบวกและประจุลบรวมของไอออกทางด้านซ้ายมือในบาร์เวนค่าร์คสเปชทำให้อิเล็กตรอนใช้เวลาในการเคลื่อนที่ผ่านช่วงเรืองแสงนี้นานขึ้นและเกิดการสะสมประจุบนบาร์เวนนี้จึงเรียกว่า เนกาทีฟ โกลว์ (Negative Glow)

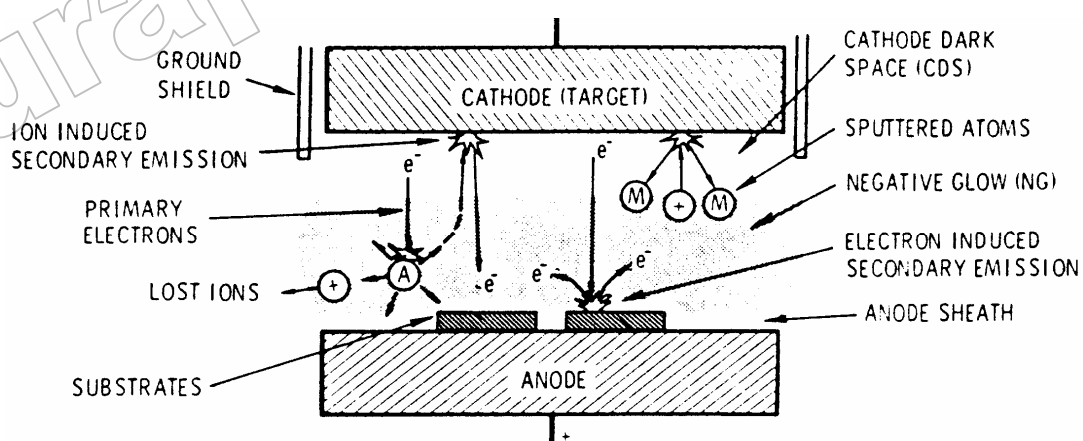
จากนั้นอิเล็กตรอนจะมีพลังงานลดลงจนไม่สามารถกระตุนไม่เกิดเมื่อถูกเร่งผ่านระบบพลังงานสูงได้ ทำให้เกิดบาร์เวนมีดอีกช่วงหนึ่งเรียกว่า ช่วงมีดฟาราเดย์ (Faraday Dark Space) ถัดจากช่วงนี้กระบวนการที่เกิดขึ้นคล้ายกับการคิดเห็นด้วยมีปริมาณอิเล็กตรอนค่อนข้างคงที่ถูกเร่งภายใต้สนามไฟฟ้าค่าต่ำ ๆ ทำให้อิเล็กตรอนถูกเร่งเข้าสู่อาโนดและมีพลังงานสูงพอสำหรับการกระตุนไม่เกิดเมื่อถูกเร่งผ่านบาร์เวนนี้อีกรึหนึ่ง อิเล็กตรอนซึ่งเคลื่อนที่เร็วจะถูกความเข้าสู่อาโนดอย่างรวดเร็วทำให้พลาสมาน้ำในบาร์เวนนี้มีประจุบวกสูงกว่าจึงเรียกว่า ล้ำเรืองแสงศักย์ไฟฟ้าบวก (Positive Glow Column)

เนื่องจากการรักษาสภาพะ โกลว์ดิสชาร์จขึ้นกับปริมาณของอิเล็กตรอนที่ถูกผลิตขึ้นบาร์เวนค่าโทดจากการชันของไอออกที่ถูกผลิตบาร์เวนแทนค่าที่ฟิโกลว์ จึงพบว่าการเบลี่ยนแปลงตำแหน่งอาโนดเพียงเล็กน้อยจะไม่มีผลต่อกระบวนการโกลว์ดิสชาร์จ เมื่อเลื่อนอาโนดเข้าหาค่าโทด จนพื้นช่วงมีดฟาราเดย์ เข้าสู่เนกานิฟิโกลว์จนถึงช่วงค่าโทดค่าร์คสเปช ทำให้ปริมาณไอออกที่ถูกผลิตจากอิเล็กตรอนทุติกวามิมีปริมาณน้อยลง การรักษาสภาพะ โกลว์ดิสชาร์จไว้จำเป็นต้องใช้แรงดันไฟฟ้าที่สูงขึ้นซึ่งจะส่งผลถึงปริมาณไอออกที่ถูกผลิตสูงขึ้นด้วย การโกลว์ในลักษณะนี้จะเรียกว่า ออปสตรัค โกลว์ (Obstructed Glow) และเมื่อเลื่อนอาโนดเข้าใกล้ค่าโทดต่ำมาจนพื้น

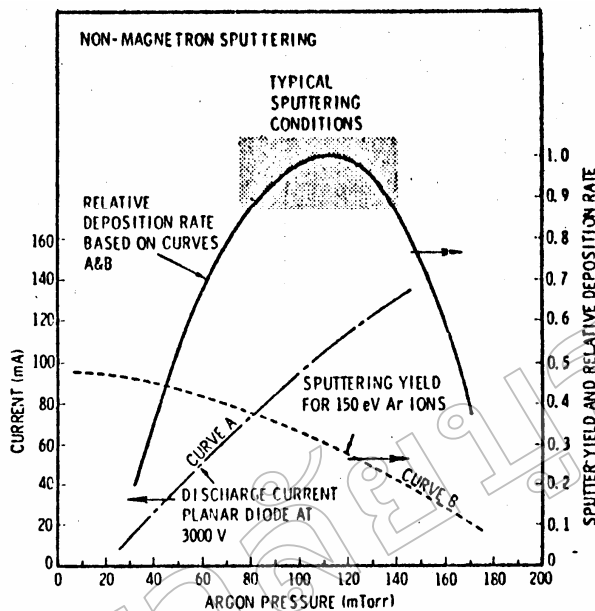
ขอบของ คาโทด คาร์บสเปช ซึ่งมีระยะสั้นกว่าระยะปลดการชนของอิเล็กตรอน จะไม่มีการผลิตไอออนเกิดขึ้นและกระบวนการดิสชาร์จไว้ได้ และถ้าหากมีสิ่งสกปรกบริเวณคาโทดการอาร์คอาจเกิดขึ้นได้โดยไม่เกิดการ โกลว์ดิสชาร์จก็ได้

ระบบเคลือบแบบ ดีซี สปัตเตอริง

ภาพที่ 2-11 แสดงระบบเคลือบแบบ ดีซี สปัตเตอริง อย่างง่ายที่สุด (พิเชษฐ์ ลิมสุวรรณ และธนัสสถา รัตนะ, 2547; Bunshah, 1982; Smith, 1995) ซึ่งประกอบด้วยคาโทด คือ แผ่นเป้าสารเคลือบและอาโนด คือ ที่วางวัสดุรองรับหรือชิ้นงานที่ต้องการเคลือบ ปกติระยะระหว่างคาโทด และวัสดุรองรับจะอยู่ระหว่าง 4 - 10 cm เพื่อป้องกันการสูญเสียอะตอมสารเคลือบที่พนังของภาชนะสูญญากาศ โดยทั่วไประยะคาร์บสเปช อยู่ระหว่าง 1 - 4 cm โดยอาโนดจะอยู่บริเวณนาทีฟโกลว์ ส่วนอุปกรณ์ทำงานจะอยู่ในช่วงขอบนอرمอล โกลว์ดิสชาร์จ แก๊สที่ใช้เป็นแก๊สเนื้อยังไห มีลดลงและไม่ทำปฏิกิริยากับสารเคลือบ (ปกติใช้แก๊สอาร์กอน) ขณะเกิดโกลว์ดิสชาร์จที่ความดันค่านี้ กระบวนการ ไอออน ในชั้นจะรักษาสภาพโกลว์ดิสชาร์จ ไว้ทราบที่ระยะคาร์บสเปช ไม่มาก กว่าระยะระหว่างคาโทดและอาโนด เมื่อความดันลดลงหรือแรงดันไฟฟ้าระหว่างอิเล็กโทรดสูงขึ้น ระยะปลดการชนของอิเล็กตรอนจะสูงขึ้น ทำให้ระยะคาร์บสเปชขยายตัวออกและแหล่งผลิตไอออนในระบบมีปริมาณน้อยลงและอะตอมที่ถูกสปัตเตอร์มีปริมาณลดลงตามปริมาณของไอออน และกระแสไฟฟ้าในระบบ ที่ความดันต่ำกว่า 10^{-2} mbar ระยะคาร์บสเปชจะยาวกว่าระยะระหว่างอิเล็กโทรด และกระแสไฟฟ้าลดลงสู่ศูนย์ ทำให้กระบวนการผลิตไอออนสิ้นสุดลงและไม่มีอะตอมหลุดออกจากเป้าสารเคลือบเนื่องจากการสปัตเตอร์อีก



ภาพที่ 2-11 ระบบเคลือบแบบ ดีซี สปัตเตอริง (Bunshah, 1994)



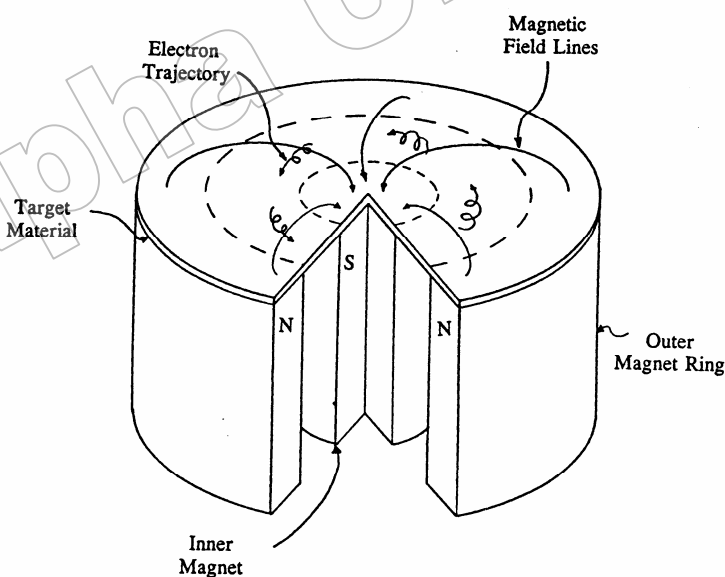
ภาพที่ 2-12 ผลของความดันในระบบที่มีผลต่ออัตราเคลื่อน ค่าเยล็ดและกระแสไฟฟ้าในระบบสปัตเตอริงของนิกเกิลที่ใช้แรงดันไฟฟ้า 3,000 V ระหว่างขั้วอิเล็กโทรดที่ห่างกัน 4.5 cm (Vossen & Kerns, 1978)

ขณะที่ความดันสูงขึ้นจะลดลง แต่เมื่อความดันสูงขึ้นจะเพิ่มขึ้นและกระบวนการสปัตเตอริงเกิดขึ้นในอัตราสูงตามความดัน ดังภาพที่ 2-12 เส้นกราฟ A ขณะที่ความดันภายในแรงดันสูงขึ้นจะส่งผ่านเคลื่อนบนวัสดุรองรับไม่เลกอกของแก๊สมีค่าลดลง อะตอมสารเคลื่อนที่หลุดออกจากปีจะส่งผ่านเคลื่อนบนวัสดุรองรับได้ยากจากการชนกับไม่เลกอกของแก๊สและสะท้อนกลับสู่เป้าสารเคลื่อนหรือสูญเสียสู่ผนังภาชนะ สูญเสียการดำเนินการให้ค่าของเยล็ดจากการสปัตเตอร์มีค่าลดลง แต่มีความดันสูงขึ้น ดังภาพที่ 2-12 เส้นกราฟ B ผลรวมระหว่างเยล็ดและกระแสไฟฟ้าจะทำให้อัตราการเคลื่อนมีค่าสูงสุดที่ความดันค่าหนึ่งทั้งนี้พนว่าการสปัตเตอร์นิกเกิลเมื่อใช้แรงดันไฟฟ้า 3,000 V ระหว่างขั้วอิเล็กโทรดที่ห่างกัน 4.5 cm ในแก๊สสารก่อน การเคลื่อนจะหยุดที่ความดันมีค่าต่ำกว่า 2.6×10^{-4} mbar และที่ความดันสูงกว่า 1.6×10^{-5} mbar โดยอัตราเคลื่อนจะมีค่าสูงสุดและลดลงเมื่อความดันสูงเกินค่าหนึ่ง ดังนั้น บริเวณที่เหมาะสมกับกระบวนการสปัตเตอริงคือบริเวณที่ให้อัตราเคลื่อนสูงและประสิทธิภาพดีที่สุด จากภาพที่ 2-10 พนว่าความดันที่เหมาะสมสำหรับการเคลื่อนคือ 1.0×10^{-5} mbar ความหนาแน่นกระแสประมาณ 1.0 mA/cm^2 ด้วยอัตราเคลื่อน $0.036 \mu\text{m/min}$ ซึ่งเป็นอัตราเคลื่อนที่ค่อนข้างต่ำในขณะที่ใช้แรงดันไฟฟ้าค่อนข้างสูง (พิเชยฐ์ ลิมสุวรรณ และธนัสสถา รัตนะ, 2547)

ระบบเคลื่อนแบบ ดีซี แมกนีตرون สปัตเตอริง

อัตราการเกิดสปัตเตอริงนั้นจะขึ้นกับผลคูณระหว่างมีล็อกและปริมาณไออกอนที่วิ่งชนเปล่าสารเคลื่อน ดังนั้นการเพิ่มอัตราการสปัตเตอร์นั้นนอกจากจะทำได้โดยการเพิ่มมีล็อกแล้วยังทำได้โดยการเพิ่มปริมาณไออกอนที่วิ่งเข้าชนเปล่าสารเคลื่อน ซึ่งในระบบ ดีซี สปัตเตอริง ปกตินั้น ทำได้เพียงการเพิ่มแรงดันไฟฟาระหว่างอิเล็กโทรด หรือเพิ่มความดัน ซึ่งจะมีจุดจำกัดสูงสุดที่ ความหนาแน่นกระแสประมาณ 1 mA/cm^2 และความดันประมาณ $1.33 \times 10^{-5} \text{ mbar}$ นอกจากนี้ยังพบว่าในระบบ ดีซี สปัตเตอริง ทั่วไปอัตราต้มของแก๊สที่จะเกิดการไออกอนซึ่งมีค่าน้อยกว่า 1% นอกจากนี้ยังมีข้อเสียเมื่อความดันสูงขึ้นจะทำให้ปริมาณแก๊สที่แทรกตัวในฟลัมบงที่ได้มีค่าสูงด้วย (พิเชยฐ์ ลิ้มสุวรรณ และธนัสสา รัตนะ, 2547)

ต่อมาเมื่อการพัฒนาระบบที่ใหม่เรียกว่า ระบบดีซี แมกนีตرون สปัตเตอริง (พิเชยฐ์ ลิ้มสุวรรณ และธนัสสา รัตนะ, 2547; Bunshan, 1994; Smith, 1995) ซึ่งเป็นการใช้สนามแม่เหล็กช่วย โดยจ่ายสนามแม่เหล็กให้มีทิศนานกับผิวน้ำเปล่าสารเคลื่อนและมีทิศตั้งฉากกับสนามไฟฟ้าซึ่งจะช่วยเพิ่มระยะทางเดินของอิเล็กตรอนให้ยาวขึ้น โดยอันนั้นของสนามแม่เหล็กจะทำให้อิเล็กตรอนเคลื่อนที่เป็นทางโค้ง (ภาพที่ 2-13) ทำให้การไออกอนเนื่องจากการชนระหว่างอิเล็กตรอนกับอัตราต้มแก๊สเสื่อมมีค่าสูงขึ้นซึ่งจะทำให้อัตราการสปัตเตอร์สูงขึ้นด้วย



ภาพที่ 2-13 การเคลื่อนที่ของอนุภาคอิเล็กตรอนในสนามแม่เหล็ก (Rickerby & Matthews, 1991)

ทั้งนี้จากการศึกษาการเคลื่อนที่ของอิเล็กตรอนในสนามแม่เหล็ก พบร่ว่าถ้าอิเล็กตรอนมีทิศทางการเคลื่อนที่ตั้งฉากกับสนามแม่เหล็ก อิทธิพลของสนามแม่เหล็กจะทำให้ออนุภาคประจุบวกเคลื่อนที่ในแนววงกลม (ภาพที่ 2-14 (a)) ด้วยรัศมี

$$r = \frac{3.37(W)^{\frac{1}{2}}}{B} \quad (2)$$

เมื่อ

 W คือพลังงานของอิเล็กตรอนในหน่วย eV B คือความเข้มสนามแม่เหล็กในหน่วย gauss ทั้งนี้ด้วยความถี่ใช้周波สูง

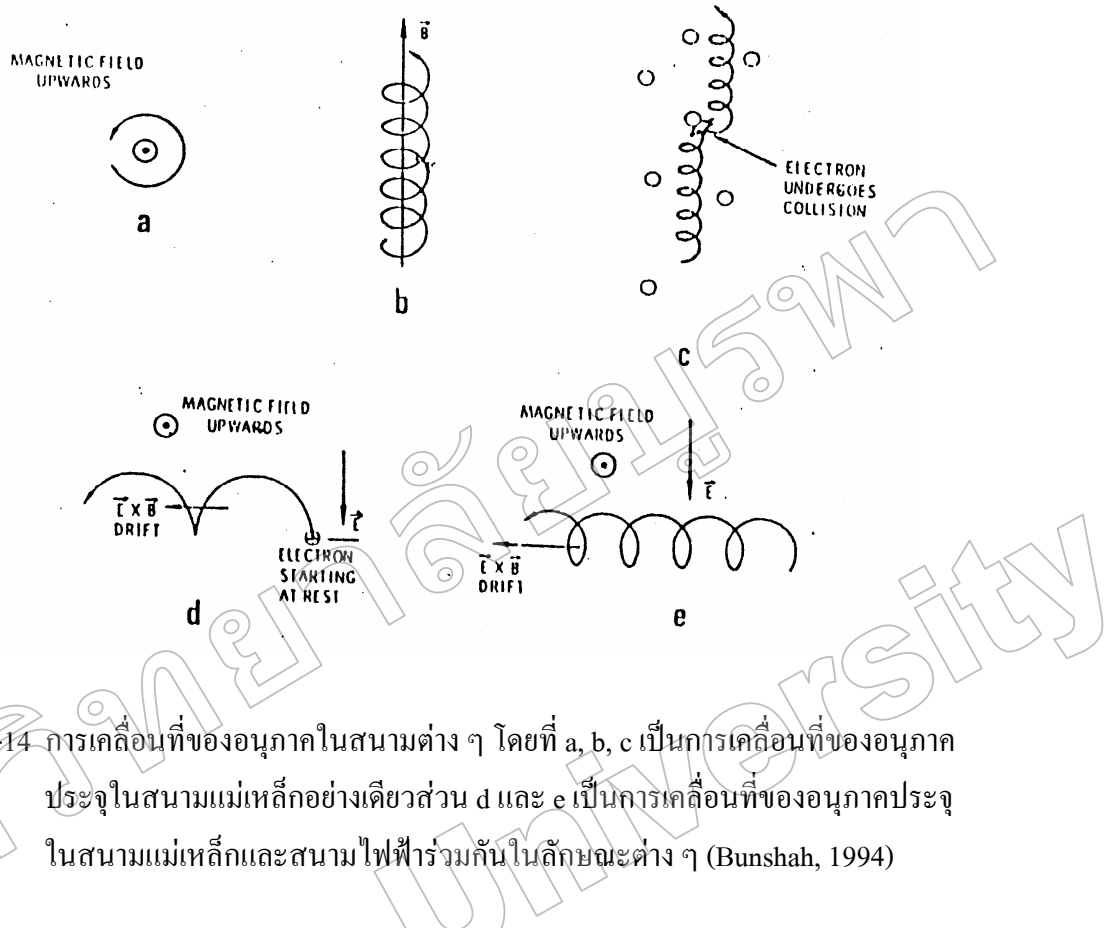
$$\nu = 2.8 \times 10^6 \text{ Hz}$$

ถ้าพลังงานเฉลี่ยของอิเล็กตรอนในแนวตั้งจากกับสนามแม่เหล็กมีค่า 10 eV และสนามแม่เหล็กมีความเข้ม 100 gauss รัศมีการหมุนจะเท่ากับ 0.1 cm ด้วยความถี่การหมุนเท่ากับ $2.8 \times 10^8 \text{ Hz}$ ภาพที่ 2-14 (b) แสดงอิเล็กตรอนมีความเร็วส่วนหนึ่งในแนววนวนกับสนามแม่เหล็ก อิเล็กตรอนจะเคลื่อนที่หมุน围绕แนวสนามแม่เหล็กด้วยจำนวนเต็มแรงคงที่ค่าหนึ่งระหว่างนี้ ถ้าอิเล็กตรอนชนกับอะตอมแก๊ส ภาพที่ 2-14 (c) แนวการหมุนของร่องสนามแม่เหล็กจะเปลี่ยนไป ถ้าอิเล็กตรอนเคลื่อนที่ภายในสนามแม่เหล็กและสนามไฟฟ้าซึ่งมีทิศทางตั้งฉากกัน จำนวนของสนามทั้งสองนอกจากจะทำให้อิเล็กตรอนเคลื่อนที่ในแนวโถงแล้วยังสามารถทำให้เกิดการเคลื่อนที่ในแนวตั้งจากกับสนามแม่เหล็กและสนามไฟฟ้าเรียกว่าการเคลื่อนที่แบบลอยเลื่อน (Drift motion) มีค่าเท่ากับ

$$V_E = \frac{10^8 E}{B} \quad (3)$$

เมื่อ

 E คือสนามไฟฟ้าหน่วยเป็น V/cm B คือความเข้มสนามแม่เหล็กในหน่วย Gauss

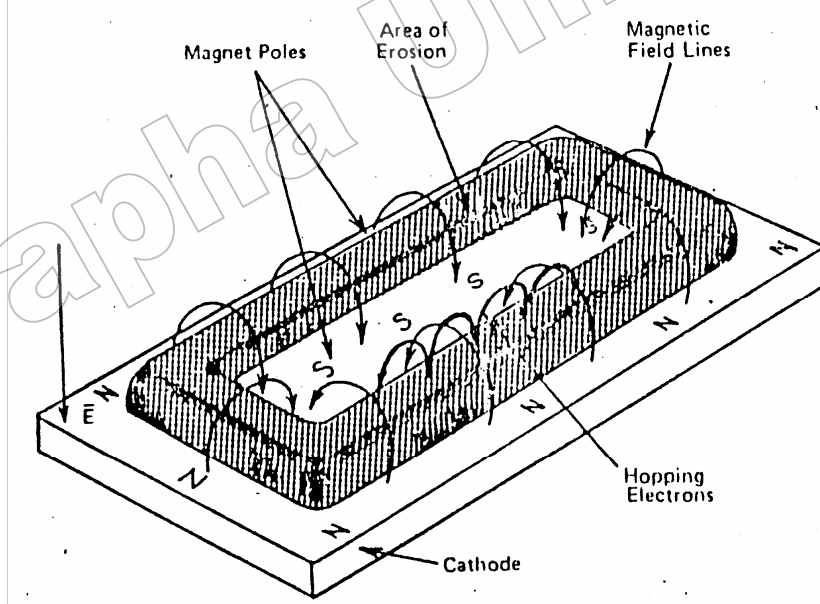


ภาพที่ 2-14 การเคลื่อนที่ของอนุภาคในสนามต่าง ๆ โดยที่ a, b, c เป็นการเคลื่อนที่ของอนุภาคประจุในสนามแม่เหล็กอย่างเดียวส่วน d และ e เป็นการเคลื่อนที่ของอนุภาคประจุในสนามแม่เหล็กและสนามไฟฟ้าร่วมกันในลักษณะต่าง ๆ (Bunshah, 1994)

กรณีสนามไฟฟ้าบริเวณดาวเคราะห์ค่าประมาณ 1,000 V/cm และสนามแม่เหล็กมีค่าประมาณ 1,000 Gauss จะให้ค่าความเร็วอย่างเดือน (Drift Velocity) เท่ากับ 107 m/s ซึ่งเป็นค่าที่ค่อนข้างสูงกรณีพลังงานเริ่มต้นของอิเล็กตรอนมีค่าน้อยเมื่อเทียบกับพลังงานที่ได้รับจากสนามไฟฟ้า การเคลื่อนที่ของอิเล็กตรอนจะเป็นรูป Cycloid ดังภาพที่ 2-14 (d) ถ้าอิเล็กตรอนมีพลังงานเริ่มต้นสูงกว่าพลังงานที่ได้รับจากสนามไฟฟ้า การเคลื่อนที่แบบลอยเลือน จะอยู่ในแนววงกลมซ้อนกันดังแสดงในภาพที่ 2-14 (e) พฤติกรรมที่ปรากฏต่ออิเล็กตรอนนี้จะเด่นชัดมากถึงแม้จะใช้สนามแม่เหล็กมีค่าน้อย ๆ ระหว่าง 50 - 500 Gauss แต่จะมีผลในการเบี่ยงเบนแนวทางเดินของไอออน (ซึ่งมีมวลสูงกว่าอิเล็กตรอนมาก) อย่างไม่เด่นชัด

ระบบสปีตเตอริงที่ใช้สนามแม่เหล็กช่วยเพิ่มปริมาณไอออนนั้น ถ้าสนามแม่เหล็กมีทิศทางขนานกับสนามไฟฟ้าจะเรียกว่า สนามตามยาว (Longitudinal Field) จะทำให้ประสิทธิภาพการเพิ่มไอออนไม่สูงนักแต่ไม่ทำให้แนวการเกิดโกลว์ดิสchar์จเปลี่ยนแปลงไปและยังสามารถรักษาความสม่ำเสมอของฟิล์มนาง ไว้ได้ดี กรณีของสนามแม่เหล็กตั้งฉากกับสนามไฟฟ้าเรียกว่า สนามตามขวาง (Transverse Field) โดยกระบวนการเพิ่มปริมาณไอออนเกิดขึ้นดังนี้ หลังจากที่

ไออ่อนบวกชักกับเป้าสารเคลือบและเกิดการปลดปล่อยอิเล็กตรอนชุดที่สองออกมาน อิเล็กตรอนชุดที่สองจะเคลื่อนที่ในลักษณะเดียวกับภาพที่ 2-14 (d) ทำให้อิเล็กตรอนถูกกักอยู่ในบริเวณสนามแม่เหล็กไกล์ค้าโทด และเคลื่อนที่แบบลอดเลื่อน ตามแนวพิวหน้าของค่าโทด (ภาพที่ 2-15) ทำให้อิเล็กตรอนมีโอกาสชนกับโนเมเลกุลแก๊สบริเวณพิวหน้าเป้าสารเคลือบมากขึ้นจนเพิ่มปริมาณไออ่อนสูงมากไกล์พิวเป้าสารเคลือบ อิเล็กตรอนตัวใดที่ไม่ชนโนเมเลกุลของแก๊สจะเดินทางเป็นวงໄก็งเข้าชนเป้าสารเคลือบและผลิตอิเล็กตรอนชุดที่สองมากขึ้นเป็นผลทำให้ไออ่อนถูกผลิตในปริมาณสูงมากและเกิดไกล์พิวค่าโทด ทำให้เกิดสภาพชาร์จจากไออ่อนบวกสูงที่พิวค่าโทดซึ่งอาจสั่นกว่าระยะปลดการชน ใน ดีซี สปัตเตอริงที่ความดันใช้งานมาก แรงเคลื่อนไฟฟ้าเกือบทั้งหมดจะตกคร่อมบริเวณนี้และมีสนามไฟฟ้าสูงกว่าบริเวณดรัคสปัตใน ดีซี สปัตเตอริงขณะไม่มีสนามแม่เหล็กมากทำให้ความต้องการแรงดันไฟฟาระหว่างข้ออิเล็กโทรดของระบบแมgnีตอronสปัตเตอริงลดลงทั่วไปมีค่าประมาณ 300 - 800 V ถ้าใช้สนามแม่เหล็กกับแมgnีตอronทั้งระบบจะเรียกว่าแมgnีตอronสปัตเตอริง(Cylindrical Magetron Sputtering) และถ้าใช้สนามแม่เหล็กกับระบบดีซี สปัตเตอริงที่ใช้เป้าแบบแผ่นรวมจะเรียกว่า พลานาร์แมgnีตอronสปัตเตอริง(Planar Magnetron Sputtering)



ภาพที่ 2-15 การจัดสนามแม่เหล็กและแนวการกัดกร่อนของเป้าสารเคลือบในระบบพลานาร์แมgnีตอron สปัตเตอริง (Chapman, 1980)

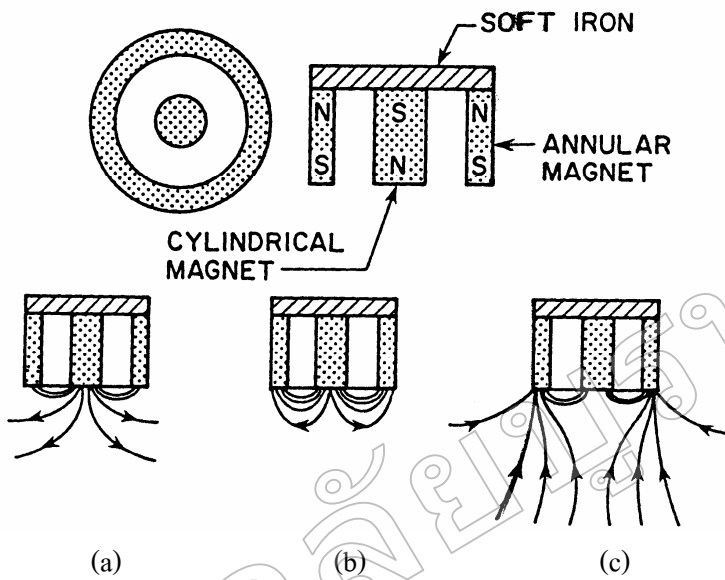
ประสิทธิภาพการเพิ่มไอออนที่สูงมากในระบบแมgnีตรอนและพลาสม่าที่เกิดขึ้นจะเข้มมากบริเวณเป้าสารเคลือบทำให้อัตราการสปัตเตอร์ของระบบนี้มีค่าสูง ขณะที่ความดันในระบบจะมีค่าต่ำแรงดันไฟฟ้าระหว่างอิเล็กโตรดมีค่าเกือบคงที่ที่ทุกค่าของอัตราการสปัตเตอร์ แมgnีตรอน สปัตเตอริง ทรงกระบอกหัวไว้มีอัตราการสปัตเตอร์สูงกว่า $1.0 \mu\text{m}/\text{min}$ และมีอัตราเคลือบสูงกว่า $0.2 \mu\text{m}/\text{min}$ ความหนาแน่นกระแสที่ผิวคาด ประมาณ $20.0 \text{ mA}/\text{cm}^2$ แรงดันไฟฟ้าระหว่างอิเล็กโตรดมีค่าระหว่าง $300 - 800 \text{ V}$ ที่ความดันประมาณ $5.33 \times 10^{-5} \text{ mbar}$ ประสิทธิภาพการเคลือบสูงขึ้นกว่า 10 เท่าตัว นอกจากนี้ยังสามารถขยายน้ำยาสเกลให้กับระบบสปัตเตอริงขนาดใหญ่ได้ง่าย เมื่อออกแบบใช้งานร่วมกับไตรโอดสปัตเตอริง ระบบสามารถเคลือบได้ที่ความดันต่ำถึง 10^{-5} mbar

ระบบเคลือบแบบ อันบาลานซ์ แมgnีตรอน สปัตเตอริง

ในการเคลือบฟิล์มพบร้ากระดุมยิงไอออนระหว่างการเกิดฟิล์มจะเป็นการเปลี่ยนแปลงฟิล์มหลายอย่าง เช่น พฤติกรรมการเกิดนิวเคลียส (Nucleation Behaviour) สัณฐานวิทยา (Morphology) องค์ประกอบ (Composition) ทิศทางการจัดเรียงตัว และสมบัติเชิงกล เป็นต้น ในกรณีแมgnีตรอน สปัตเตอริง ไอออนที่ใช้ในการระดุมยิงวัสดุรองรับจะมาจากประจุไฟฟ้าที่อยู่รอบวัสดุรองรับ ซึ่งทำได้โดยการจ่ายศักย์ดูบประมาณ $1 - 500 \text{ V}$ ให้กับวัสดุรองรับอย่างไรก็ได้ ความหนาแน่นกระแสที่ฟิล์มหรือผิวน้ำของวัสดุรองรับ สำหรับระบบดีซี แมgnีตรอน ปกติจะมีค่าต่ำประมาณ $0.05 - 0.10 \text{ ไอออน}/\text{อะตอมสารเคลือบ}$ แต่การใช้งานจริงต้องมีค่าสูงกว่านี้ (Rohde & Munz, 1991)

สำหรับการเคลือบแข็ง (Hard coating) ฟิล์มบางที่ต้องการนั้นจะต้องมีช่องว่าง (Voids) ในเนื้อฟิล์มน้อยที่สุด ซึ่งจะทำให้ฟิล์มบางที่ได้นั้นมีความทนต่อการกัดกร่อน (Corrosion) และทนต่อการบัดสี (Wear Resistance) มากยิ่งขึ้น โดยการลดช่องว่างในเนื้อฟิล์มนี้สามารถทำได้โดยการเพิ่มความต่างศักย์ไฟแอลส์ให้กับวัสดุรองรับ แต่ก็จะทำให้เกิดความคืนและความบกพร่อง (Defects) ภายในเกรน (Grain) ของฟิล์มมากขึ้นเมื่อความต่างศักย์ไฟแอลส์เพิ่มขึ้นด้วย ซึ่งจะทำให้คุณภาพของฟิล์มและการยึดติดของฟิล์มกับวัสดุรองรับลดลง ปัญหานี้สามารถแก้ได้โดยการเพิ่มความหนาแน่นของกระแสไอออน (อัตราส่วนของไอออน/ อะตอมสารเคลือบ) ซึ่งสามารถทำได้โดยใช้ระบบเคลือบแบบอันบาลานซ์ แมgnีตรอน สปัตเตอริง (Unbalanced Magnetron Sputtering)

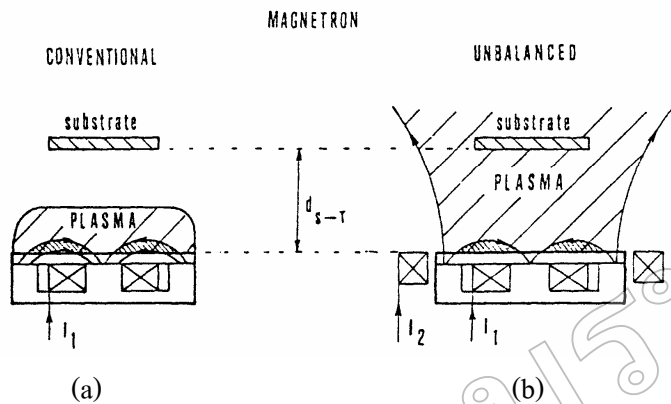
(Rohde & Munz, 1991; Sproul, 1992)



ภาพที่ 2-16 ลักษณะเส้นแรงแม่เหล็กของระบบอันบานานซ์ เมกนีตอรอน สปัตเตอริง
(Rickerby & Matthews, 1991)

ระบบอันบานานซ์ เมกนีตอรอน สปัตเตอริง ได้รับการคิดค้นและตีพิมพ์เผยแพร่โดย Window และ Savvides ครั้งแรกในปี ค.ศ.1986 โดยทั้งสองพบว่าการติดตั้งแม่เหล็กที่ค่าโถดของระบบสปัตเตอริงปกตินั้น ถ้าหากทำให้ความเข้มของสนามแม่เหล็กด้านใดด้านหนึ่งมากหรือน้อยกว่าอีกด้านหนึ่งแล้วสนามแม่เหล็กที่ค่าโถดจะมีลักษณะไม่สมมาตร ทำให้ปริมาณไอออนที่วิ่งเข้าชนหรือระดมยิงวัสดุรองรับนั้นมีปริมาณเพิ่มขึ้นมากกว่าปกติ ซึ่งจะมีผลต่อคุณภาพของฟิล์ม โดยตรงการจัดแม่เหล็กของระบบนี้อาจแบ่งเป็น 3 แบบ คือความเข้มสนามของแม่เหล็กที่ด้านในมากกว่าด้านนอก (ภาพที่ 2-16 (a)) หรือกลับกัน (ภาพที่ 2-16 (c)) หรือใกล้เคียงกัน (ภาพที่ 2-16 (b)) ถ้าจัดแม่เหล็กตามภาพที่ 2-16 (a) ไอออนที่ระดมยิงวัสดุรองรับจะมีค่าต่ำ (อัตราส่วนไอออน/ อะตอมสารเคลือบประมาณ 0.25: 1) ส่วนการจัดแม่เหล็กตามภาพที่ 2-16 (c) ไอออนที่ระดมยิงวัสดุรองรับจะมีค่าเพิ่มมากขึ้นทำให้อัตราส่วนไอออน/ อะตอมสารเคลือบมีค่าสูงขึ้น คือประมาณ 2: 1 (เมื่อใช้ความต่างศักย์ไฟฟ้าเดียวกัน) ปัจจุบันมีนักวิจัยหลายกลุ่มที่นำแนวคิดนี้ไปประยุกต์ใช้อย่างแพร่หลาย ซึ่งมีทั้งที่ใช้แม่เหล็กแบบจาระและแม่เหล็กไฟฟ้า จากการศึกษาของ Musil และ Kadlec ที่ระบบเคลือบใช้อันบานานซ์พลาzar์เมกนีตอรอนเดี่ยวและขดลวดแม่เหล็กไฟฟ้า 2 ชด เคลือบไฟฟ้าเนียนในไตรค์ที่ระบบเป็นสารเคลือบและวัสดุรองรับประมาณ 200.0 mm โดยใช้ความต่างศักย์ไฟฟ้าในช่วง -5 ถึง -100 V พบร่วงสามารถทำให้ได้ความหนาแน่นกระแสสูงถึง 6.0 mA/cm^2 ซึ่งสูงมากพอสำหรับใช้ในงานอุตสาหกรรม (Munz, 1991)

หากพิจารณาเปรียบเทียบระบบสปัตเตอริงทั้ง 3 ระบบจะพบว่าในกรณีระบบสปัตเตอริงปกตินั้นอิเล็กตรอนที่เกิดจากการไอออกไนซ์จะวิ่งไปจับที่อโนดโดยไม่เกี่ยวข้องกับกระบวนการสปัตเตอร์เลย ดังนั้นเพื่อให้ระบบสปัตเตอริงมีประสิทธิภาพมากขึ้นจึงมีแนวคิดที่จะนำอิเล็กตรอนเหล่านี้เข้ามาช่วยในกระบวนการสปัตเตอร์ซึ่งทำได้โดยการใช้สนามแม่เหล็กช่วยจึงเกิดระบบแมกนีตรอน สปัตเตอริง ซึ่งเป็นที่ใช้สนามแม่เหล็กช่วยทำให้เกิดอิเล็กตรอนบริเวณหน้าค่าโตกเพิ่มขึ้นเนื่องจากอิเล็กตรอนเหล่านี้จะมีส่วนช่วยทำให้กระบวนการสปัตเตอริงคงอยู่อย่างต่อเนื่องจากจำนวนของสนามแม่เหล็กจะทำให้อิเล็กตรอนเคลื่อนที่เป็นทางโค้งทำให้เกิดการไอออกไนซ์อะตอมแก๊สเฉื่อยสูงขึ้น นอกจากนี้สนามแม่เหล็กและสนามไฟฟ้าซึ่งทำให้การเคลื่อนที่ของอิเล็กตรอนที่วิ่งเข้าชนเป้าสารเคลือบมีลักษณะเป็นการชนแบบซ้ำๆ ต่อเนื่องกันทำให้เกิดอิเล็กตรอนชุดที่สองออกมากขึ้นซึ่งทำให้เกิดการสปัตเตอร์มากตามไปด้วย แต่ก็ยังมีอิเล็กตรอนบางส่วนที่มีพลังงานสูงซึ่งสามารถหลุดออกจากจำานวนของสนามแม่เหล็กนี้ได้ซึ่งจะวิ่งเข้าหาข้อโนดโดยทันที สำหรับในระบบอันบาลานซ์ แมกนีตรอน สปัตเตอริงนั้น อิเล็กตรอนพัฒนาจนถึงหจุดออกจากการชนสนามแม่เหล็กจะถูกยึดไว้ด้วยเส้นแรงแม่เหล็กส่วนใหญ่ของระบบแล้วเคลื่อนที่เป็นทางโค้งไปตามเส้นแรงแม่เหล็กเข้าชนกับอะตอมของแก๊สเฉื่อยและการไอออกไนซ์เป็นพลาสม่าชุดที่สองบริเวณพิวหน้าของวัสดุรองรับทำให้ความหนาแน่นกระแสที่วัสดุรองรับมีค่าสูงมากกว่าในระบบแมกนีตรอน สปัตเตอริง ปกติมาก (ประมาณ $5.0 - 10.0 \text{ mA/cm}^2$ ปกติมีค่าอยู่ที่ 1.0 mA/cm^2) โดยพลาสม่าที่เกิดขึ้นนี้จะมีส่วนช่วยในการเคลือบฟิล์มที่เรียกว่า Ion-Assisted Deposition ซึ่งจะให้พลัมบาร์ที่ได้นั้นมีความหนาแน่นสูงและมีการยึดติดดีมาก (Munz, 1991)

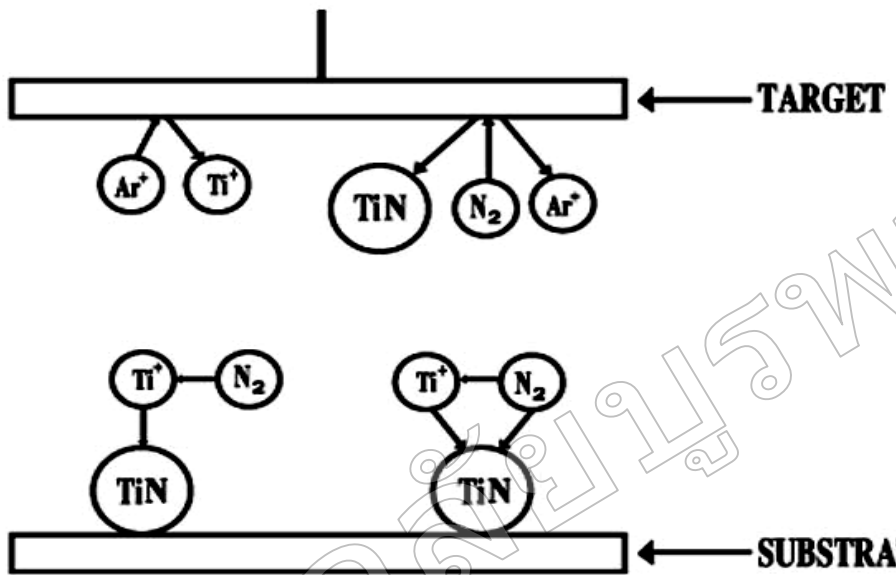


ภาพที่ 2-17 ลักษณะพลาสมาระบบสปัคเตอริง (Munz, 1991)

- (a) ระบบบาลานซ์แมกนีตرون สปัคเตอริง
- (b) ระบบอันบาลานซ์แมกนีตرون สปัคเตอริง

การเคลือบฟิล์มบางด้วยวิธี รีแอคตีฟ สปัคเตอริง

สำหรับกระบวนการรีแอคตีฟ สปัคเตอริง (Reactive Sputtering) นติ ห่อประทุม (2548) ได้อธิบายไว้ว่า เป็นกระบวนการสปัคเตอริงที่มีการป้อนแก๊สไวปูลิกิริยา (Reactive Gas) เข้าสู่ระบบ เพื่อให้เกิดสารประกอบของฟิล์มตกเคลือบนชิ้นงานหรือวัสดุรองรับ การสปัคเตอร์ที่มีเป้าสารเคลือบเป็นโลหะบริสุทธิ์ โดยการป้อนแก๊สไวปูลิกิริยา จะทำให้เกิดสารประกอบต่าง ๆ ของโลหะ ได้ เช่น การป้อนแก๊สไนโตรเจนอาจทำให้เกิดโลหะในไตร์ ถ้าป้อนแก๊สอะเซทิลีน (C_2H_2) หรือ มีเทน (CH_4) อาจเกิดเป็นสารประกอบของโลหะcarburide เป็นต้น โดยปกติความดันแก๊สไวปูลิกิริยาที่ใช้ค่อนข้างต่ำจังไม่เพียงพอต่อการเกิดปฏิกิริยาในสภาวะปกติ อย่างไรก็ตามคาดกันว่า อิเล็กตรอนในพลาasmaที่มีส่วนในการกระตุ้นหรือไอօอีโซอีไซด์แก๊สไวปูลิกิริยาให้มีความสามารถในการทำปฏิกิริยากับโลหะ ได้สูงกว่าสภาวะปกติ โดยแก๊สไวปูลิกิริยา เช่น แก๊สไนโตรเจน (N_2) อาจรวมตัวกันกับโลหะ เช่น ไททาเนียม (Ti) และเกิดเป็นสารประกอบไททาเนียมในไตรด (TiN) ตามภาพที่ 2-18 ได้เป็น 3 ลักษณะ ดังนี้



ภาพที่ 2-18 การเกิดปฏิกิริยารวมตัวกันเป็นสารประกอบระหว่างแก๊สไวปฎิกิริยาดับเบิลอะตอม เป้าสารเคลือบในบริเวณต่าง ๆ (มติ ห่อประทุม, 2548)

1. แก๊สไวปฎิกิริยาเข่นแก๊สในโตรเจนทำปฏิกิริยาดับเบิลอะตอม ให้ทางเนียมที่ผิวน้ำเปล่า ของสารเคลือบกล้ายเป็นสารประกอบ ให้ทางเนียมในไตรด์แล้วถูกสปิตเตอร์ให้หลุดออกแล้ว ตกเคลือบลงบนแผ่นวัสดุรองรับ ปฏิกิริยาส่วนนี้เกิดขึ้นสูงเมื่อความดันย่ำของแก๊สไวปฎิกิริยา ในระบบมีค่าสูง พนว่า ในการเคลือบ ทางเนียมในไตรด์บนฟิล์มเคลือบที่เป้าสารเคลือบ ส่วนที่มี อัตราการสปิตเตอร์ต่ำจะปรากฏฟิล์มของสีทอง ทางเนียมบริเวณนั้น ปรากฏการณ์นี้เรียกว่า Target Poisoning มีผลทำให้อัตราการเคลือบลดลง
2. แก๊สไวปฎิกิริยาเข่นแก๊สในโตรเจนรวมตัวกับอะตอม ทางเนียมที่ถูกสปิตเตอร์ ในระหว่างทางวิ่งสู่แผ่นวัสดุรองรับแล้ว ตกเคลือบบนแผ่นวัสดุรองรับ กระบวนการนี้ในทางทฤษฎี ถือว่าเกิดได้น้อยมากเนื่องจากสภาวะของการทำปฏิกิริยาไม่เหมาะสมตามกฎอนุรักษ์พลังงานและ ไม่ เมนตัม แต่เป็นไปได้ที่การรวมตัวของสารประกอบจะเกิดในช่วงนี้

3. แก๊สไวนิลคลิริกใช้ในโตรเจนรวมตัวกับไททาเนียมบนผิวสัมผัสรองรับหรือชึ้นงาน การทำรีแอคตีฟ สปัตเตอริง โดยทั่วไปความดันแก๊สไวนิลคลิริกที่เหมาะสมต่อการเกิดสารประกอบที่ต้องการมีค่าต่ำกว่าช่วงที่เกิดขบวนการ ไกล์วิดิษาร์จ ในกระบวนการจึงใช้แก๊สไวนิลคลิริกกับแก๊สเนื้อย่างทำให้รักษาสภาพภาวะไกล์วิดิษาร์จไว้ได้ ในเวลาเดียวกันช่วยให้อัตราเคลื่อนสูงขึ้น ในกระบวนการทำรีแอคตีฟ สปัตเตอริง ยังมีสิ่งที่ต้องคำนึงถึงคือความดันย่อยของแก๊สไวนิลคลิริก ต้องมีค่าพอดีกับการเกิดฟิล์มสารประกอบที่ต้องการ เช่น การเคลื่อนสารประกอบ Ferroferric Oxide (Fe_3O_4) ความดันแก๊สออกซิเจนที่ใช้ในรีแอคตีฟ สปัตเตอริง ถูกจำกัดในช่วงความดันแคบมาก ถ้าความดันย่อยของแก๊สออกซิเจนมากไปจะเกิดสารประกอบของ Ferric Oxide (Fe_2O_3) ถ้าน้อยเกินไปจะเกิดสารประกอบ Ferrous Oxide (FeO) หรือฟิล์มของเหล็ก (Fe)

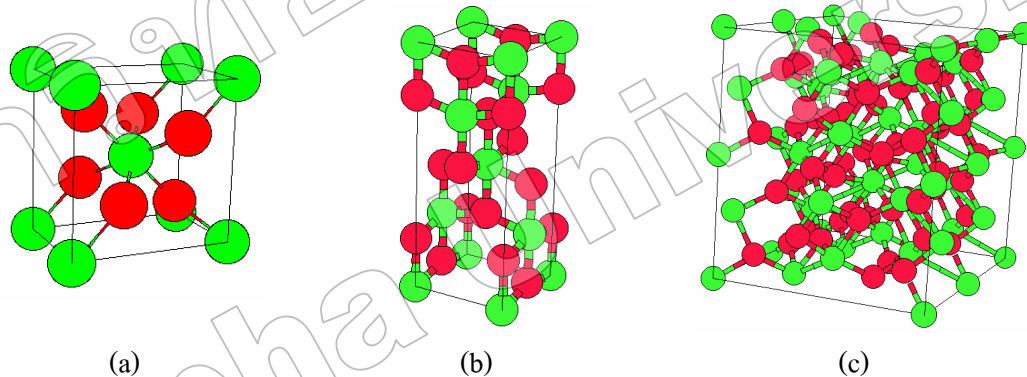
ไททาเนียมไดออกไซด์

โครงสร้างของไททาเนียมไดออกไซด์เกิดจากอะตอมของไททาเนียมจับกับอะตอมของออกซิเจน ซึ่งการจับกันมีอยู่ด้วยกันหลายลักษณะ เพราะไททาเนียมมีประจุเป็น Ti^0 , Ti^{2+} , Ti^{3+} และ Ti^{4+} ส่วนออกซิเจนมีประจุเป็น O_2^- ทำให้มีโอกาสรวมกันเป็น TiO ที่มีโครงสร้างเป็นเฟสเซ็นเตอร์คิวบิก (Face Center Cubic, fcc) (TiO_x ($0.9 \leq x \leq 1.5$)) ซึ่งเป็นฟิล์มที่มีความแข็งมาก Ti_2O_3 มีโครงสร้างเป็นไตรigonอล (Trigonal) และ TiO_2 มีโครงสร้างเป็นเตต拉gonอล (Tetragonal) ซึ่งเป็นฟิล์มที่มีค่าชนีหักเหสูง เป็นต้น โครงสร้างเหล่านี้มีการจับตัวกันด้วยพันธะผสมของไอออนิก (Ionic) โคเวเลนต์ (Covalent) และพันธะโลหะ (Metallic) ฟิล์มเหล่านี้มีลักษณะที่โปร่งแสง และจากการศึกษาลึกของฟิล์มจะเปลี่ยนตามโครงสร้าง นั่นคือเปลี่ยนตามปริมาณออกซิเจนที่ให้โดยค่า x เป็น TiO_{1+x} ($0 \leq x \leq 0.25$) ไปเป็นน้ำตาล (Brown) ไปเป็นสีน้ำเงินเข้ม (Dark Blue) และไปเป็นโปร่งใสไม่มีสี (Transparent) คือ TiO_{1+x} ($0.95 \leq x \leq 1$) (Bally, 1998)

Jin et al. (2003) อธิบายว่าไททาเนียมไดออกไซด์เป็นสารประกอบออกไซด์ชนิดหนึ่งที่ได้รับความสนใจจากกลุ่มวิจัยทั่วโลกในการศึกษาวิจัยและพัฒนา เนื่องจากเป็นสารประกอบออกไซด์ที่มีสมบัติที่น่าสนใจหลากหลายประการ โดยเฉพาะอย่างยิ่งสมบัติทางแสง เช่น สมบัติการส่องผ่านแสง มีค่าดัชนีหักเหสูง มีเสถียรภาพทางเคมี จากสมบัติต่าง ๆ ที่โดดเด่นนี้ทำให้มีการนำไททาเนียมไดออกไซด์ไปประยุกต์ใช้อย่างกว้างขวางทั้งในงานด้านทัศนศาสตร์และการเคลื่อนเพื่อป้องกันรุนแรงทั้งงานทางด้านเด็นไอกว้าน้ำแสง ตลอดรวมถึงการใช้เคลื่อนกระจากที่มีสมบัติเป็นโพโตคัตติคิคิลิกด้วย ด้วย และ Zeman and Takabayashi (2002) รายงานว่า โดยทั่วไปแล้วไททาเนียมไดออกไซด์จะมีอยู่ 3 เฟส ได้แก่ เฟสรูไทล์ (Rutile) เฟสอโนเทส (Anatase) และ

เฟสบูร์ไกท์ (Brookite) เฟสอ่อนน้ําและเฟสรูไกด์มีโครงสร้างผลึก (Crystal Structure) เป็นแบบเตต拉โกลนอล (Tetragonal) ส่วนเฟสบูร์ไกท์มีโครงสร้างเป็นแบบออร์โทโรมบิก (Orthorhombic) เฟสของฟิล์ม ไททาเนียม ไดออกไซด์ต่างชนิดกันจะมีประโยชน์ในการใช้งานที่แตกต่างกัน เช่น ฟิล์ม ไททาเนียม ไดออกไซด์เฟสอ่อนน้ํา จะมีสมบัติตัวเร่งปฏิกิริยาของแสงที่สมบูรณ์ สามารถนำไปใช้ประโยชน์ในด้านเกี่ยวกับการป้องกันสิ่งแวดล้อม เช่น กระจกที่มีสมบัติไฟฟ้ากระแสต่ำส่วนฟิล์ม ไททาเนียม ไดออกไซด์ในเฟสรูไกด์ จะมีความสามารถในการทำอุปกรณ์ที่ใช้ในร่างกาย เช่น ลิ้นหัวใจเทียม เป็นต้น

การเตรียมฟิล์มบาง ไททาเนียม ไดออกไซด์ ต้องทำการเปลี่ยนค่าตัวแปรหลายค่า แล้วนำฟิล์มบางที่ได้ไปวิเคราะห์ด้วยเครื่อง XRD เพื่อกीกษารูปแบบการเลี้ยวเบนของรังสีเอกซ์ และเปรียบเทียบตำแหน่งของพีกที่เกิดขึ้นกับแฟ้มข้อมูลการเลี้ยวเบนรังสีเอกซ์ของผลึกผง (Joint Committee on Powder Diffraction Standard, JCPDS) ของ ไททาเนียม ไดออกไซด์



ภาพที่ 2-19 เฟสของ ไททาเนียม ไดออกไซด์ (<http://cst-www.nrl.navy.mil/lattice/struk.picts/c4.s.png>)

- (a) เฟสรูไกด์
- (b) เฟสอ่อนน้ํา
- (c) เฟสบูร์ไกท์

ตารางที่ 2-2 ข้อมูลการเลี้ยวเบนรังสีเอกซ์ของผลึกไททาเนียมโดยอัตราเฟส

Pattern: 71-1169		Radiation = 1.540600				
TiO ₂ (Anatas/ Titanium Oxide)		d (Å)	Intensity (%)	h	k	l
Lattice: Tetragonal		3.53718	100	1	0	1
S.G.:P42/ mnm (136)		Mol. Weight = 79.90	2.45087	6	1	0
a = 3.80400		Volume [CD] = 139.12	2.40350	18	0	0
c = 9.61400		Dx = 3.815	2.34733	7	1	1
		Dm = 3.870	1.90200	22	2	0
		I/Icor = 4.80	1.71604	13	1	0
			1.67518	13	2	1
ICSD COLLECTION CODE: 009855		1.50261	2	2	1	3
REMARKS FROM ICSD: REM TEM 1073.		1.49149	9	2	0	4
TEST FROM ICSD: Calc. density usual but tolerable.		1.37659	4	1	1	6
TEMPERATURE FACTOR: ITF		1.34492	4	2	2	0
SAMPLE SOURCE OR LOCALITY: Specimen from Binnatal, Wallis, Switzerland.		1.29181	<1	1	0	7
		1.27411	6	2	1	5
		1.25711	2	3	0	1
		1.20175	<1	0	0	8
		1.17906	<1	3	0	3
		1.17367	3	2	2	4

*Calculated from ICSD using POWD-12++, (1997) primary reference:

*Z. Kristallogr., Kristallgeom., Kristallphys., Kristallchem., volume 136, page 273, (1972)

ตารางที่ 2-3 ข้อมูลการเลือดวabenรังสีเอกซ์ของผลึกไททาเนียมไดออกไซด์เฟส្សุ่ไทยล์

Pattern: 73-1765		Radiation = 1.540600				
TiO ₂ (Rutile/ Titanium Oxide)		d (Å)	Intensity (%)	h	k	l
Lattice: Tetragonal		3.24491	100	1	1	0
S.G.:P42/ mnm (136)		2.48387	46	1	0	1
a = 4.58900		2.29450	6	2	0	0
c = 2.95400		2.18442	17	1	1	1
		2.05226	5	2	1	0
		1.68543	45	2	1	1
		1.62246	14	2	2	0
ICSD COLLECTION CODE: 024277		1.47700	6	0	0	2
TEST FROM ICSD: No R Value given.		1.45117	6	3	1	0
TEST FROM ICSD: At least one TF missing.		1.42208	<1	2	2	1
		1.35835	13	3	0	1
		1.34429	7	1	1	2
		1.30249	1	3	1	1
		1.27276	<1	3	2	0
		1.24194	1	2	0	2
		1.19881	1	2	1	2
		1.16888	3	3	2	1
		1.14725	2	4	0	0
		1.11300	1	4	1	0
		1.09221	4	2	2	2

*Calculated from ICSD using POWD-12++, (1997) primary reference:

*Z. Kristallogr., Kristallgeom., Kristallphys., Kristallchem., volume 104, page 358, (1942)

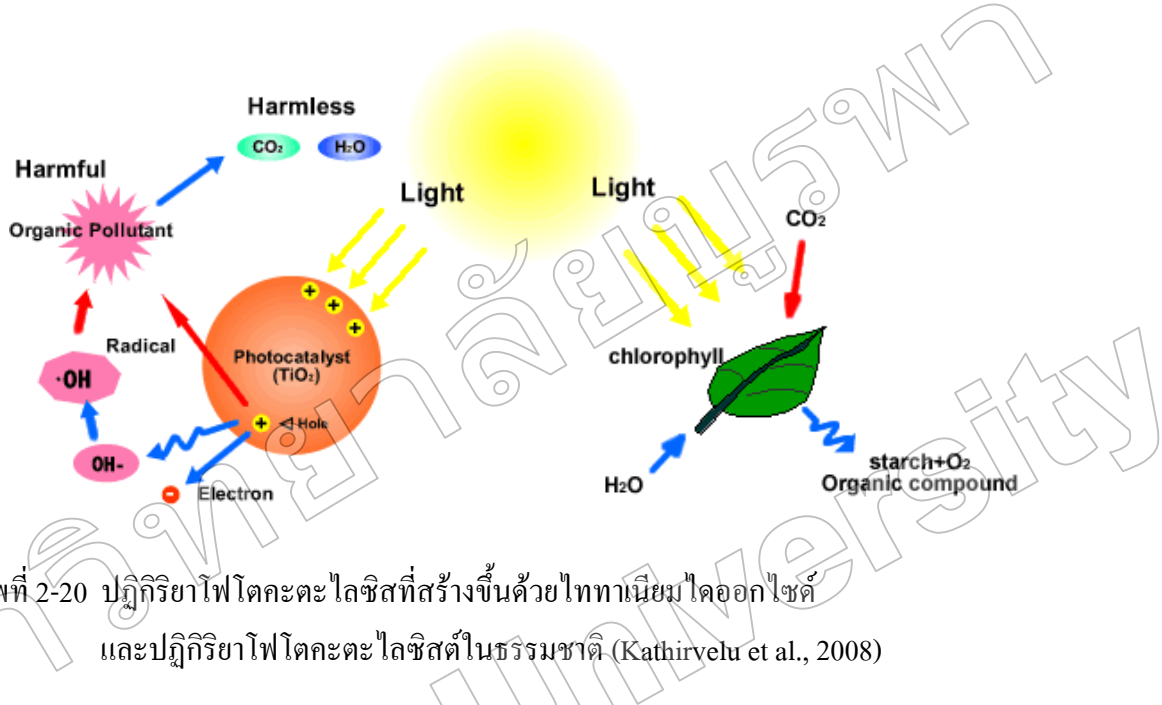
ปฏิกิริยาโฟโตคataไลซิสต์

คำว่า “โฟโตคataไลซิสต์” ประกอบขึ้นจาก คำว่า “โฟโต (Photo)” หมายถึง แสง และ “คataไลซิส (Catalysis) ที่เป็นกระบวนการใช้สารเพื่อคัดแปลงอัตราการเกิดปฏิกิริยาเคมีของสารตั้งต้นโดยใช้สารไม่หมดและสารไม่มีการเปลี่ยนแปลง แม่ปฏิกิริยาสิ่นสุดลง” และเรียกสารนี้เรียกว่า ตัวเร่งปฏิกิริยา (Catalyst) ตัวเร่งปฏิกิริยาจะช่วยเพิ่มอัตราการเกิดปฏิกิริยาโดยไม่ปล่อยพลังงานกระตุ้น โดยทั่วไปเรียกว่า ปฏิกิริยาโฟโตคataไลซิสต์ (Photocatalysis is a reaction) จะใช้แสงเป็นตัวกระตุ้นให้สารเปลี่ยนแปลงอัตราการเกิดปฏิกิริยาเคมีโดยไม่เกี่ยวข้องกับตัวมันเอง ดังนั้น โฟโตคataไลซิสต์คือการเปลี่ยนแปลงอัตราการเกิดปฏิกิริยาเคมีของสารตั้งแต่เริ่มต้นกระบวนการ การงานจะโดยใช้แสงเป็นตัวกระตุ้น

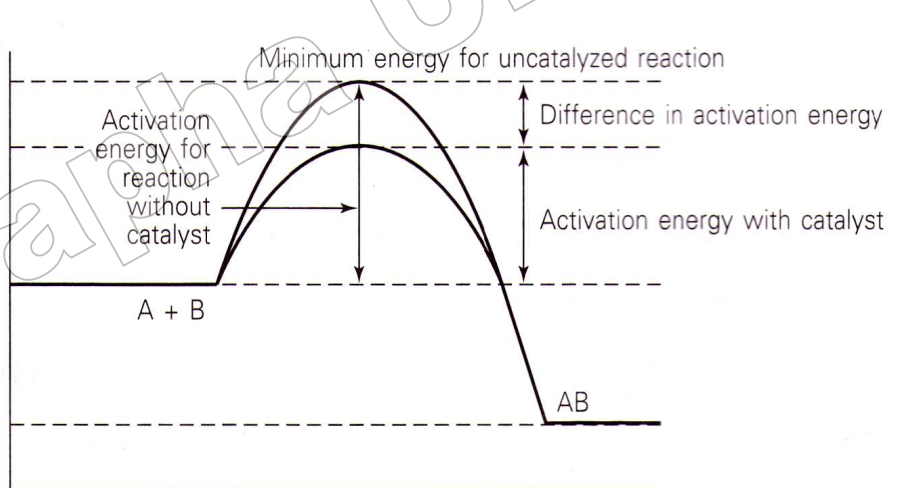
กระบวนการ การโฟโตคataไลซิสต์ สามารถอธิบายได้ด้วยแผนภาพเบริญเก็บปฏิกิริยา โฟโตคataไลซิสต์ที่สร้างขึ้นโดยใช้ไทยานียม ไดออกไซด์ขนาดนาโนและปฏิกิริยาโฟโตคataไลซิสต์ที่เกิดขึ้นเองตามธรรมชาติ เช่น คลอร์ฟล็อก ดังนั้นในภาพที่ 2-20 คลอร์ฟล็อกในพืช เป็นโฟโตคataไลซิสต์ที่เกิดขึ้นในธรรมชาติ ความแตกต่างระหว่าง โฟโตคataไลซิสต์ใน คลอร์ฟล็อกกับ โฟโตคataไลซิสต์ขึ้นจากไทยานียม ไดออกไซด์ คือ คลอร์ฟล็อกใช้แสงอาทิตย์ กระตุ้นเพื่อเปลี่ยนน้ำกับคาร์บอน ไดออกไซด์แล้วให้ออกซิเจนกับกลูโคสออกมา ในทางตรงกันข้าม โฟโตคataไลซิสต์จากไทยานียม ไดออกไซด์ ทำให้เกิดปฏิกิริยาออกซิเดชั่นและเกิด อิเล็กตรอนกับไฮด์รัส ที่สามารถถ่ายสารอินทรีย์แล้วให้คาร์บอน ไดออกไซด์กับน้ำออกมา ซึ่งในกระบวนการสังเคราะห์แสงจะใช้คลอร์ฟล็อกเป็นตัวกระตุ้น แต่ในกระบวนการ โฟโตคataไลติก ที่สร้างขึ้นนี้ ใช้ไทยานียม ไดออกไซด์เป็นตัวเร่งปฏิกิริยา (Kathirvelu, Souza, & Dhurai, 2008) ภาพที่ 2-20

ตัวเร่งปฏิกิริยาที่เป็นสารกึ่งตัวนำมีหลากหลายชนิดและหนึ่งในตัวคataไลซิสต์ที่นิยมนำมาใช้ในกระบวนการ การ โฟโตคataไลซิสต์ คือ ไทยานียม ไดออกไซด์มีสีบรากษาเคนีที่ดีมาก ซึ่ง ไทยานียม ไดออกไซด์ถือว่าเป็นตัวเร่งปฏิกิริยาที่ดีชนิดหนึ่ง (Satoshi et al., 2001) ผลงานตัวเร่งปฏิกิริยาฯ สามารถเร่งอัตราของปฏิกิริยานางอย่าง โดยการเติมสารตัวเร่งปฏิกิริยา (Catalyst) ซึ่งสารนั้นจะต้องไม่มีการเปลี่ยนแปลงแม่ปฏิกิริยาสิ่นสุดลง แต่ต้องสามารถทำให้อัตราเร็วของปฏิกิริยาสูงขึ้น ได้เรียกกระบวนการนี้ว่า คataไลซิสต์ ตัวเร่งปฏิกิริยาจะทำให้ปฏิกิริยาเปลี่ยนแปลงกลไกใหม่ คือ ทำให้พลังงานกระตุ้น (Activated energy, Ea) ลดลงปฏิกิริยาจึงสามารถเกิดขึ้นได้เร็ว จากภาพที่ 2-21 จะเห็นว่าปฏิกิริยาที่ได้ตัวเร่งปฏิกิริยาจะมีพลังงานกระตุ้นต่ำลง ปฏิกิริยาจึงเกิดขึ้นได้เร็วกว่า แต่ยังมีอยู่หลายปฏิกิริยาที่อัตราเร็วของปฏิกิริยาจะขึ้นอยู่กับความเข้มข้นตัวเร่งปฏิกิริยา ซึ่งเราจะทราบปริมาณการเปลี่ยนแปลงนี้ ตามความเข้มข้นของตัวเร่ง

ปฏิกิริยาได้จากการทดลอง ถ้ามีการเปลี่ยนแปลงตามตัวเร่งจะคิดเหมือนเป็น Reactant ตัวหนึ่งด้วย ในกฎอัตราตนันตัวเร่งปฏิกิริยาจะช่วยให้ปฏิกิริยาถึงภาวะสมดุลเร็วขึ้นเท่านั้น แต่ไม่ได้ทำให้ระบบสมดุลของปฏิกิริยาเปลี่ยนไป (ชัยยุทธ ช่างสาร และเดลิศณรงค์ ศรีพนม, 2545, หน้า 184)



ภาพที่ 2-20 ปฏิกิริยาไฟฟอโตкатาไลซิสที่สร้างขึ้นด้วยไฟฟานียม โคออกไซด์ และปฏิกิริยาไฟฟอโตкатาไลซิสต์ในธรรมชาติ (Kathirvelu et al., 2008)

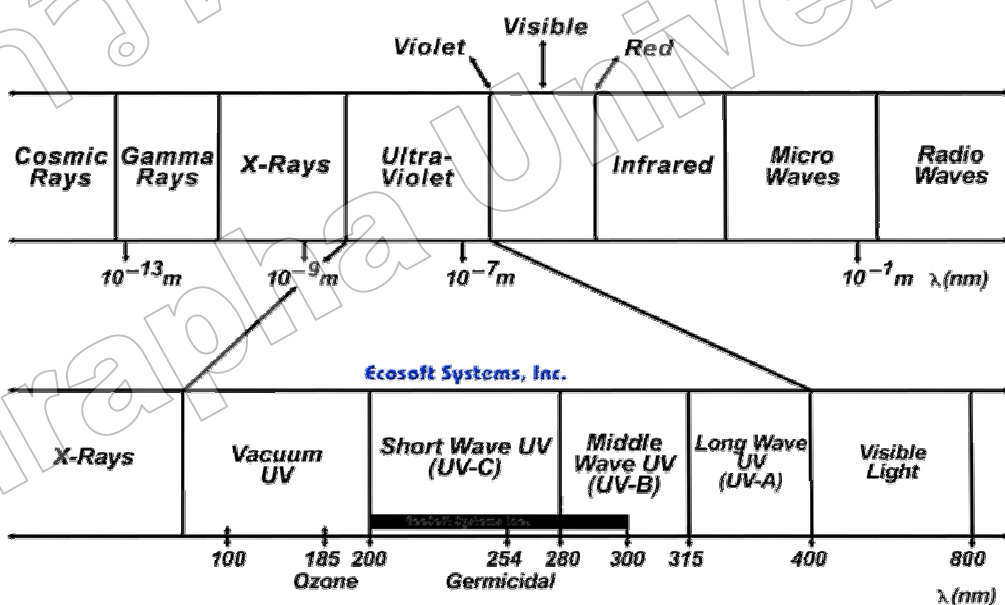


ภาพที่ 2-21 เปรียบเทียบปฏิกิริยาเมื่อไม่ใส่ตัวเร่งกิริยาและใส่ตัวเร่งปฏิกิริยา
(ชัยยุทธ ช่างสาร และเดลิศณรงค์ ศรีพนม, 2545, หน้า 184)

ปฏิกริยาไฟฟอต lokale ไลติกต้องใช้แสงเป็นตัวกระตุ้น ซึ่งแสงเป็นคลื่นแม่เหล็กไฟฟ้าที่มีสเปกตรัมหลายช่วงความถี่ ซึ่งพลังงานแสงที่ใช้ในการกระตุ้นให้เกิดสมบัติไฟฟอต lokale ไลติกจะอยู่ในรูปของพลังงานไฟฟ่อนและเป็นแสงที่มีความยาวคลื่นย่างรังสีญี่วี โดยทั่วไปนั้นสามารถคำนวณหาพลังงานแสงได้จากสมการที่ 4

$$E = h\nu = \frac{hc}{\lambda} \quad (4)$$

เมื่อ E คือ พลังงานแสง (Light Energy) (J)
 h คือ ค่าคงที่ของแพลนค์ (Planck's Constant) = 6.625×10^{-34} (J-s)
 ν คือ ความถี่ของคลื่นแสง (Hz)
 λ คือ ความยาวคลื่นแสง (nm)
 c คือ ความเร็วแสง = 3.0×10^8 (m/s)

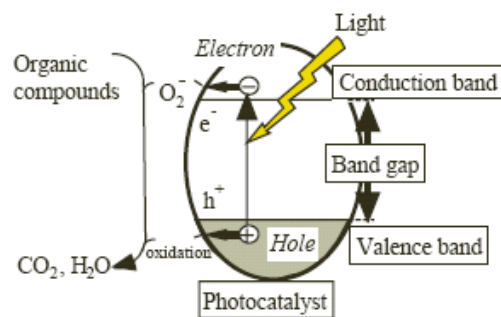


ภาพที่ 2-22 สเปกตรัมของคลื่นแสงย่างรังสีญี่วี

(http://www.ecosoftsystem.com/english_site/ultraViolet.htm)

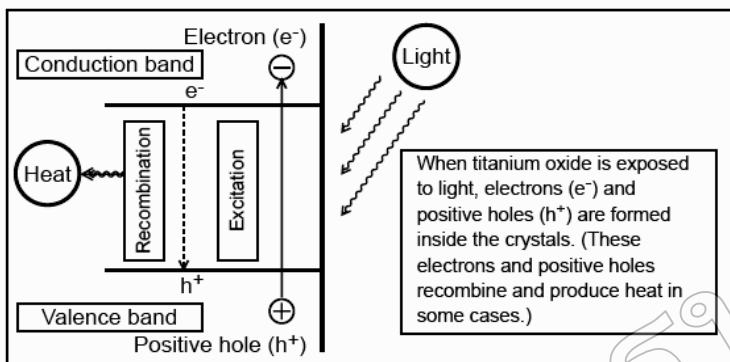
ภาพที่ 2-22 แสดงความยาวคลื่นแสงยานยูวี (UV) (ช่วงความยาวคลื่น 100-400 nm) สำหรับความยาวคลื่นในช่วงต่ำกว่า 200 nm มีความสำคัญอย่างมาก เพราะอยู่ในช่วงรังสียูวี สุญญากาศ (Vacuum ultraviolet, VUV) จะถูกดูดกลืนในชั้นบรรยากาศหมดในช่วงระยะเวลาสั้น ๆ ของการเดินทางผ่านชั้นบรรยากาศ ความเข้มของแสงยูวีและแสงขาวที่ส่องมาข้างโลกจะลดลงจากการดูดกลืนและกระเจิงในชั้นบรรยากาศและที่ความยาวคลื่นต่ำกว่า 320 nm ความเข้มของแสงจะลดลงอย่างรวดเร็วเนื่องจากถูกโอนโซนดูดกลืนในชั้นบรรยากาศสตราโตสfer ที่สูงจากพื้นโลกประมาณ 10-35 km สำหรับกระบวนการไฟฟ้าคงตัวไอลติกที่ใช้ไฟฟานียมได้ออกไซค์เป็นตัวเร่งปฏิกริยานั้น เนื่องจากไฟฟานียมได้ออกไซค์มีแถบช่องว่างพลังงานประมาณ 3.2 eV (Acosta, Martinez, Lopez, & Magana, 2005) พลังงานแสงที่ใช้กับระบบจึงต้องมากกว่าหรือเท่ากับแถบช่องว่างพลังงานของไฟฟานียมได้ออกไซค์จะมีความยาวคลื่นเท่ากับ 388 nm (Kathirvelu et al., 2008) แต่แสงอาทิตย์ที่ส่องมาข้างพื้นโลกมีความยาวคลื่นในช่วงรังสียูวีมีน้อยมาก การทดสอบสมบัติไฟฟ้าคงตัวไอลติกจึงต้องใช้แสงยูวีจากหลอดดูดยูวีเพื่อการตุนให้เกิดกระบวนการ (Zhao et al., 2005)

กลไกการเกิดไฟฟ้าคงตัวไอลติก เมื่อไฟฟานียมได้ออกไซค์ดูดซับแสงยูวีจากแสงอาทิตย์หรือแหล่งกำเนิดแสง เช่นหลอดดูดยูวี กระบวนการไฟฟ้าคงตัวไอลติกจะเกิดขึ้นให้ผลิตภัณฑ์ออกมานเป็นอิเล็กตรอนกับโฮล อิเล็กตรอนที่อยู่ในແນบ瓦เลนซ์ จะเคลื่อนย้ายเลื่อนตำแหน่งไปยังແนบการนำในไฟฟานียมได้ออกไซค์ จึงเกิดคู่ประจุลบอิเล็กตรอน (e^-) และประจุบวกโฮล (h^+) ซึ่งขึ้นนี้เป็นสถานะที่สารกึ่งตัวนำถูกกระตุนด้วยแสง (Photo-Excitation) ผลตัวพลังงานระหว่างແนบการนำและແนบวาเลนซ์เรียกว่าແนบช่องว่างพลังงาน ความยาวคลื่นแสงที่ต้องการในการกระตุนให้เกิดการเคลื่อนย้ายอิเล็กตรอนมีค่า 388 nm ประจุบวกโฮลจะแยกโมเลกุลน้ำได้ก้าวไหโครเจนและไ媳ดรอกซิลเรดิคอล ส่วนประจุลบอิเล็กตรอนจะทำปฏิกริยากับโมเลกุลของออกซิเจนได้ชูปเปอร์ออกไซค์แอนไอออน กระบวนการนี้จะเกิดขึ้นโดยสมบูรณ์เมื่อได้รับแสงอย่างต่อเนื่อง กลไกการเกิดไฟฟ้าคงตัวไอลติกแสดงในภาพที่ 2-23 เป็นปฏิกริยาไฟฟ้าคงตัวไอลติกที่สร้างขึ้นโดยการถ่ายแสงไปยังไฟฟานียมได้ออกไซค์บนดาโนน (Kathirvelu et al., 2008)



ภาพที่ 2-23 กลไกการเกิดไฟฟ้ากระแสไฟฟ้าของไทดิซิสต์ของไทยนานียมโดยอุ่นไชด์ (Kathirvelu et al., 2008)

โดยทั่วไปไทยนานียมโดยอุ่นไชด์พบรอยู่ในธรรมชาติมีอยู่ 3 รูปแบบ คือ รูํไทร์ อนาเทส และบูํไกท์ ซึ่งทั้ง 3 ชนิด มีสูตรทางเคมีคือ TiO_2 ไทยนานียมโดยอุ่นไชด์ต้องดูดกลืนแสงที่มีรั้งดับพลังงานมากกว่า แทนช่องว่างพลังงานจึงสามารถทำให้อิเล็กตรอนเลื่อนไปยังแทนการนำและเกิดไฮล์ในแทนวันนี้ อย่างไรก็ตาม รูํไทร์มีแทนช่องว่างพลังงาน 3.0 eV และอนาเทสมีแทนช่องว่างพลังงาน 3.2 eV ซึ่งทั้งคู่ดูดซับแสงในช่วงญี่วี สำหรับรูํไทร์สามารถดูดซับแสงในช่วงที่มองเห็นได้เพียงเล็กน้อย ซึ่งรูํไทร์สามารถดูดซับแสงได้ในช่วงกว้างและเหมาะสมมากที่จะนำไปใช้ในการบวนการไฟฟ้ากระแสไฟฟ้า แต่ความจริงแล้วไทยนานียมโดยอุ่นไชด์แบบอนาเทสนั้น จะมีปฏิกิริยาไฟฟ้ากระแสไฟฟ้าสูงกว่า นี้เป็นเหตุผลหนึ่งสำหรับความแตกต่างทางโครงสร้างของพลังงานของระหว่างไทยนานียมโดยอุ่นไชด์ทั้ง 2 แบบ ตำแหน่งแทนวันนี้จะทำให้ประจุบวกไฮลมีกำลังเพียงพอในการเกิดออกซิเดชัน อย่างไรก็ตามแทนการนำที่ตำแหน่งใกล้จะมีศักย์ในการเกิดออกซิเดชัน-รีดักชันกับไฮดรเจน แสดงให้เห็นว่าทั้งคู่มีความสัมพันธ์แบบอ่อนในเทอมของกำลังที่ลดลง แทนการนำของไทยนานียมโดยอุ่นไชด์แบบอนาเทสมีตำแหน่งใกล้กับประจุลบมากกว่ารูํไทร์ทำให้กำลังในการรีดิวชั่นของอนาเทสสูงกว่ารูํไทร์ นี้คือความแตกต่างระหว่างตำแหน่งแทนการนำ ซึ่งไทยนานียมโดยอุ่นไชด์แบบอนาเทสแสดงกระบวนการไฟฟ้ากระแสไฟฟ้าติกได้ดีกว่าไทยนานียมโดยอุ่นไชด์แบบรูํไทร์ (Kathirvelu et al., 2008)

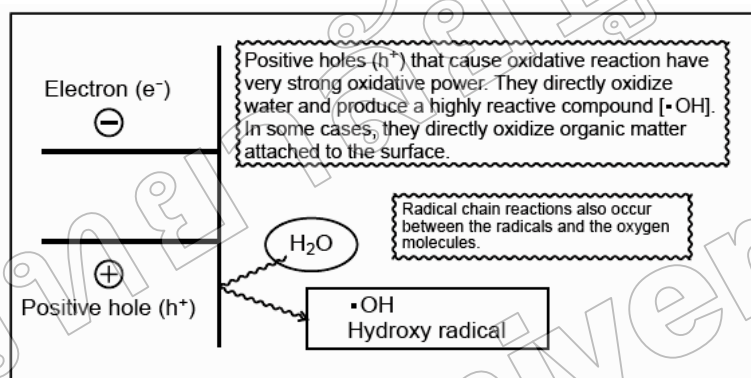


ภาพที่ 2-24 โครงสร้างของอิเล็กตรอนในไททาเนียมไดออกไซด์

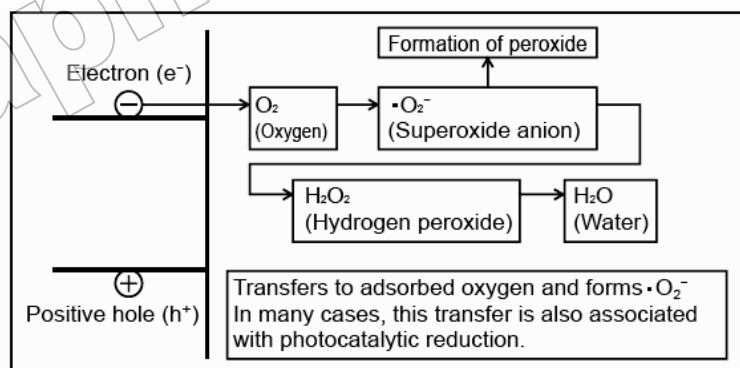
(Three Bond Technical News, 2004)

ภาพที่ 2-24 แสดงกลไกการเคลื่อนย้ายอิเล็กตรอนในไททาเนียมไดออกไซด์ เมื่อไททาเนียมไดออกไซด์คุณชั้นแสงจะเกิดการเคลื่อนย้ายของอิเล็กตรอน (e^-) และโอล (h^+) ปกติแล้วอิเล็กตรอนกับโอลเข้ารวมกันอย่างรวดเร็ว แต่ในกระบวนการ โฟโตะลูซิสต์ของ ไททาเนียมไดออกไซด์การรวมตัวของอิเล็กตรอนกับโอลจะเกิดขึ้นช้ามาก ซึ่งเปอร์เซ็นต์ของการ เคลื่อนย้ายเข้ารวมกันของอิเล็กตรอนและโอลนั้นจะบ่งชี้ถึงประสิทธิภาพของการกระบวนการ โฟโตะลูซิสต์ ไททาเนียมไดออกไซด์เป็นสารที่มีความโดยเด่นมากในกระบวนการออกซิเดชัน ซึ่งประจุบวกโอลที่เกิดขึ้นถือได้ว่าเป็นตัวออกซิเดนซ์ที่แรงมากในการย่อยสลายสารอินทรีย์และ มีความแรงในการออกซิเดซ์มากกว่าอิเล็กตรอนที่เคลื่อนย้ายไปอยู่ในแอบการนำ เมื่อพื้นผิวของ ไททาเนียมไดออกไซด์สัมผัสน้ำ น้ำจะถูกออกซิเดซ์โดยประจุบวกโอลเกิดเป็นไฮดรอกซิเรดิคอล (OH^-) ซึ่งไฮดรอกซิเรดิคอลมีความแรงในการย่อยสลายสารอินทรีย์มาก การเกิดไฮดรอกซิ เรดิคอลแสดงในภาพที่ 2-25 ขณะที่ปฏิกิริยาเรดักชั่นของออกซิเจนจะเกิดในอากาศเป็นปฏิกิริยาคู่ ออกซิเจนเกิดปฏิกิริยากับสารอื่นได้ง่าย ซึ่งถ้าออกซิเจนแสดงปฏิกิริยาเรดักชั่นแบบที่ไฮดรเจน จะได้ชูปเปอร์ออกไซด์แอน ไออ่อน (Superoxide Anions: O_2^{*-}) ชูปเปอร์ออกไซด์แอน ไออ่อน จะเข้ารวมกับสารตัวกลางในปฏิกิริยาออกซิเดชันเกิดเป็นเปอร์ออกไซด์ (OH_2^+) หรือเปลี่ยนเป็น ไฮดรเจนเปอร์ออกไซด์ (H_2O_2) และน้ำ แสดงการเกิดปฏิกิริยาเรดักชั่นในภาพที่ 2-26

ปฏิกิริยาเรดักชันมีแนวโน้มเกิดขึ้นได้ง่ายในสารอินทรีย์มากกว่าน้ำและเมื่อความเข้มข้นของสารอินทรีย์มากประจุบวกไฮดรอกซิลจะถูกนำมาใช้เพิ่มขึ้นในปฏิกิริยาออกซิเดชันกับสารอินทรีย์ดังนั้นอัตราการเคลื่อนย้ายไปรวมตัวของอิเล็กตรอนกลับไฮดรอกซิลลดลง เมื่อไฮดรอกซิลเพียงพอและถูกใช้ในกระบวนการย่อยสลายจนหมด กระบวนการการเคลื่อนย้ายอิเล็กตรอนไปยังโมเลกุลออกซิเจนในปฏิกิริยาเรดักชันจะช่วยกระตุ้นให้ปฏิกิริยาไฟโตแคตไอลซิสต์เกิดเร็วขึ้น อิเล็กตรอนนี้สามารถเคลื่อนที่ไปยังโมเลกุลของออกซิเจนได้โดยง่ายและช่วยเพิ่มประสิทธิภาพของการไฟโตแคตไอลซิสต์ให้ดียิ่งขึ้น (Three Bond Technical News , 2004)



ภาพที่ 2-25 กลไกปฏิกิริยาออกซิเดชัน (Three Bond Technical News , 2004)



ภาพที่ 2-26 กลไกปฏิกิริยาเรดักชัน (Three Bond Technical News , 2004)

Rizzo, Koch, Belgiorno, and Anderson (2007) ทดสอบสมบัติโฟโตคต์ไอลติกของฟิล์ม “ไทย่านเนียม” ได้ออกใช้โดยพิจารณาจากค่าแบบชอร์แบบนี้ที่ลดลงจากการย่อยสลายสารละลายนมทีลีนบลูและได้อธิบายขั้นตอนการเกิดปฏิกิริยาโฟโตคต์ไอลติกไว้ดังนี้

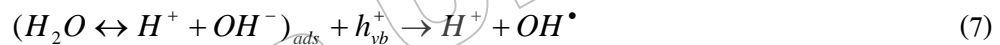
1. เมื่อ “ไทย่านเนียม” ได้ออกใช้ได้รับพลังงานโฟตองจากแสงอิเล็กตรอนจะเคลื่อนย้ายไปยังแอนด์การนำส่วนไฮดروเจนในแอนบวนเดนซ์



2. อิเล็กตรอนในแอนด์การนำเคลื่อนตัวเข้ารวมกับออกซิเจนก็เป็นปฏิกิริยาเรียดักชันได้ชูปเปอร์ออกไซด์แอน ไอออนซึ่งเป็นตัวออกซิแคนซ์ที่แรงมาก



3. ไฮด์โรเจนในแอนบวนเดนซ์เข้ารวมด้วยกับหมู่ไฮดรอกซิล OH⁻ ที่เกิดจากการแตกตัวของน้ำ เกิดเป็นไฮดรอกซิลเรดิคอล OH[•] ซึ่งเป็นตัวออกซิแคนซ์สารอินทรีย์ที่แรงมากเช่นกัน



4. ปฏิกิริยากับสารอินทรีย์ (R) เกิดขึ้นโดยไฮดรอกซิลเรดิคอล (OH[•]) หรือไฮด์ (h⁺) เกิดการย่อยสลายสารอินทรีย์



การหาลักษณะเฉพาะของฟิล์มบางไทกานเนียมโดยอุปกรณ์

ลักษณะเฉพาะหรือสมบัติต่าง ๆ ของฟิล์มบางสามารถวิเคราะห์หรือหาได้จากเทคนิคต่าง ๆ หลายเทคนิค ในงานวิจัยนี้จะศึกษาลักษณะเฉพาะของฟิล์มบางต่อไปนี้ โครงสร้างผลึกเฟส ลักษณะพื้นผิว ความหนา และองค์ประกอบของฐานทางเคมี ด้วยเทคนิคต่าง ๆ ดังนี้

1. การศึกษาโครงสร้างด้วยเครื่อง X-ray diffractrometer (XRD)

ลักษณะเฉพาะสำคัญอย่างหนึ่งของฟิล์มบางคือการศึกษาโครงสร้างผลึก หรือ เฟส ซึ่งสามารถวิเคราะห์ได้ด้วยเทคนิควิเคราะห์การเลี้ยวเบนรังสีเอกซ์ (Diffraction Analysis) กรม อุ่ยมพนาภิจ (2547) อนับว่าหลักการของเทคนิคนี้ไว้วังนี้ การวิเคราะห์การเลี้ยวเบนรังสีเอกซ์ เป็นเทคนิคที่ใช้สำหรับการแยกแยะ โครงสร้างของสารที่ใช้ในการเคลือบ โดยการวิเคราะห์อาศัย การเปรียบเทียบรูปแบบการเลี้ยวเบนกับมาตรฐาน JCPDS (Joint Committee on Powder Diffraction Standard) ของสารนั้น ดังนั้นเทคนิค XRD เป็นเทคนิคสำหรับวัดค่าความเข้มของรังสี เอกซ์ที่สะท้อนจากผลึก ใช้หลักการของการเลี้ยวเบนของคลื่น โดยพบว่ารังสีเอกซ์เลี้ยวเบนได้ เมื่อให้ตกลงบนผลึก ซึ่ง Bragg ได้เสนอแนวคิดว่าความสามารถของผลึกประกอบด้วยชั้น (Layer) หรือ ระนาบ (Plane) ของอะตอมซึ่งสามารถสะท้อนคลื่นที่ตกกระทบ โดยมุ่งที่ตกลงบนเท่ากับ มุมสะท้อน ทั้งนี้คือที่สะท้อนออกไปจากระนาบต่าง ๆ ดังกล่าวจะมีความเข้มสูง สำรังสีเอกซ์ 1 และ 2 ตกกระทบทำมุ่ง 0 กับระนาบของผลึก A และ B สนามไฟฟ้าของรังสีเอกซ์จะก่อให้เกิด แรงคูลومป์กระทำบนอิเล็กตรอนที่ P กับ Q ให้สั่นคลายความถี่เดียวกับรังสีเอกซ์ที่ตกกระทบ และอิเล็กตรอนนั้นแผ่คลื่นแม่เหล็กไฟฟ้าเป็นรังสีเอกซ์ออกไปทุกทิศทางแต่ในทิศทาง 1' และ 2' ซึ่งเสมือนรังสีเอกซ์สะท้อนออกจากกระนาบของผลึกจะไปแทรกสอดแบบเสริมกัน (In Phase) แม้ว่าแบบจำลองที่กล่าวมาจะไม่ถูกต้องในทางกายภาพ เนื่องจากแท้จริงแล้วระนาบของอะตอม ไม่ได้สะท้อนคลื่นแต่ใช้ชีวิธีนี้ก็ใช้ได้ในทางเรขาคณิต พิจารณา

$$\delta = n\lambda \quad (10)$$

เมื่อ δ คือ ความแตกต่างของระยะที่คลื่นเดินทาง

λ คือ ความยาวคลื่น

n คือ จำนวนเต็มใด ๆ

จากภาพที่ 2-27

$$\delta = SQ + QT = 2SQ \quad (11)$$

จากรูปตรีโกณมิติพื้นฐาน

$$\delta = 2PQ \sin \theta \quad (12)$$

โดย PQ คือ ระยะห่างระหว่างระนาบ d_{hkl}

$$\delta = 2d \sin \theta \quad (13)$$

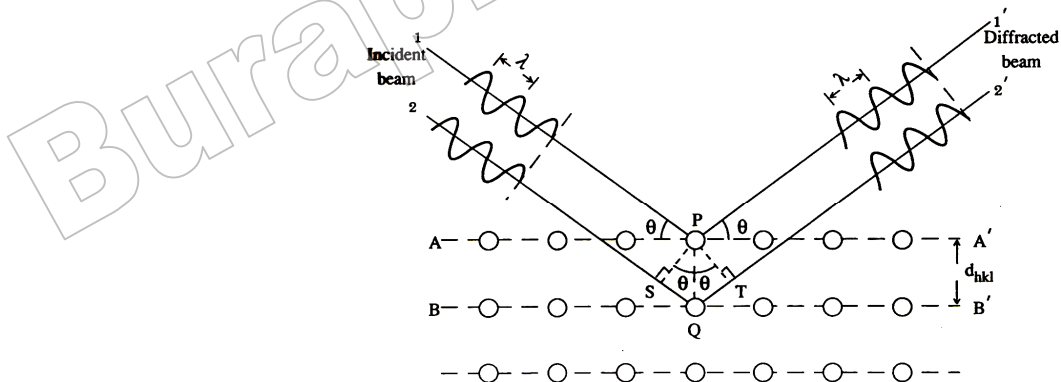
จากสมการ (4) เท่ากับ (7) จะได้

$$2d_{hkl} \sin \theta = n\lambda \quad (14)$$

เรียกสมการที่ (8) นี้ว่า สมการการเลี้ยวเบนรังสีเอกซ์จากผลึก (Bragg's law)

โดยที่ λ เป็นความยาวคลื่น n เป็นลำดับของการสะท้อน d_{hkl} เป็นระยะห่างระหว่างระนาบ (hkl) และ θ เป็นมุมต่อกลางและมุมสะท้อนเมื่อวัดจากแนวระนาบที่กำลังพิจารณา

ในภาพที่ 2-27 เป็นแบบจำลองสำหรับการพิสูจน์กฎของแบร์ก์ อะตอมเรียงตัวเป็นระเบียบ โดยมีระยะห่างระหว่างอะตอมใกล้เคียงกับความยาวคลื่นของรังสีเอกซ์ ($\sim 10^{-10} \text{ m}$) จะทำหน้าที่เป็นเสมือน เกรตติงเลี้ยวเบนแต่จะเป็นเกรตติงเลี้ยวเบนแบบ 3 มิติ



ภาพที่ 2-27 แบบจำลองการเรียงตัวของอะตอม (กมล เอี่ยมพนาภิจ, 2547)

สัญญาณที่ตรวจจับได้จะแสดงออกมาในรูปแบบของการเลี้ยวเบนรังสี (Diffraction Pattern) ความเข้มของสัญญาณขึ้นอยู่กับหลายปัจจัยด้วยกัน เช่น โครงสร้างของวัสดุ ปริมาตรของวัสดุที่แผ่รังสี (Volume of Irradiated Material) รูปทรงของการหักเห (Diffraction Geometry) และการวางชิ้นงาน (Sample Alignments) เป็นต้น

ตำแหน่งของพีค ที่มีค่ามากที่สุดสามารถบอกถึงขนาดและรูปร่างของหน่วยเซลล์ได้ในขณะที่ความกว้างให้หาค่าขนาด การจัดเรียงตัว (Orientation) และความเครียด (Strain) ภายในเกรนของวัสดุหลายผลึก กรณีของการศึกษาขนาดของผลึกจากรายงานการวิจัยของ Kim, Hahn, Oh, and Kim (2002) ได้ทำการศึกษานำขนาดของผลึกไฟฟานียม ได้ออกใช้ค่าที่อยู่ในฟิล์มบางด้วยอุณหภูมิต่าง ๆ โดยอาศัย Seherrer equation ดังสมการที่ 9

$$L = \frac{l\lambda}{\beta \cos \theta} \quad (15)$$

เมื่อ L คือ ขนาดของผลึกฟิล์ม ไฟฟานียม ได้ออกใช้ค์

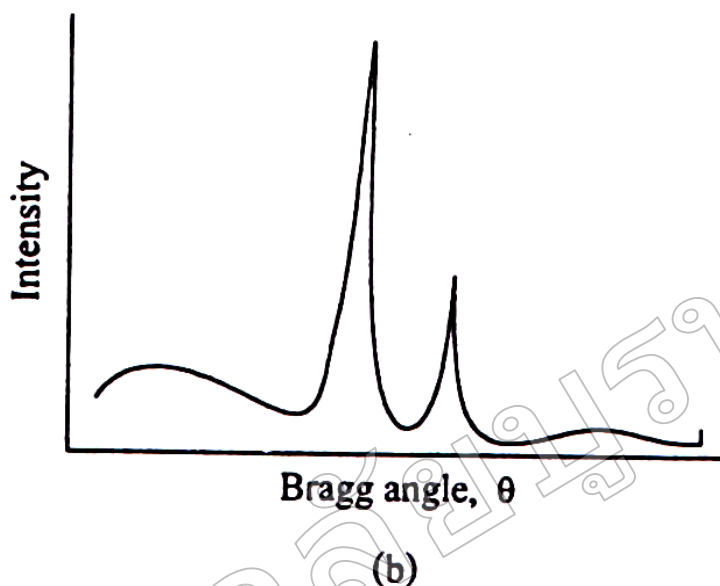
k คือ ค่าคงที่เท่ากับ 0.94

λ คือ ความยาวคลื่นของรังสีเอกซ์ ($\text{CuK}_\alpha = 1.5406$)

β คือ ความกว้างครึ่งหนึ่งของพีคที่มีค่าความเข้มสูงสุด

θ คือ ครึ่งหนึ่งของมุมตรงกุศลอนย์กลางพีค

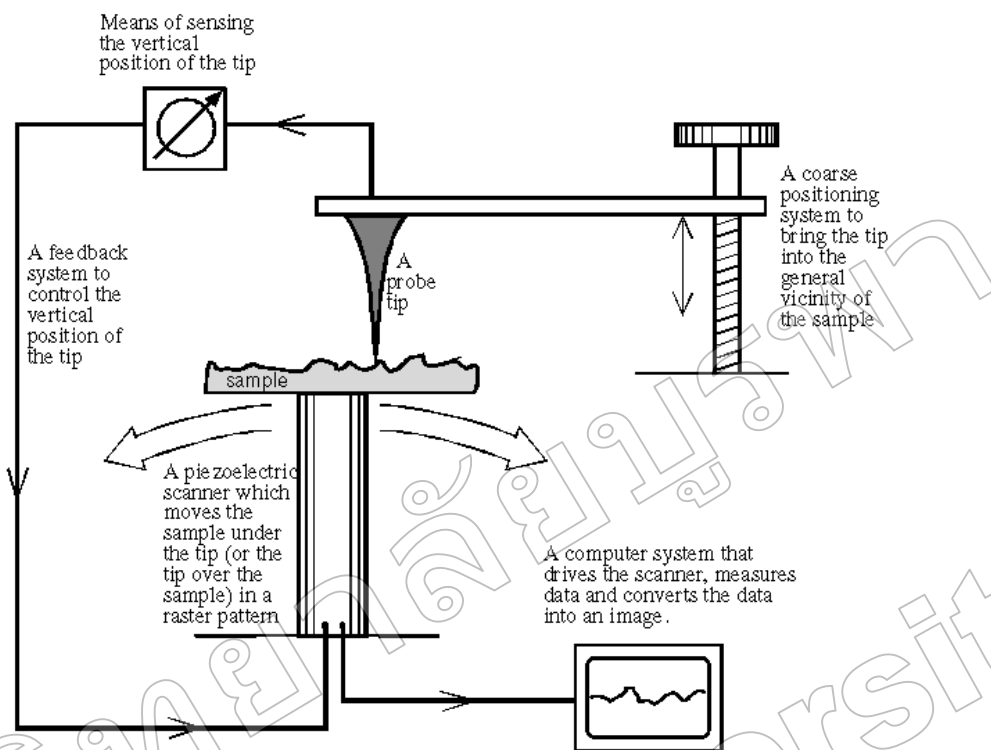
บางครั้งตำแหน่งของรูปแบบการเลี้ยวเบนที่วัดได้อาจจะเดื่องไปด้วยค่ามูมที่สูงขึ้น เนื่องจากผลของการความเก็บหลงเหลือ (Residual Stress) ในผิวสารเคลือบนั้นเอง ส่วนความเข้มของสัญญาณที่ได้อาจไม่เป็นไปตามค่ามาตรฐาน JCPDS เพราะเกิดการจัดเรียงตัวในทิศทางที่ชอบ (Preferred Orientation) ของอะตอมในฟิล์มนอกจากนี้เทคนิคการเลี้ยวเบนรังสีเอกซ์ยังสามารถให้ข้อมูลที่บอกร่องส่วนผสมทางเคมีของเฟส (Phase Composition) และค่าพารามิเตอร์ของแลททิซ (Lattice Parameter)



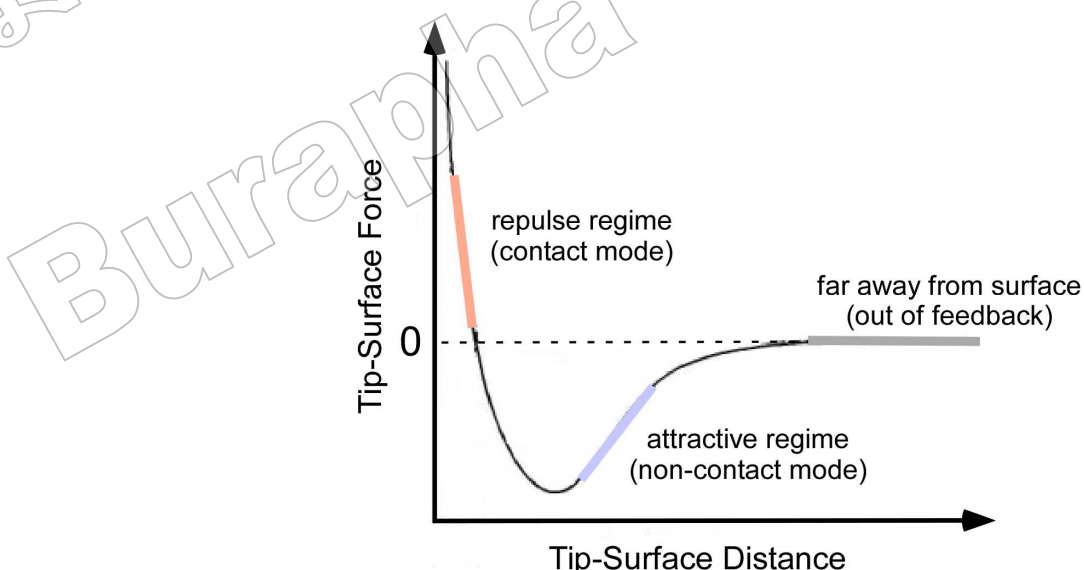
ภาพที่ 2-28 ความเข้มของพีกที่แสดงถึงระนาบผลึกของวัสดุในตำแหน่งที่มีการสะท้อนรังสี
(มติ หอประทุม, 2548)

2. การศึกษาลักษณะพื้นผิวด้วยเครื่อง Atomic Force Microscopy (AFM)

ลักษณะเฉพาะสำคัญอีกอย่างหนึ่งของพิล์มนบางคือการศึกษาลักษณะพื้นผิว และความหนา เทคนิกที่นิยมใช้ในการศึกษาความหนาและลักษณะพื้นผิวของพิล์มนบางในระดับนาโน คือ Atomic Force Microscopy (AFM) ซึ่ง จตุพร วุฒิกนกกาญจน์ (2542) ได้อธิบายหลักการทำงานของเครื่อง AFM ไว้วังนี้ เทคนิก Atomic Force Microscopy เป็นการสร้างภาพของผิววัสดุจากแรงกระทำระหว่างผิววัสดุกับตัวตรวจวัดที่ทำจากเข็มขนาดเล็ก (Probe Tip) และเป็นเทคนิกหนึ่งในกลุ่มของ Scanning Probe Microscopy (SPM) ซึ่งเป็นกลุ่มเทคนิกที่สามารถใช้ในการศึกษาสภาพพื้นผิวของวัสดุประเภทต่าง ๆ ได้ หลักการพื้นฐานคือ การใช้เข็มตรวจวัดขนาดเล็กที่ทำจากซิลิโคนในไตรด์ (Silicon Nitride, Si_3N_4) เคลื่อนที่กราด (Scan) ไปทั่วบริเวณต่าง ๆ ของผิววัสดุ โดยมีตัวเพียโซอิเล็กทริกสแกนเนอร์ (Piezoelectric Scanner) เป็นตัวควบคุม สภาพผิวที่แตกต่างกันไปจะก่อให้เกิดการเปลี่ยนแปลงกับเข็มตรวจวัดแตกต่างกันไป โดยตัวค่านี้มีเชิงเส้นทางที่ติดอยู่จะมีการโค้งงอ (Bending) ปริมาณการโค้งงอนี้สามารถตรวจวัดได้โดยใช้โฟโตเดกเตอร์ (Photo Detector) ดังภาพที่ 2-29 ภาพที่ได้จากเทคนิกนี้จะสอดคล้องตามสภาพพื้นผิวในแต่ละบริเวณที่ตรวจสอบ ในเทคนิก AFM นี้ สิ่งที่ทำให้ค่านี้มีเชิงเส้นทางอยู่คือการโค้งงอขึ้นกีดี แรงกระทำระหว่างอะตอมซึ่งอาจจะเป็นแรงดึงดูดหรือแรงผลักดัน ได้ขึ้นอยู่กับระยะห่างระหว่างเข็มปลายแหลมกับพื้นผิว ดังแสดงในภาพที่ 2-30



ภาพที่ 2-29 องค์ประกอบหลักของเครื่องมือ Scanning Probe Microscope
<http://www2.polito.it/ricerca/micronanotech/Strumenti/SPM.html>



ภาพที่ 2-30 ลักษณะของแรงกระทำระหว่างอะตอมที่เกิดขึ้นในระยะห่างระหว่างวัตถุต่าง ๆ
www.science.siu.edu/chemistry/zang/afm.html

เทคนิค AFM สามารถแบ่งได้หลายวิธีตามลักษณะการเก็บข้อมูล ซึ่งจะได้ก่อตัวถึงในหัวข้อต่อไป อย่างไรก็ตาม ไม่ว่าจะเป็นการใช้ AFM วิธีใด แรงกระทำที่เกิดขึ้นจะมีการเปลี่ยนแปลงไปตามสภาพพื้นผิว (Topography) ของวัสดุ

ภาพที่ 2-31 แสดงให้เห็นถึงเครื่อง Atomic Force Microscope รุ่น NanoScope IIIa บริเวณตรงกลางเป็นบริเวณที่ใช้วางชิ้นงานโดยมีเข็มวัดวางอยู่ด้วย ส่วนที่บริเวณด้านบนของเครื่องมือจะมีกล้องจุลทรรศน์วิดีโอ (Video Microscope) ติดตั้งไว้ เพื่อใช้สำหรับคุณภาพหน้างานเข้มที่จะทำการวางลงบนบริเวณต่าง ๆ บนผิว ภาพที่ได้จากการถ่ายภาพนี้จะแสดงทางซอฟต์แวร์ที่นักวิทยาศาสตร์ที่สนใจจะสามารถใช้ได้



ภาพที่ 2-31 เครื่อง AFM แบบ Multimode (<http://srv.emunit.unsw.edu.au/facility/afm.htm>)

ลักษณะการเก็บข้อมูลด้วยเทคนิค AFM สามารถใช้เก็บข้อมูลได้ 4 ลักษณะ (Mode) ที่สำคัญดังนี้คือ

1. Contact mode เป็นการศึกษาสภาพผิวชั้นงานโดยการขยับให้เข้าไปคลิก (Slide)

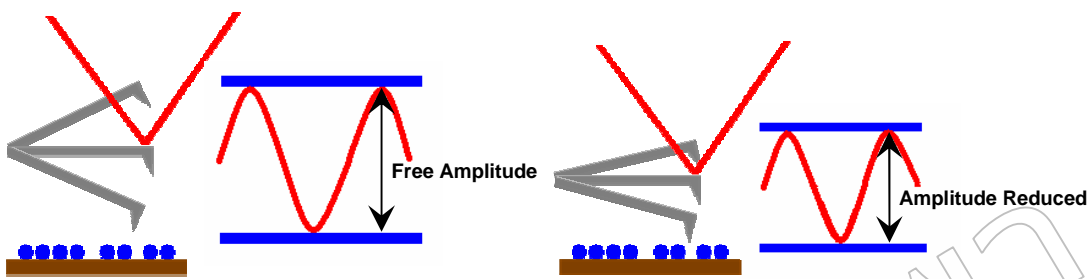
ไปบนผิวงานซึ่งจะทำให้มีแรงผลักเกิดขึ้น เนื่องจากเข้มกับผิวงานจะอยู่ใกล้กันมาก แรงผลักนี้จะเปลี่ยนแปลงไปตามสภาพผิว ซึ่งจะทำให้มีการโกร่งงอ (Deflection) ของคานยื่น (Cantilever) ที่มีเข็มยืดเคาะอยู่ที่ปลาย โดยปริมาณการโกร่งจะเปลี่ยนแปลงสอดคล้องเป็นไปตามลักษณะของผิวงาน

อย่างไรก็ตาม เทคนิคแบบ Contact mode นี้มีข้อเสียคือ การลากให้เข้ามาระยะห่างเคลื่อนที่ไกลข้ามไปยังบริเวณต่าง ๆ บนผิวงาน อาจจะทำให้พื้นผิวสลดที่กำลังศึกษาต่างไปจากสภาพเดิมที่แท้จริง หรืออาจเกิดความเสียหายขึ้นแก่ผิวงานได้ ยกตัวอย่างเช่น ภายใต้สภาวะบรรยายกาศปกติซึ่งมีอากาศและความชื้นในอากาศ อาจจะเกิดหยดน้ำหรือสิ่งสกปรกบนผิวงาน ซึ่งเมื่อเข้ามาระยะห่างเคลื่อนที่ไปสัมผัสกับผิวที่มีชั้นบาง ๆ ของหยดน้ำและสิ่งสกปรกดังกล่าว จะทำให้มีแรงดึงไฟฟ้าสถิตและแรงตึงผัวดึงให้ตัวคานที่มีเข็มยืดอยู่ที่ปลายเคลื่อนที่ลงมาสัมผัสกับชั้นดังกล่าว ทำให้แรงระหว่างเข็มกับผิวงานที่เกิดขึ้นโดยรวมเปลี่ยนแปลงไป นอกจากนี้ ยังอาจทำให้ผิวงานถูกทำลาย เช่น เกิดการฉีกขาดจากการลากเข้าไปบนผิวงาน

2. Non-contact mode เพื่อที่จะหลีกเลี่ยงปัญหาดังกล่าวข้างต้น จึงได้มีการพัฒนาเทคนิคแบบ Non-contact mode ขึ้นมา โดยในที่นี้ ตัวเข็มถูกออกแบบจะถูกยกขึ้นมาให้มีระยะห่างเหนือผิวงานสูงมากขึ้น คือประมาณ $10 - 100 \text{ } \mu\text{m}$ จึงไม่มีปัญญาระบบในการทำลายโครงสร้างผิวงานโดยในกรณีนี้ แรงกระทำระหว่างตัวคานที่มีเข็มปัดายแหลมยืดเคาะอยู่กับผิวงานจะเป็นลักษณะแรงดึงดูดซึ่งจะเปลี่ยนแปลงไปตามรูปทรงของสภาพผิวงาน เช่นเดียวกัน

วิธีนี้มีข้อจำกัดเกี่ยวกับความละเอียดของภาพที่เกิดขึ้น นั่นคือ แรงดึงดูดประเภทแวนเดอร์วัลลส์ (Van Der Waals) ที่เกิดขึ้นในกรณีนี้จะเป็นแรงที่อ่อนกว่าเมื่อเทียบกับแรงผลักที่เกิดขึ้นในกรณีของ Contact mode ดังนั้นการตรวจสอบอาจไว (Sensitive) ต่อสิ่งแปลงปลอมที่อยู่บนผิวงาน เช่น หยดน้ำที่เกาะอยู่บนผิว

3. Tapping mode เป็นเทคนิคที่รวมเอาลักษณะของการวัดทั้งในแบบของ Contact mode และ Non-contact mode เข้าด้วยกัน กล่าวคือ ยังคงให้มีการสัมผัสกันระหว่างเข็มกับผิวงานในระยะที่ใกล้กันมาก เหมือนกับกรณีของ Contact mode เพื่อให้เกิดภาพที่ชัดเจน ในขณะเดียวกัน ก็ยังมีการสั่นหรือขยับเข็มปลายแหลมให้เคลื่อนที่ขึ้นลงไปพร้อม ๆ กับการเคลื่อนที่สแกนไปยังบริเวณต่าง ๆ บนผิวงาน ดังนั้นจึงเป็นการหลีกเลี่ยงปัญหาการลากไกลเข้าไปคลิกอย่างต่อเนื่อง ซึ่งจะทำให้เกิดการทำลายสภาพของผิวงานได้ เมื่อใน Contact mode



ภาพที่ 2-32 ลักษณะการสั่นของคานที่มีเข็มติด

(<http://www.nanocraft.de/kompetenz/tapping/tapping.html>)

ภาพที่ 2-32 แสดงการสั่นของคานในสภาพอิสระหรือตอนเริ่มต้นที่ยังไม่เกิดการสัมผัสและยังเคลื่อนที่ไปบนผิวงาน จะเห็นได้ว่าแอมเพลจูดของยังสูงอยู่เมื่อเทียบกับแอมเพลจูดที่เกิดจาก การสั่นของคานเมื่อมีการแตะสัมผัส (Tapping) ลงบนผิวงาน เนื่องจากในการสัมผัสกันนั้นจะมีการ สูญเสียพลังงานของการสั่น ทำให้แอมเพลจูดของการสั่น (Oscillation Amplitude) ลดลง ซึ่งค่าที่ลดลงนี้จะใช้เป็นตัววัดและบอกถึงลักษณะของสภาพพื้นผิวที่มีความสูงต่ำแตกต่างกันไป ตัวอย่างเช่น เมื่อเข้มตรวจวัดเคลื่อนที่ผ่านบริเวณผิวงานที่มีความนูนสูงขึ้นมา ตัวคานก็จะมีพื้นที่ หรือแอมเพลจูดในการสั่นลดลง ในทางตรงข้าม เมื่อเข้มปalyxและลดลงเคลื่อนที่ผ่านบริเวณผิวที่มี การยุบตัวหรือมีความลึกลงไป ตัวคานก็จะมีพื้นที่ในการสั่นเพิ่มขึ้น และมีแอมเพลจูดสูงขึ้น (เข้าใกล้แอมเพลจูดสูงสุดในสภาพที่ยังไม่มีการทำการสแกน) และแอมเพลจูดของการสั่นที่เปลี่ยนแปลง ไปก็จะถูกวัดโดยแอมเพลจูดเดกเตอร์ (Amplitude Detector) แล้วส่งผลเข้าไปยังตัวควบคุม ซึ่งจะทำการวัดสัญญาณพร้อมทั้งปรับระยะระหว่างเข็มกับผิวงาน เพื่อรักษาให้ค่าแอมเพลจูดของ การสั่นให้คงที่ต่อไป จนกว่าจะมีการเปลี่ยนแปลงของแอมเพลจูดของการสั่นตามสภาพพื้นผิวใน บริเวณที่ต้องไป

4. Force modulation mode สำหรับพื้นผิวของวัสดุที่มีองค์ประกอบหลายเฟส พบว่า เทคนิค AFM ในวิธีแบบ Force modulation mode จะเป็นที่นิยมใช้มาก โดยเทคนิคนี้จะเป็นการวัด และสร้างภาพของพื้นผิวชิ้นงานที่มีความแตกต่างของความแข็งแกร่ง (Stiffness) ในแต่ละเฟสสูง โดยในกรณีที่ตัวเข็มจะสแกนไปในลักษณะที่มีการสั่นในแนวตั้งจากกับผิววัสดุด้วยแอมเพลจูด เล็กน้อย แต่จะมีความเร็วในการสั่นที่สูงกว่าการเคลื่อนที่สแกนของเข็ม และเมื่อตัวเข็มถูกนำเข้ามา แตะสัมผัสถกับผิววัสดุก็จะเกิดแรงต่อต้านจากผิวของวัสดุที่เกิดจากการสั่นและทำให้ตัวคานงอ และ ถ้าหากว่าเราให้แรงที่ทำให้ตัวคานสั่นคงที่ พื้นผิวบริเวณที่แข็งกว่าจะทำให้เกิดการต่อต้านต่อ การสั่นในแนวตั้งของตัวคานมากกว่า และจึงทำให้ตัวคานงอมากกว่า ดังนั้น การเปลี่ยนแปลง

ของแอมพลิจูดที่เกิดจากการโก่งของตัวค่านั่งนำมาใช้วัดเปรียบเทียบความแข็งที่บริเวณต่าง ๆ ของผิวงาน

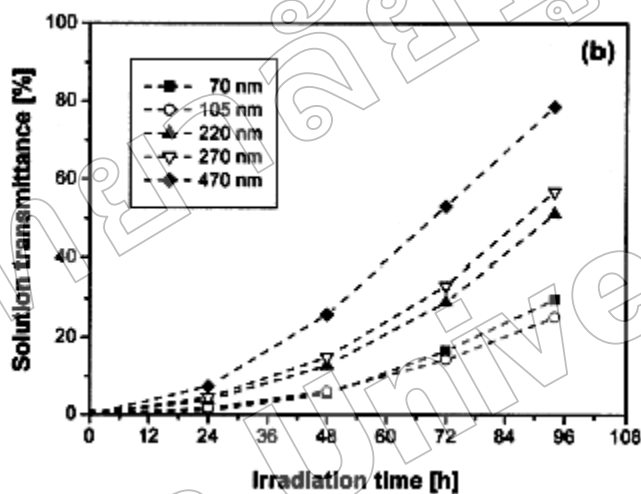
หลักการของวิธี Tapping mode กับ Force modulation mode คล้ายกันที่มีการสั่นของเข็มในแนวตั้งพร้อมกับมีการสแกนไปบนผิวชิ้นงานอย่างไรก็ตามทั้ง 2 เทคนิค จะมีความแตกต่างกันคือ ในกรณี Force modulation mode จะสั่นด้วยความเร็วสูงกว่า (สูงกว่าความเร็วในการสแกน) และการวัดแอมพลิจูดที่เกิดจากการบิดของคาน เป็นการวัดเนื้องจากผลของแรงด้านการสั่น เมื่อมีการสัมผัสของเข็มกับผิวงานในขณะที่ Tapping Mode จะเป็นการวัดการเปลี่ยนแปลงแอมพลิจูดของ การสั่นของคานที่เปลี่ยนแปลงไป (ลดลง) เนื่องมาจากมีการสูญเสียพลังงานไปเมื่อมีการสัมผัสผิวงานที่มีระดับความสูงต่างๆ แตกต่างกัน

การทดสอบสมบัติโฟโตคະตะไลติกของฟิล์มน้ำไทยเนียมไดออกไซด์

วิธีทดสอบสมบัติโฟโตคະตะไลติกของฟิล์มน้ำไทยเนียมไดออกไซด์สามารถทำได้ หลากหลายวิธี จากการศึกษางานการวิจัยที่เกี่ยวข้องกับการทำสมบัติโฟโตคະตะไลติก พนวิธีที่นิยมใช้ในการทดสอบมี 5 วิธี คือ (1) การวัดค่าความส่งผ่านแสงของสารละลายที่ลดลงหลังเกิดกระบวนการโฟโตคະตะไลติก (2) การตรวจสอบค่าตอบซอร์เบนซ์ของสารละลาย (3) การตรวจสอบความเข้มข้นของแก๊สทดสอบ (4) การตรวจสอบความเข้มข้นของสารละลายทดสอบ และ (5) การตรวจสอบปริมาณก้าชาร์บอนที่เกิดจากการโฟโตคະตะไลติก ซึ่งรายละเอียดของวิธีต่าง ๆ อธิบายได้ดังนี้

1. การวัดความส่งผ่านแสงของสารละลาย Zeman and Takabayashi (2003) ทำการทดสอบสมบัติโฟโตคະตะไลติกของฟิล์มน้ำไทยเนียมไดออกไซด์ โดยนำกระจกที่เคลือบด้วยไทยเนียมไดออกไซด์ขนาด 2.1 cm^2 แฟชั่นสารละลายเมทิลีนบลู ($\text{C}_{16}\text{H}_{18}\text{N}_3\text{S}\cdot\text{Cl}\cdot3\text{H}_2\text{O}$) ความเข้มข้น 0.05 mmol กรณีใช้สารละลายเมทิลีนบลูเป็นตัวแทนสารอินทรี จำนวนน้ำฟิล์มน้ำไทยเนียมไดออกไซด์แฟชั่นสารละลายเมทิลีนบลูแล้วนำไปป้ายแสงยูวีด้วยหลอด Black Light ความเข้มแสงเท่ากับ 2 mW/cm^2 เป็นเวลา 4 วัน เพื่อกระตุ้นให้ฟิล์มเกิดทำให้เกิดสมบัติโฟโตคະตะไลติกโดยทุกๆ 24 ชั่วโมง จะนำสารละลายที่แฟชั่นฟิล์มไปวัดความส่งผ่านแสงที่ความยาวคลื่น 650 nm ด้วยเครื่องスペกโตรโฟโตมิเตอร์ (Spectrophotometer) เพื่อพิจารณาสมบัติโฟโตคະตะไลติกจากค่าความส่งผ่านแสงที่เปลี่ยนไป ซึ่งหากค่าความส่งผ่านแสงเพิ่มขึ้นแสดงว่าเกิดสมบัติโฟโตคະตะไลติกและฟิล์มน้ำไทยเนียมไดออกไซด์สามารถย่อยสลายสารอินทรีได้ เนื่องจากหากความเข้มข้นของสารละลายลดลงจะทำให้แสงสามารถส่งผ่านได้เพิ่มขึ้น และทุกครั้งๆ ก่อนที่จะนำฟิล์มไปแฟชั่นสารละลายจะนำฟิล์มไปป้ายแสงด้วยหลอด Halogen ความยาวคลื่น 350 nm

ความเข้มแสงเท่ากับ 40 mW/cm^2 เพื่อกำจัดสารอินทรีย์บนผิวฟิล์ม พบว่าค่าความส่งผ่านแสงของสารละลายเพิ่มขึ้นหลังเกิดกระบวนการการไฟโตคัตไอลิติก จากภาพที่ 2-33 จะเห็นได้ว่าเมื่อเวลาในการฉายแสงยูวีเพิ่มขึ้นเปอร์เซ็นต์การส่งผ่านแสงของสารละลายเม็ดลินบลูความเข้มข้น 0.05 mmol/l ที่แข็งค้างจากเคลือบไฟฟานียมไดออกไซด์ขนาด 2.1 cm^2 มีค่าเพิ่มขึ้น นั่นแสดงถึงการมีสมบัติไฟโตคัตไอลิติกของฟิล์มบางไฟฟานียมไดออกไซด์ และทำนองเดียวกันงานวิจัยของ Acosta et al. (2005) ที่เคลือบฟิล์มบางไฟฟานียมไดออกไซด์บนกระดาษที่ใช้วิธีทดสอบสมบัติไฟโตคัตไอลิติกของฟิล์มด้วยวิธีเดียวกันนี้



ภาพที่ 2-33 เปอร์เซ็นต์การส่งผ่านแสงของสารละลายเม็ดลินบลูสำหรับฟิล์มบางไฟฟานียมไดออกไซด์ที่เคลือบที่ความดันรวมขณะเคลือบต่าง ๆ กัน
(Zeman & Takabayashi, 2003)

2. การตรวจสอบค่าแอบซอร์เบนซ์ของสารละลาย Zeman and Takabayashi (2002) ทดลองหาสมบัติไฟโตคัตไอลิติกของฟิล์มจากใช้หลักการย้อมสลายสารอินทรีย์โดยดูจากค่าแอบซอร์เบนซ์ที่ทดลองของสารอินทรีย์หลังการเกิดกระบวนการไฟโตคัตไอลิติก การตรวจสอบจะใช้เทคนิคทางแสง คือ วัดค่าความส่งผ่านแสง (Transmittance) ของสารอินทรีย์แห้งบนกระดาษที่เคลือบฟิล์มไฟฟานียมไดออกไซด์ก่อนการฉายแสงยูวี และหลังการฉายแสงยูวีเพื่อการตื้นเกิดให้กระบวนการไฟโตคัตไอลิติก จากนั้นนำค่าความส่งผ่านแสงก่อนและหลังฉายแสงยูวีไปคำนวณหาค่าแอบซอร์เบนซ์ของสารอินทรีย์ หากค่าแอบซอร์เบนซ์ของลดลงแสดงว่าสารอินทรีย์ถูกย่อย

สลายไป ซึ่งในการทดลองใช้สารเมทิลีนบลู ($C_{16}H_{18}N_3S \cdot Cl \cdot 3H_2O$) เป็นตัวแทนสารอินทรีย์ วิธีการโดยละเอียดมีดังนี้ นำกระจุกที่เคลือบด้วยฟิล์มบางไททาเนียม ไดออกไซค์เจล ด้วยแสงชาโลเจน 48 ชั่วโมง เพื่อกำจัดสารอินทรีย์บนพื้นผิวฟิล์มจากนั้นนำกระจุกที่เคลือบด้วยไททาเนียม ไดออกไซค์ไปจุ่มในสารละลายนมทิลีนบลูความเข้มข้น 1 mmol/l ในที่มีเดือนเวลา 1 ชั่วโมง สารละลายนมทิลีนบลูจะติดอยู่ที่ผิวของไททาเนียมซึ่งเคลือบอยู่บนกระจุก ไดออกไซค์ซึ่งเคลือบอยู่บนกระจุก เมื่อครบเวลาที่กำหนดนำกระจุกที่จุ่มไว้ขึ้นจากสารละลายนมที่มีเดือน 30 นาที เมื่อสารละลายนมทิลีนบลูแห้งแล้วจึงนำกระจุกที่มีสารเมทิลีนบลูแห้งอยู่บนผิวฟิล์มไปวัดความส่งผ่านแสงด้วยเครื่องสเปกโตรโฟโตเมตร์ที่ความยาวคลื่น 650 nm ทั้งนี้สมบัติโฟโตกะตะໄลดิติกจะพิจารณาจากการเปลี่ยนแปลงการดูดกลืน (ΔABS) ที่คำนวณได้จากสมการที่ 16

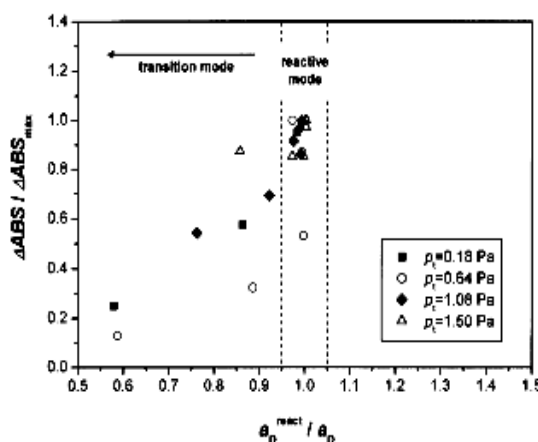
$$\Delta ABS = \ln \frac{T_0}{T_i} \quad (16)$$

เมื่อ ΔABS คือ ค่าแอนซอร์แบนซ์

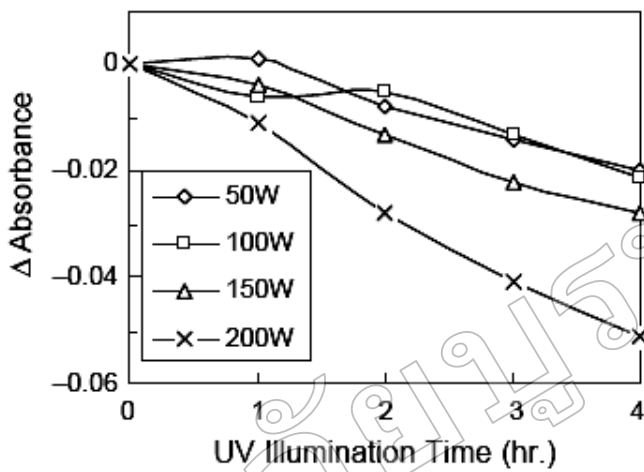
T_0 คือ ความส่งผ่านแสงก่อนการฉายแสงยูวี

T_i คือ ความส่งผ่านแสงหลังการการฉายแสงยูวี

ผลการทดสอบพบว่าค่า $\Delta ABS/\Delta ABS_{max}$ จะเพิ่มขึ้นตามเวลาการฉายแสงยูวี ภาพที่ 2-34 แสดงว่าฟิล์มบางที่นำมาทดสอบแสดงสมบัติโฟโตกะตะໄลดิติก



ภาพที่ 2-34 $\Delta ABS/\Delta ABS_{max}$ ในการสลายสารเมทิลีนบลู (Zeman & Takabayashi, 2002)



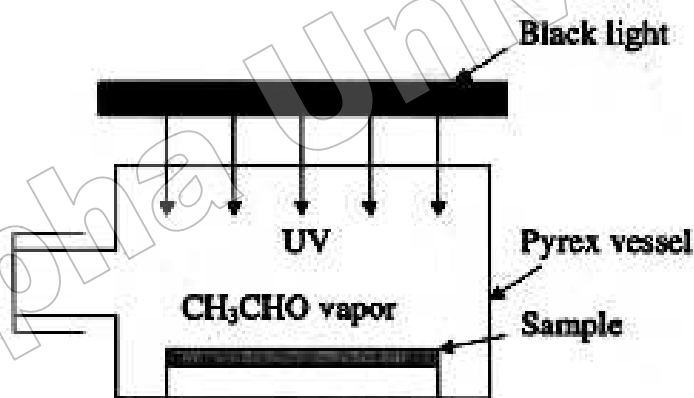
ภาพที่ 2-35 การย่อยสลายสารเมทิลีนบลูในสารละลายนฟิล์มที่เคลือบด้วย

วีชี อาร์ เอฟ สปัตเตอริง (Zhao et al., 2005)

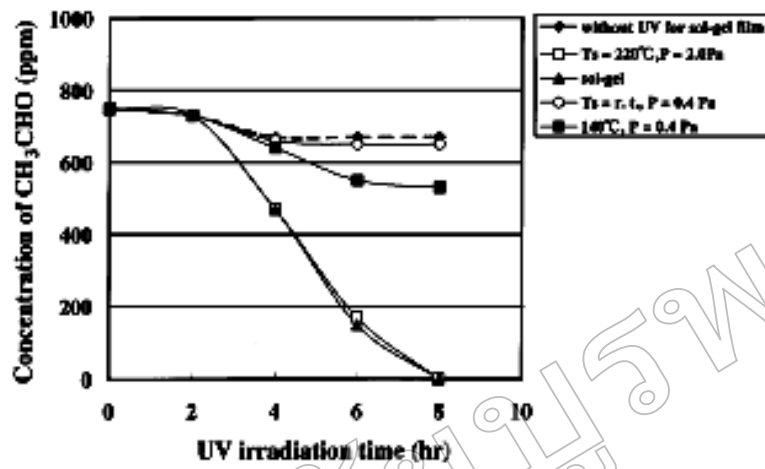
ทำนองเดียวกัน Zhao et al. (2005) ได้ทดสอบเพื่อศึกษาสมบัติโฟโตคatalytic ไอลิติกของฟิล์มไทดานียม ได้ออกใช้ดีดที่เคลือบด้วยวีชี สปัตเตอริง โดยพิจารณาจากค่าแอบซอร์เบนซ์ที่ลดลงของสารอินทรีย์หลังการเกิดกระบวนการ โฟโตคatalytic ไอลิติก ซึ่งในงานวิจัยใช้สารละลายนฟิล์มบลูเป็นตัวแทนสารอินทรีย์ และวัดการย่อยสลายด้วยเครื่อง UV-vis spectrophotometer จากรายงานการวิจัยพบว่าหลังจากข้ามแสงยูวีเป็นเวลา 4 ชั่วโมง ฟิล์มที่เคลือบด้วยเงิน ไข่ต่าง ๆ มีสมบัติโฟโตคatalytic โดยพิจารณาจากค่าแอบซอร์เบนซ์ของสารละลายนฟิล์มบลูที่ลดลงตามเวลาการรักษาแสงยูวี แสดงผลการทดสอบดังแสดงในภาพที่ 2-35

3. การตรวจสอบความเข้มข้นของแก๊สทดสอบ จากงานวิจัยของ Takeda, Susumu, Odaka, and Hosono (2001) ทำการทดสอบสมบัติโฟโตคatalytic ไอลิติกของฟิล์มไทดานียม ได้ออกใช้ดีดที่เคลือบด้วยวีชี รีแอกตีฟ ดีซี สปัตเตอริง โดยใช้วีชีการวัดความเข้มข้นของแก๊สทดสอบ ในการทดสอบจะปล่อยแก๊ส Acetaldehyde (CH_3CHO) ความเข้มข้น 750 ppm เข้าไปในชุดทดสอบ จากนั้นนำสายแสงยูวีเพื่อกระตุ้นเกิดกระบวนการ โฟโตคatalytic ไอลิติก โดยแก๊สทดสอบจะทำหน้าที่เป็นตัวแทนของสารอินทรีย์ ทั้งนี้การพิจารณาสมบัติโฟโตคatalytic ไอลิติกที่เกิดขึ้น จะดูจากความเข้มข้นของแก๊สที่เปลี่ยนไป กล่าวคือ หากความเข้มข้นของแก๊สทดสอบลดลงถือว่าเกิดกระบวนการ โฟโตคatalytic ไอลิติกที่สามารถย่อยสลายแก๊สทดสอบได้ งานวิจัยนี้ใช้ชุดทดสอบเรียกว่า Gas detector (GASTEC) ดังแสดงในภาพที่ 2-36 ส่วนการทดลองทำโดยวางกระจกที่เคลือบฟิล์ม

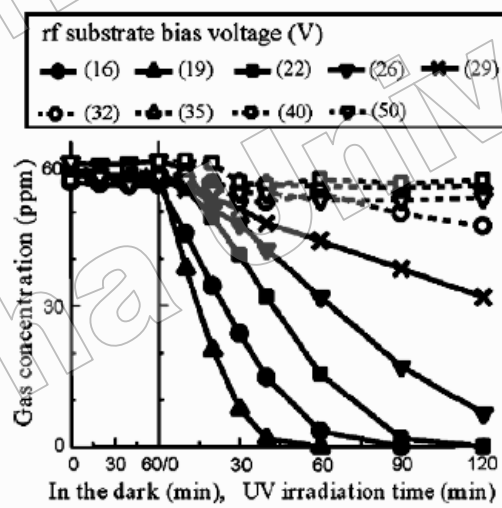
แล้วขนาดเท่ากับ $45 \times 100 \text{ mm}^2$ ลงในท่อ Pyrex จากนั้นปล่อยแก๊ส Acetaldehyde เข้ามาแล้วจายแสงยูวีจากหลอดยูวี ความเข้มแสง 2 mW/cm^2 ที่ความยาวคลื่นประมาณ 352 nm เป็นเวลา 8 ชั่วโมง วัดความเข้มข้นของแก๊ส Acetaldehyde ด้วย Gas Detector ทุก 2 ชั่วโมง ผลการทดสอบพบว่าความเข้มข้นของแก๊ส Acetaldehyde ลดลงไปตามเวลาในการฉายแสงยูวี ดังแสดงในรูปที่ 2-37 แสดงว่า ฟิล์มบางที่นำมาทดสอบแสดงสมบัติโฟโตคตตะไอลติก เช่นเดียวกันกับ Song, Irie, and Shigesato (2006) ที่ทำการทดสอบสมบัติโฟโตคตตะไอลติกของฟิล์ม ไททาเนียม ไดออกไซด์ที่เคลือบด้วยวิธีสปัตเตอริง โดยนำกระเจกที่เคลือบด้วยฟิล์มบาง ไททาเนียม ไดออกไซด์บน $50 \times 50 \text{ mm}^2$ ใส่ใน Quatz cell ขนาด $3 \times 10^5 \text{ mm}^3$ และใส่ Acetaldehyde เข้าไปและนำไปไว้ในที่มีค่าเป็นเวลา 60 นาที จากนั้นวัดความเข้มข้นของแก๊ส Acetaldehyde ก่อนจะแยกแสงยูวีด้วย Gas Chromatograph รุ่น GC-8A (Shimadzu) ฉายแสงยูวีความเข้ม 0.4 mW/cm^2 และวัดความเข้มข้นของแก๊ส Acetaldehyde ทุก 30 นาที เป็นเวลา 120 นาทีผลการทดสอบความเข้มข้นของแก๊ส Acetaldehyde พบว่าลดลงตามเวลาในการฉายแสงยูวี ดังแสดงในภาพที่ 2-38 ซึ่งแสดงว่าฟิล์มบาง ไททาเนียม ไดออกไซด์ที่นำมาทดสอบมีสมบัติโฟโตคตตะไอลติก



ภาพที่ 2-36 ชุดทดสอบสมบัติโฟโตคตตะไอลติกโดยการวัดปริมาณความเข้มข้นของแก๊ส
(Takeda et al., 2001)



ภาพที่ 2-37 ความเข้มข้นของ Acetaldehyde ที่เปลี่ยนแปลงไปตามเวลาในการฉายแสงยูวี ของฟิล์มบางที่เคลือบด้วยเทคนิคโซลเจล และ สปัตเตอริ่ง (Takeda et al., 2001)

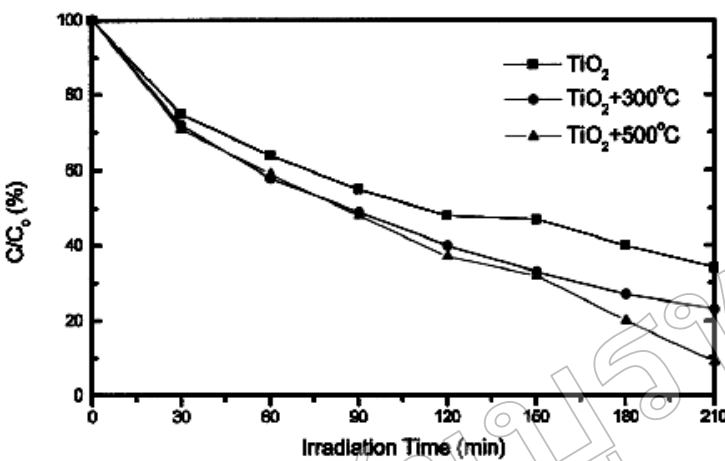


ภาพที่ 2-38 ความเข้มข้นของ Acetaldehyde ที่ลดลงตามเวลาการฉายแสงยูวี ของฟิล์มบาง เคลือบด้วยสักย์ไบแอสต่าง ๆ ที่ความดันรวมเท่ากับ 1.0 Pa (Song et al., 2006)

4. การตรวจสอบความเข้มข้นของสารละลายทดสอบ Zheng, Wang, Xiang, and Wang (2001) ทำการทดสอบสมบัติไฟโตตะตะไลติกของฟิล์ม โดยวัดความเข้มข้นของสารละลายที่นำมาทดสอบ การทดลองจะนำกระจากขนาด ขนาด 5 cm^2 ที่เคลือบด้วยไททาเนียม ไดออกไซด์แข็งในสารละลาย Rhodamine B ความเข้มข้น 0.5 mg/l ปริมาตร 5 ml จากนั้นฉายแสงยูวีกำลังไฟฟ้า 8 W ยาวคลื่นกึ่งคลื่น (Center wavelength) เท่ากับ 254 nm เป็นเวลา 210นาที เพื่อกระตุ้นให้เกิดสมบัติไฟโตตะตะไลติก ซึ่งสารละลาย Rhodamine B ทำหน้าที่เป็นตัวแทนของสารอินทรีย์ โดยระหว่างการฉายแสงยูวีจะนำสารละลายออกมารักษาความเข้มข้นด้วยเครื่อง UV-Vis-NIR spectrophotometer Lambda 9 ทุก 30นาที สมบัติไฟโตตะตะไลติกพิจารณาจากค่า C/C_0 เมื่อ C คือ ความเข้มข้นของสารละลาย Rhodamine B ผลการทดสอบสมบัติไฟโตตะตะไลติกพบว่า ค่า C/C_0 ลดลงตามเวลาในการฉายแสงยูวี ภาพที่ 2-39 แสดงว่าฟิล์ม ไททาเนียม ไดออกไซด์ที่นำมาทดสอบมีสมบัติไฟโตตะตะไลติก เช่นเดียวกันกับ Liu, Zhou, Zhou, Li, and He (2005) ได้ทำการทดสอบสมบัติไฟโตตะตะไลติกของฟิล์ม ไททาเนียม ไดออกไซด์ โดยวัดความเข้มข้นของสารละลายที่นำมาทดสอบ การทดลองจะนำกระจากขนาด $100 \text{ mm} \times 100 \text{ mm}$ เคลือบด้วยฟิล์มบาง ไททาเนียม ไดออกไซด์แข็งในสารละลาย Methyl Orange ความเข้มข้น 0.6 mmol/l ใน Quatz cell ที่ขนาดเส้นผ่านศูนย์กลาง 150 mm สูง 20 mm จากนั้นฉายแสงยูวีความเข้มแสง $6.8 \mu \text{W/cm}^2$ ความยาวคลื่นแสงบริเวณคลังหลอด 365.8 nm ฉายแสงยูวีเป็นเวลา 10 ชั่วโมง เพื่อกระตุ้นให้เกิดปฏิกิริยาไฟโตตะตะไลติก และทุก 2 ชั่วโมง จะนำสารละลายออกมารักษาความเข้มข้น ซึ่งสารละลาย Methyl Orange ใช้เป็นตัวแทนสารอินทรีย์ สมบัติไฟโตตะตะไลติกพิจารณาจากสมการที่ 17 ผลการทดสอบพบว่าค่า $\ln(C_0/C)$ เพิ่มขึ้นตามเวลาการฉายแสงยูวี และคงดังภาพที่ 2-40 ซึ่งจะเห็นว่าฟิล์มบาง ไททาเนียม ไดออกไซด์ที่นำมาทดสอบมีสมบัติไฟโตตะตะไลติก

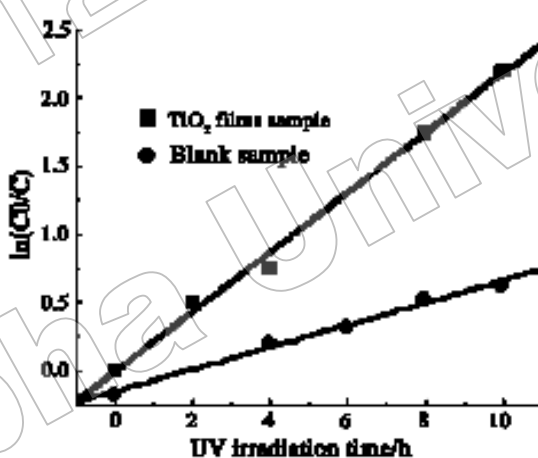
$$\ln\left(\frac{C_0}{C}\right) = kt \quad (17)$$

เมื่อ k คือ ค่าคงที่ปรากฏของอัตราการเกิดปฏิกิริยา (Apparent Reaction Rate Constant)
 C คือ ความเข้มข้นของสารละลายเมื่อเวลาผ่านไป
 C_0 คือ ความเข้มข้นเริ่มต้นของสารละลาย



ภาพที่ 2-39 การย่อยสลายทางแสงของสารละลายน Rhodamine B ณ อุณหภูมิอ่อนต่าง ๆ

(Zheng et al., 2001)

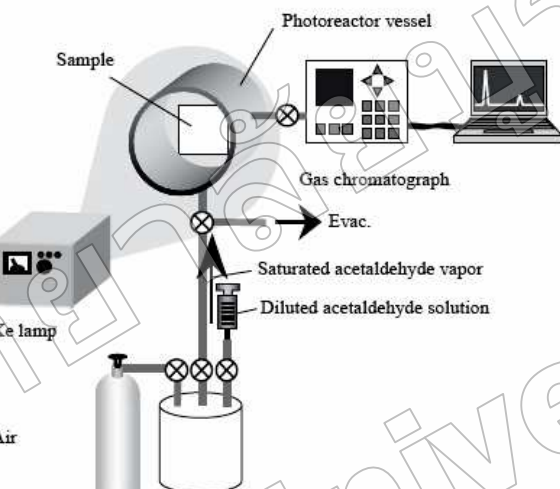


ภาพที่ 2-40 ค่า $\ln(C_0/C)$ เมื่อฉายแสงญี่วีที่อุณหภูมิของปฏิกิริยาเท่ากับ 298 K (Liu et al., 2005)

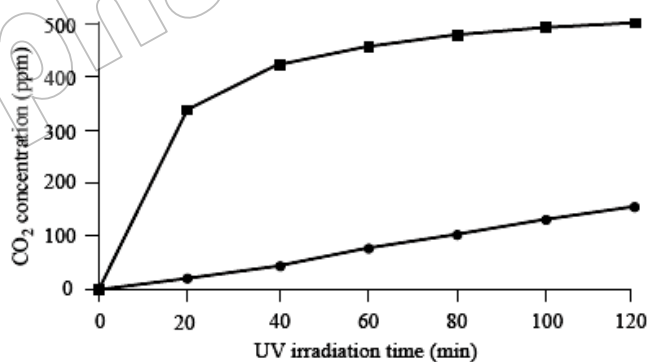
5. การตรวจสอบปริมาณกําชาร์บอนไดออกไซด์จากการกระบวนการไฟฟ้๊อกซ์ไลติก

Tazawa, Okada, Yoshimura, and Ikezawa (2004) ทำการทดลองวัดความเข้มข้นของปริมาณแก๊ส กําชาร์บอนไดออกไซด์ที่เกิดจากการกระบวนการไฟฟ้๊อกซ์ไลติกของพิล์มนางไฟฟ้าเนียม ไดออกไซด์ที่นำมาทำกระจกสะท้อนความร้อน (Heat mirror) ขนาด 2.0 cm x 2.5 cm การทดลองจะใช้แก๊ส Acetaldehyde (CH_3CHO) ความเข้มข้นหลายร้อย ppm เป็นแก๊สทดสอบ ชุดทดสอบใช้ Gas chromatograph รุ่น MicroGC CP-2002 (Varian) (ภาพที่ 2-41) โดยฉายแสงญี่วีจากหลอด Xenon 100 W เพื่อกระตุ้นให้เกิดสมบัติไฟฟ้๊อกซ์ไลติก โดยแก๊ส Acetaldehyde จะทำหน้าที่เป็นตัวแทนของสารอินทรีย์ การทดลองจะวัดปริมาณความเข้มข้นของแก๊สกําชาร์บอนไดออกไซด์ที่

เกิดขึ้นจากการกระบวนการ โฟโตคตตะไอลิติกในระหว่างการการฉายแสงยูวี ทุก ๆ 20 นาที เป็นเวลา 120 นาที สมบัติโฟโตคตตะไอลิติกที่เกิดขึ้นจะพิจารณาจากปริมาณความเข้มข้นของแก๊สคาร์บอนไดออกไซด์ที่เกิดขึ้นในกระบวนการ ซึ่งผลการทดลองพบว่าความเข้มข้นของแก๊สคาร์บอนไดออกไซด์เพิ่มขึ้นตามเวลาการฉายแสงยูวี ผลการทดลองดังแสดงในภาพที่ 2-42 ซึ่งแสดงว่าฟิล์มนบางที่นำมาทดสอบมีสมบัติโฟโตคตตะไอลิติก



ภาพที่ 2-41 ชุดทดสอบ Gas chromatograph (Tazawa et al., 2004)



ภาพที่ 2-42 ปริมาณความเข้มข้นของแก๊สคาร์บอนไดออกไซด์เพิ่มขึ้นเทียบกับเวลาในฉายแสงยูวี จากการย่อยสลายด้วยแสงของแก๊ส Acetaldehyde จากกระบวนการ โฟโตคตตะไอลิติก ของกระจกสะท้อนความร้อน外層กประสิทธิ์ (สีเหลือง) และกระจกสะท้อนความร้อนแบบชรอมดา (วงกลม) (Tazawa et al., 2004)

งานวิจัยที่เกี่ยวข้อง

Lakshmi, Renganathan, and Fujita (1995) ศึกษาสมบัติโฟโตคاتะไลติกของฟิล์มบางๆ ทางเนียม ไดออกไซด์โดยใช้สารละลายแม่พิลินบลูในการทดสอบ ใช้แสงญี่วีที่ความยาวคลื่น 365 nm เป็นตัวกระตุ้น หาค่าคงที่การเกิดปฏิกิริยาของกระบวนการการโฟโตคاتะไลติกแบบตัวเร่งปฏิกิริยาต่างสถานะ (heterogeneous photocatalytic) โดยฟังก์ชันของความเข้มข้นแบบแห้งของปริมาณ ทางเนียม ไดออกไซด์และค่า pH ปฏิกิริยาที่พบยืนด้วยการคัดซับลังเมียร์แบบอุณหภูมิคงที่ (Langmuir adsorption) และอัตราการเกิดปฏิกิริยาต่อค่า pH ที่เพิ่มขึ้นแบบเชิงเส้นกับค่า pH ของกรดในสารละลายที่มีค่าสูงสุดประมาณ 6.9

Okimura et al. (1995) เตรียมฟิล์มบาง ทางเนียม ไดออกไซด์ด้วยวิธี อาร์ เอฟ แมกนีตรอน สปัตเตอริ่ง ที่ความถี่เท่ากับ 13.56 MHz ด้วยใช้แก๊สผงมะหวังแก๊สอาร์กอนกับแก๊สออกซิเจน ที่ความดันรวมของคลื่อนเท่ากับ 2 mtorr เคลือบฟิล์มด้วยกำลังไฟฟ้าและไม่ให้ความร้อนของคลื่อบ ฟิล์มที่ได้มีโครงสร้างผลึกแบบรูไห์ล์ 100% แต่เมื่อเคลือบฟิล์มที่ความดัน 20 mtorr ได้ฟิล์มโครงสร้างผลึกแบบอนาเทส 100% การวัดลักษณะพิเศษของการแพร่แสงของแก๊สแต่ละสปีชีส์และตัวแปรทางพลาสma ใช้เทคนิค OSE (Optical emission spectroscopy) และลังเมียร์prob (Langmuir prob) เมื่อเคลือบฟิล์มที่ความดัน 2 mtorr จะพบอิเล็กตรอนพลังงานสูงที่เกิดจากการแตกตัวของแก๊สอยู่ใกล้ในบริเวณใกล้กับหัวค่าโภดในแนววรรคเมี และเป็นบริเวณที่พลาสma มีความเข้มสูง ซึ่งกลุ่มสปีชีส์ที่มีพลังงานสูงส่งผลต่อการก่อตัวของฟิล์มที่เกิดเป็นเฟสรูไห์ล์ แม้ทำ การเคลือบฟิล์มฟิล์มลงบนวัสดุรองรับที่อุณหภูมิห้อง

Okimura, Maeda, and Shibata (1996) เตรียมฟิล์มบาง ทางเนียม ไดออกไซด์ด้วยวิธี อาร์ เอฟ แมกนีตรอน สปัตเตอริ่ง ที่ความถี่ 13.56 MHz ด้วยแก๊สผงมะหวังแก๊สอาร์กอน กับแก๊สออกซิเจน พนava โครงสร้างผลึกของฟิล์มขึ้นกับตำแหน่งของวัสดุรองรับในแนววรรคเมี และความดันรวมของคลื่อบของแก๊สสปัตเตอริ่ง เมื่อเคลือบฟิล์มที่ความดันรวมของคลื่อบเท่ากับ 0.27 Pa ที่ตำแหน่งของวัสดุรองรับในแนววรรคเมีเท่ากับ 33 mm ด้วยกำลังไฟฟ้าเท่ากับ 200 W และไม่ให้ความร้อนของคลื่อบแก่ตัวของฟิล์มที่ได้จะที่มีโครงสร้างผลึกแบบรูไห์ล์ ขณะที่พบฟิล์มที่มีโครงสร้างผลึกแบบอนาเทสที่ความดันของคลื่อบเท่ากับ 2.7 Pa พนava เมื่อปริมาณแก๊สออกซิเจนน้อย การเข้าชนของไอออนของแก๊สอาร์กอนบนวัสดุรองรับซึ่งก่อนจะมีผลทำให้ฟิล์มที่ได้มีโครงสร้างผลึกแบบรูไห์ล์ ฟิล์ม ทางเนียม ไดออกไซด์ที่เคลือบลงบนแผ่นซิลิโคนมีขนาดของเกรนโดยกว่า 100 nm ส่วนการศึกษาลักษณะเฉพาะทางแสงของฟิล์มจะใช้วัตช์เป็นวัสดุรองรับ ซึ่งพบว่าค่าดัชนีหักของฟิล์มที่ความยาวคลื่นเท่ากับ 370 nm มีค่าสูงถึง 2.67

Szczyrbowski et al. (1999) ศึกษาการเตรียมฟิล์มด้วยวิธี รีแอกติฟ แมกนีตรอน สปัตเตอริงแบบหัวคู่ เพื่อนำมาใช้งานทางด้านแสง เนื่องจากไทยเนี่ยม ได้ออกใช้คู่มือค่าดัชนีหักเห สามารถส่งผ่านแสงในช่วงที่ตามองเห็น ได้และมีสมบัติเชิงกลที่ดีและมีเสถียรภาพทางเคมี ในระหว่างโครงสร้างผลึกแบบต่าง ๆ ของอุกใช้คู่ประภานี้ ไทยเนี่ยม ได้ออกใช้คู่โครงสร้าง ผลึกแบบบูรุ่งมีความหนาแน่นสูง ความแข็งและดัชนีหักเหสูง และทนต่อสภาพอุณหภูมิสูง สำหรับวิธีเตรียม ไทยเนี่ยม ได้ออกใช้คู่ให้มีสมบัติที่ต่างกันนั้น สามารถทำได้หลายวิธีการเตรียม ฟิล์มจะใช้ช่วงความถี่คลื่นวิทยุนาคคลาจ่ายให้แก่หัวแมกนีตรอน วิธีการเตรียมพิจารณาจาก สมบัติพิเศษ 2 อย่างที่มีอิทธิพลต่อการเกิดฟิล์ม ลำดับแรกคือ (1) ความต่อเนื่องในการระดมยิงของ ไอออนบวกที่มีพลังงานสูงอยู่ในช่วง 200 eV และ (2) ใช้วิธีเตรียมฟิล์มเพื่อแสงส่องผ่านได้ในโหมด โลหะหรือโหมดทรายซึ่นตามลักษณะเฉพาะของค่าトイด์ด้วยอัตราการเคลือบสูง จากการศึกษา ด้วยเทคนิค XRD พบว่าโครงสร้างผลึกของฟิล์มขึ้นกับเงื่อนไขการเคลือบ ฟิล์มที่เคลือบได้ ประกอบด้วยโครงสร้างผลึกแบบบูรุ่งมี แบบผสมอนาคต/รู่บูรุ่งและอัตโนมัติ สำหรับลักษณะ พื้นผิว โครงสร้างผลึกจะเป็นจุดจุลภาคและความหมายผิว วิเคราะห์ด้วยเทคนิค SEM และคงให้เห็น ความมีเอกภาพสูงของโครงสร้างผลึกกระดับจุลภาคและพื้นผิวฟิล์มมีความเรียบ มาก สำหรับค่าคงที่ ทางแสงคำนวณจากการสเปกตรัมที่ได้จากการวัดค่าความส่องผ่านและการสะท้อนของแสง การหา ความหนาแน่นทำโดยการวัดน้ำหนักของฟิล์ม ซึ่งมีค่าประมาณ 90% ของความหนาแน่น ไทยเนี่ยม ได้ออกใช้คู่แบบบล็อก (bulk) และค่าความเส้นของฟิล์มและความแข็งระดับจุลภาค ด้วยวิธี Vickers (Vickers method)

Takeda, Suzuki, Odaka, and Hosono (2001) ศึกษาสมบัติไฟโตคตัล ไลติกของฟิล์มบาง ไทยเนี่ยม ได้ออกใช้คู่ที่เคลือบด้วยวิธี ดีซี แมกนีตรอน สปัตเตอริง เคลือบลงบนกระจกที่ลับด้วย ชลกอน ได้ออกใช้คู่ โดยให้ความร้อนกับวัสดุรองรับ 220 °C ใช้เป้าสารเคลือบ ไทยเนี่ยม เคลือบในบรรยายกาศของแก๊สออกซิเจน 100% ฟิล์มที่ได้มีความหนาสามมิติและส่องผ่านแสงใน ยานแสงที่ตามองเห็น ได้ประมาณ 80% ฟิล์มที่ได้นำมาทดสอบการย่อยสลายอะซิทัลได้ไฮดราไนต์ การน้ำแข็งยูวี ซึ่งฟิล์มที่เตรียมได้มีสมบัติไฟโตคตัล ไลติกใกล้เคียงกับการเตรียมฟิล์มด้วยวิธี ไฮลด์-เจล แต่ฟิล์มที่เตรียมด้วยวิธีสปัตเตอริงจะมีสมบัติไฟโตคตัล ไลติกที่ดีกว่าและทนทานกว่า วิเคราะห์หาลักษณะเฉพาะของฟิล์มด้วยเทคนิค XRD SEM AFM XPS และ SIMS ส่วนโครงสร้าง ของอิเล็กตรอนของฟิล์มจะคำนวณโดยใช้หลักข้อที่ 1 ของทฤษฎีฟังก์ชันความหนาแน่น พนว่าเมื่อ ¹⁸O เข้ารวมกับฟิล์มในประมาณมากจะทำให้ฟิล์มเกิดกระบวนการไฟโตคตัล ไลติกต่อ แต่เมื่อนำ ฟิล์มไปอบอ่อนในบรรยายกาศของ ¹⁸O₂/N₂ ทำให้ออกซิเจนอิสระเข้ารวมกับ ¹⁸O ในบริเวณที่ทำให้ เกิดกระบวนการไฟโตคตัล ไลติกต่อ นอกจานนี้เบื้องต้นพบว่าโครงสร้างผลึกที่บกพร่องจะขัดขวาง

ออกซิเจนที่จะไปสร้างขั้นพลังงานระหว่างแอบช่องว่างพลังงานเพื่อช่วยในการเข้ารวมของอิเล็กตรอนไฮด์ จึงทำให้การเข้ารวมกันของอิเล็กตรอนกับไฮด์เกิดเร็วขึ้น ส่งผลให้กระบวนการไฟฟ้ากระแสไฟฟ้าเกิดขึ้นอย่าง หากฟิล์มที่เตรียมได้มีความคงพร่องในเนื้อฟิล์มน้อยจะทำให้ออกซิเจนอิสระมีความสามารถเคลื่อนที่เข้ารวมได้ดี จึงทำให้กระบวนการไฟฟ้ากระแสไฟฟ้าเกิดขึ้น

Zheng, Wang, Xiang, and Wang (2001) ศึกษาสมบัติไฟฟ้ากระแสไฟฟ้าของฟิล์มบางไฟฟ้าเนียม ไดออกไซด์ที่เคลือบบนกระจกด้วยวิธี ดีซี แมกนีตอรอน รีแอคติฟส์เต็มต่อริง เมื่อทดสอบสมบัติไฟฟ้ากระแสไฟฟ้าโดยวัดค่าการสลายตัวของโรดามีนบี (Rhodamine B) ภายใต้การน้ำรังสีอัตราไวโอลেตพบว่าฟิล์มบางที่มีโครงสร้างผลึกแบบอนาเทส มีสมบัติไฟฟ้ากระแสไฟฟ้าได้สูง และจากเทคนิค XRD พบว่าฟิล์มบางมีโครงสร้างแบบสัมฐานแต่เมื่อนำไปอบอ่อน (Anneal) โดยเพิ่มอุณหภูมิจาก 300 °C เป็น 500 °C พบว่าฟิล์มบางมีการจัดเรียงตัวเป็นเฟสอนาคตที่มีความเป็นผลึกมากขึ้น โดยฟิล์มบางที่ได้จากการอบอ่อนด้วยอุณหภูมิเท่ากับ 500 °C จะมีสมบัติไฟฟ้ากระแสไฟฟ้าเพิ่มมากขึ้น

Syarif et al. (2002) ศึกษาฟิล์มบางไฟฟ้าเนียม ไดออกไซด์ที่มีโครงสร้างผลึกแบบอนาเทส ไฮด์และสมบัติไฟฟ้ากระแสไฟฟ้าของฟิล์มที่เตรียมด้วยวิธี พลัส เลเซอร์ (Plus Laser) ด้วยเงื่อนไขการเคลือบที่ความดันย่อยแก๊สออกซิเจนต่าง ๆ กัน โครงสร้างผลึก ลักษณะพื้นผิวและสมบัติไฟฟ้ากระแสไฟฟ้าขึ้นกับความดันย่อยแก๊สออกซิเจน ฟิล์มที่ได้นำไปศึกษาก�性ะเพาะด้วยเทคนิค XRD AFM และ UV-VIS spectrophotometer พบว่าเมื่อความดันย่อยแก๊สออกซิเจนเพิ่มขึ้น ฟิล์มมีความหยาบผิวเพิ่มขึ้นและโครงสร้างผลึกเปลี่ยนจากเฟสรูไทร์ไปเป็นเฟสอนาคต เมื่อไห้อุณหภูมิกว่า 773 K การเปลี่ยนแปลงลักษณะพื้นผิวและโครงสร้างผลึกเปลี่ยนเป็นแบบอนาเทส และเมื่อเปรียบความดันย่อยแก๊สออกซิเจนเพิ่มขึ้นมีผลทำให้สมบัติไฟฟ้ากระแสไฟฟ้าเพิ่มขึ้นด้วย

Takahashi and Nakabayashi (2002) ศึกษาการเตรียมฟิล์มบางไฟฟ้าเนียม ไดออกไซด์ด้วยวิธี Facing Targets Sputtering ที่อุณหภูมิห้อง กำลังไฟฟ้าที่จ่ายแก่เป้าสารเคลือบอยู่ระหว่าง 270-450 W ระยะห่างระหว่าง เป้าสารเคลือบกับวัสดุรองรับเท่ากับ 33 mm และ 53 mm จากการทดสอบพบว่าที่ระยะห่างระหว่างเป้าสารเคลือบท่ากับ 33 mm มีอัตราการเคลือบจะสูงกว่าที่ระยะห่างเท่ากับ 53 mm ผลกระทบ XRD พบว่าที่ระยะห่างระหว่างเป้าสารเคลือบกับวัสดุรองรับเท่ากับ 33 mm และ 53 mm ฟิล์มบางมีโครงสร้างผลึกแบบอนาเทสแต่ที่ระยะห่างเท่ากับ 53 mm จะพบเฟสอนาคตสำหรับมีความเป็นผลึกสูงกว่าที่ระยะห่างเท่ากับ 33 mm เมื่อวัดความสั่นผ่านแสงด้วยเครื่องสเปกโทรไฟฟามิเตอร์สำหรับทุก ๆ ค่าความดันรวมจะเคลื่อน พบร่วมที่

ระยะห่างเท่ากับ 53 mm มีความส่งผ่านแสงดีกว่าระยะห่างเท่ากับ 33 mm และที่ระยะห่างเท่ากับ 33 mm ฟิล์มบางมีความบรุษรณะมากกว่าระยะห่างเท่ากับ 53 mm

Wang, Zheng, Hao, and Wang (2002) ได้ศึกษาสมบัติไฟโตคตะไลดิติกและการส่งผ่านแสงของฟิล์มบาง ไทยทานีเยี่ยม ได้ออกไซด์ เคลือบบนกระจกสไลด์ โดยวิธีรีแอคติฟ อาร์ เอฟ แมกนีตรอน สปีดเตอร์ริง และนำมาวิเคราะห์โครงสร้างเพื่อหาไฟฟลักซ์ด้วยเครื่อง X-Ray Diffractrometer วิเคราะห์เพื่อคุณภาพอนุภาคด้วยเครื่อง Transmittance Electron Microscopy และทดสอบความเป็นไฟโตคตะไลดิติกโดยการลดลงของสารละลายเมทีลินบลูด้วยเครื่อง UV-Vis NIR จากการศึกษาพบว่าเมื่อความดันรวมขณะเคลือบต่ำลงสมบัติไฟโตคตะไลดิติกจะเพิ่มขึ้น

Zeman and Takabayashi (2002) ได้ศึกษาเกี่ยวกับผลของสัดส่วนความดันย่อยของแก๊สออกซิเจนต่อความดันรวมขณะเคลือบ (P_{O_2}/P_t) และความดันรวมขณะเคลือบที่มีต่อโครงสร้างและไฟฟลักซ์ของฟิล์มบาง ไทยทานีเยี่ยม ได้ออกไซด์ที่ได้จากการเคลือบด้วย วิธีรีแอคติฟ อาร์ เอฟ แมกนีตรอน สปีดเตอร์ริง เมื่อนำฟิล์มที่ได้ไปศึกษาลักษณะเฉพาะต่างๆ โดยใช้เครื่อง X-Ray Diffractrometer, Scanning Electron Microscope และ Scanning Probe Microscope และนำฟิล์มบางที่ได้ไปทดสอบสมบัติไฟโตคตะไลดิติกโดยวัดค่าการสลายของเมทีลินบลู เมื่อจ่ายรังสีอัลตราไวโอเลตพบว่า ฟิล์มบางเฟสอนาคตสมบัติไฟโตคตะไลดิติกดีที่สุด และพบว่าเมื่อสัดส่วนความดันย่อยของแก๊สออกซิเจนต่อความดันรวมขณะเคลือบ (P_{O_2}/P_t) เท่ากับ 70 % และความดันรวมขณะเคลือบ (P_t) เท่ากับ 0.64 Pa ฟิล์มบางเตรียมได้จะมีเฟสอนาคตมากที่สุด เมื่อใช้ความดันขณะเคลือบที่เท่ากับ 0.18 Pa พบว่ามีการฟอร์มตัวเกิดเฟสรูไกล์ โดยพบว่าเฟสอนาคตจะมีการฟอร์มตัวเมื่อความดันรวมขณะเคลือบสูงขึ้นหรือสัดส่วนความดันย่อยของแก๊สออกซิเจนต่อความดันรวมขณะเคลือบ มีค่าต่ำลง นอกจากนี้ยังพบว่าการเพิ่มความดันรวมขณะเคลือบทามให้พื้นผิวของฟิล์มบางมีความบรุษรณะเพิ่มขึ้น โดยมีค่าความบรุษรั่วอยู่ระหว่าง 2.03-6.28 nm

Jin, Miao, Tanemura, Xu, Tazawa, and Yoshimura (2003) ได้ศึกษาการเตรียมฟิล์มบาง ไทยทานีเยี่ยม ได้ออกไซด์ที่เคลือบบนกระจกเคลือบด้วย วิธี อาร์ เอฟ สปีดเตอร์ริง เพื่อนำไปประยุกต์ใช้ในการทำกระบวนการห่อนความร้อน และศึกษาผลของการเพิ่มอุณหภูมิให้กับฟิล์มบาง ผลของความดันรวมขณะเคลือบที่ค่าต่าง ๆ และผลของการเพิ่มอัตราไหลของแก๊สออกซิเจนที่มีต่อโครงสร้างของฟิล์มบาง ซึ่งวิเคราะห์ไฟฟลักซ์ด้วยเทคนิค XRD และจากการทดลองพบว่าที่อุณหภูมิห้องฟิล์มบาง จะมีโครงสร้างอสัมฐาน เมื่อเพิ่มอุณหภูมิให้กับฟิล์มบางจาก 100 °C ถึง 600 °C จะได้ฟิล์มบางที่มีเฟสรูไกล์มีโครงสร้างผลึกเป็นแบบผลึกเดียว (Single Crystal) เมื่อใช้ความดันรวมขณะเคลือบที่เท่ากับ 0.1, 0.25, 0.5, 1.0 Pa ตามลำดับ และพบว่าที่ความดันขณะเคลือบที่เท่ากับ 0.25 Pa และ 0.5 Pa

ฟิล์มบางจะมีเฟสอนาคตมากที่สุด สอดคล้องกับผลจากการเพิ่มอัตราการไหหล่องออกซิเจนที่ทำให้ฟิล์มบางมีการจัดเรียงตัวเป็นเฟสอนาคตแบบเฟสเดี่ยว (Single Phase) มากขึ้น

Shang, Li, and Zhu (2003) ศึกษาโครงสร้างผลึกและสมบัติไฟฟ้ากระแสไฟฟ้าของฟิล์มบาง ไทยนานียม ไดออกไซด์ที่เตรียมด้วยวิธีโซล-เจล ที่เคลือบบนสแตนเลส พบร่วมปัจจัยที่มีผลต่อสมบัติไฟฟ้ากระแสไฟฟ้าของฟิล์มคือโครงสร้างผลึกและความหนา ฟิล์ม ไทยนานียม ไดออกไซด์ โครงสร้างผลึกแบบอนาคตมีความสม่ำเสมอมากและมีขนาดอนุภาคเกรนประมาณ 10 nm เมื่อความหนาของฟิล์ม ไทยนานียม ไดออกไซด์เพิ่มการแพร่ไปบนผิวสัมผัสรองรับของอนุภาคจะถูกจำกัดจากพื้นผิวและโครงสร้างผลึกที่ก่อตัวเป็นฟิล์มจะมีความสมบูรณ์ยิ่งขึ้น ความหนาและโครงสร้างผลึกของ ไทยนานียม ไดออกไซด์มีผลทำให้เกิดกระบวนการไฟฟ้ากระแสไฟฟ้าโดยใช้แก๊สฟอร์มาลินโดยใช้ชุดไฟฟ้าเรียกเตอร์แบบทรงกระบอก จากการทดสอบพบว่าฟิล์มแสดงสมบัติไฟฟ้ากระแสไฟฟ้ากระแสไฟฟ้ามีความหนา 50-360 nm แต่ ไทยนานียม ไดออกไซด์มีความหนา 250 nm กระบวนการไฟฟ้ากระแสไฟฟ้าจะคงที่ไม่เปลี่ยน

Yamagishi, Kuriki, Song, and Shigesato (2003) ศึกษาผลของการเพิ่มความดันรวมขยะเคลือบที่มีต่อไฟฟ้ากระแสไฟฟ้าซิต โดยเคลือบบนกระดาษ Non-Alkali ด้วยวิธีรีแอคติฟ อาร์เอฟ แมกนีตรอน สปีตเตอริง และให้ความร้อนขณะเคลือบกับแผ่นกระดาษที่อุณหภูมิ 200 °C ควบคุมอัตราไหหล่องแก๊สออกซิเจนเท่ากับ 30 % นำฟิล์มบางที่เตรียมได้ไปตรวจสอบลักษณะเฉพาะของเฟสและลักษณะพื้นผิวด้วยเทคนิค XRD และเทคนิค SEM ตามลำดับ ทดสอบสมบัติไฟฟ้ากระแสไฟฟ้าโดยวัดค่าการสลายของเมทิลีนบลู และทดสอบสภาพขอบน้ำ โดยวัดการลดลงของมนุสัมพสภายได้การน้ำรังสีอัลตราไวโอเลต จากการศึกษาพบว่าฟิล์มบางที่เตรียมได้มีเฟสอนาคตทุกค่าความดันรวมขณะเคลือบและที่ความดันรวมเท่ากับ 1 Pa จะพบเฟสอนาคตที่มีความเป็นผลึกมากที่สุด ขณะที่ความดันรวมเท่ากับ 0.3 Pa เฟสอนาคตมีความเป็นผลึกลดลงและปรากฏเฟสรูไกล์รวมอยู่ นอกจากนี้ยังพบว่าที่ความดันรวมขณะเคลือบเท่ากับ 3 Pa ฟิล์มบางที่เตรียมได้มีเกรนขนาดใหญ่และมีค่ามนุสัมพสต์ต่ำแสดงให้เห็นว่ามีสภาพขอบน้ำและสมบัติไฟฟ้ากระแสไฟฟ้าที่ดี

Zeman and Takabayashi (2003) เตรียมฟิล์มบาง ไทยนานียม ไดออกไซด์ด้วยวิธีรีแอคติฟ อาร์เอฟ แมกนีตรอน สปีตเตอริง ใช้วิธี PVD เคลือบ ไทยนานียม ไดออกไซด์ที่ให้แสงสามารถผ่านได้จะใช้กระดาษเป็นวัสดุรองรับ เพื่อนำไปใช้ในการทดสอบสมบัติไฟฟ้ากระแสไฟฟ้าโดยวิเคราะห์หาลักษณะเฉพาะของฟิล์มด้วยเทคนิค XRD AFM การทดสอบสมบัติไฟฟ้ากระแสไฟฟ้าโดยวิเคราะห์หาลักษณะเฉพาะของฟิล์ม ไทยนานียม ไดออกไซด์ที่มีความหนาเท่ากับ 70-950 nm บนวัสดุรองรับที่ความดันรวม 2 ค่า เพื่อนำไปทดสอบกระบวนการไฟฟ้ากระแสไฟฟ้าโดยวิเคราะห์หาลักษณะเฉพาะของฟิล์มที่

เตรียมด้วยความดันรวมขณะเคลือบสูงจะเกิดกระบวนการไฟโตตะตะไลติกจะสูงขึ้นเมื่อความหนาของฟิล์มที่นำมาทดสอบเพิ่มขึ้น นอกจานี้ ฟิล์มไททาเนียมไดออกไซด์ความหนา 65 nm ที่เคลือบโดยหมุนวัสดุรองรับขณะเคลือบและความสัมพันธ์ระหว่างตัวแปรที่ใช้ในการเคลือบ เช่น อุณหภูมิวัสดุรองรับและความดันรวม โครงสร้างผลึกและการกระบวนการไฟโตตะตะไลติกที่ได้ศึกษา ฟิล์มจะเกิดกระบวนการไฟโตตะตะไลติกที่ดีมาก เมื่อให้อุณหภูมิกับวัสดุรองรับมากกว่า 100 °C หรือความดันรวมขณะเคลือบสูงกว่า 1 Pa อย่างใดอย่างหนึ่ง

Tazawa, Okada, Yoshimura, and Ikezawa (2004) ได้ศึกษาเกี่ยวกับกระบวนการระดับท่อน ความร้อนที่สามารถส่งผ่านแสงสูงในย่านแสงที่ตามมองเห็น และสะท้อนแสงในย่านอินฟราเรด pigerณาสารประกอบไททาเนียมสามชั้นซึ่งอนึ่งบนกระจกได้แก่ TiO₂/TiN/TiO₂ สำหรับ ไททาเนียมไดออกไซด์นั้นมีสมบัติไฟโตตะตะไลติกยอดเยี่ยม ซึ่งชั้นบนของกระจกสะท้อน ความร้อนคาดว่าจะสามารถเกิดกระบวนการไฟโตตะตะไลซิส ตัวอย่างเช่น เคลือบเพื่อลดการ สะท้อน อย่างไรก็ตามความหนาของฟิล์มมีผลต่อสมบัติไฟโตตะตะไลติกเป็นอย่างยิ่ง ความหนา และความบางที่เหมาะสมของฟิล์มชั้นบนของกระจกสะท้อนความร้อนมีผลต่อสมบัติไฟโต ตะตะไลติก การทดสอบทำโดยย่อยสลายแก๊สอะซิตัลเดไฮด์ (Acetaldehyde) ในงานวิจัยได้แสดง ความเป็นไปได้ที่จะสร้างกระจกสะท้อนความร้อนหลายชั้นและปราบภารณ์สะท้อนความ ร้อนของกระจกด้วยวิธีคำนวณการจำลองเหตุการณ์ก่อนที่จะทำการทดลองจริง พบว่าชั้นบนของ ไททาเนียมไดออกไซด์จะมีความหนาประมาณ 350-400 nm หรือประมาณ 1170 nm จึงจะสามารถ แสดงการสะท้อนความร้อนได้และเป็นความหนาที่เพียงพอที่ทำให้เกิดกระบวนการไฟโต ตะตะไลติก

Acosta, Martinez, Lopez, and Magana (2005) เตรียมไททาเนียมไดออกไซด์ด้วยวิธี รีแอคติฟ แมgnิตรอนสปีตเตอริงและวิธีสเปรย์ร้อนบนวัสดุรองรับที่เป็นกระจกและกระจกที่จาก ด้วยฟลูออโรนทินออกไซด์ (FTO) ฟิล์มที่ได้วิเคราะห์ลักษณะเฉพาะด้วยเทคนิค XRD SEM TEM และ AFM หาสมบัติไฟโตตะตะไลติกด้วย UV-VIS spectroscopy เคลือบฟิล์มภายใต้อิทธิพลของ ปฏิกิริยาที่เกิดในบรรยายกาศของแก๊สผสมอาร์กอนต่อออกซิเจน 50/50 เพื่อศึกษาความเป็นไปของ พื้นผิวและสมบัติทางโครงสร้างที่มีความสัมพันธ์กับสมบัติไฟโตตะตะไลติกภายใต้การฉายแสงยูวี ฟิล์มไททาเนียมไดออกไซด์ที่แสงสามารถผ่านได้เตรียมด้วยวิธีสเปรย์ความร้อนโดยใช้ความเข้มข้น ไททาเนียมต่ำและอุณหภูมิของวัสดุรองรับต่าง ๆ กัน ที่อุณหภูมิวัสดุรองรับสูง ๆ ฟิล์มที่ได้จะมี โครงสร้างพหุผลึกแบบอนาคต ที่อุณหภูมิวัสดุรองรับต่ำ ฟิล์มที่ได้มีลักษณะเป็นแบบอสัณฐาน

สมบัติไฟโตคตะไอลติกดีที่สุดพบเมื่อเตรียมฟิล์มด้วยวิธีสเปรย์ร้อนที่อุณหภูมิวัสดุรองรับเท่ากับ 450°C และสำหรับการเตรียมด้วยวิธีแมกนีตรอน สปีดเตอริงที่ 16 mtorr ฟิล์มมีอัตราการย่อยสลายด้วยแสงสูง

Frach, Zywitzki, Modes, Klinkenberg, and Gottfried (2005) ได้ศึกษาสมบัติไฟโตคตะไอลติกของฟิล์มนางไททาเนียม ไดออกไซด์ที่เตรียมด้วยวิธีรีแอกติฟ พัลส์ แมกนีตรอน สปีดเตอริง โดยเปลี่ยนพัลส์ halfway ใหม่ๆ ในหลายอัตราเคลือบระหว่าง 8-50 nm/min ฟิล์มที่ได้นำมาศึกษาสภาพขอบน้ำ และสมบัติไฟโตคตะไอลติกด้วยการน้ำยาแสงยูวีระหว่างวัดค่ามัมสัมผัสของน้ำที่ลดลงและวัดการย่อยสลายสารเมทิลีนบลู พบว่าการใช้พัลส์ แมกนีตรอน สปีดเตอริงเทคโนโลยีสามารถเตรียมฟิล์มให้มีโครงสร้างผลึกแบบต่างๆ ในขณะทำการเคลือบที่อุณหภูมิต่ำกว่าอุณหภูมิที่ใช้ในการอบอ่อนของฟิล์มแบบอสัมฐาน นอกจากนี้ ฟิล์มที่เตรียมโดยการกำหนดโครงสร้างในระหว่างการเคลือบจะให้สมบัติไฟโตคตะไอลติกสูงกว่าฟิล์มแบบอสัมฐานก่อนทำการอบอ่อน และพบว่าฟิล์มที่มีความหนาแน่นอยู่กว่า 50 nm ที่เคลือบลงบนวัสดุรองรับที่อุณหภูมิ 130°C แสดงสมบัติไฟโตคตะไอลติกเพียงพอในการนำไปประยุกต์ใช้

Guan (2005) ได้ศึกษาความสัมพันธ์ระหว่างไฟโตคตะไอลติกและสภาพขอบน้ำเพื่อดูปรากฏการณ์การทำความสะอาดด้วยตัวขององฟิล์ม $\text{TiO}_2/\text{SiO}_2$ ที่เคลือบบนกระจาด โดยการเคลือบแบบโซล-เจล (Sol-Gel) จากการทดลองพบว่าเมื่อเพิ่มปริมาณการโดป (Dope) ซิลิกอนไดออกไซด์ (SiO_2) ให้เฟสอนาคตเพิ่มขึ้นและ มีสมบัติไฟโตคตะไอลติกและสภาพขอบน้ำดีขึ้น นอกจานี้ การโดปซิลิกอนไดออกไซด์ (SiO_2) ยังเป็นการช่วยปรับปรุงคุณภาพของฟิล์มและช่วยลดการจับตัวของฝุ่นด้วย

Liu, Zhao,Zhao Chunling, and He (2005) ศึกษาโครงสร้างผลึกและสมบัติไฟโตคตะไอลติกของฟิล์มนางไททาเนียม ไดออกไซด์ที่เคลือบด้วยวิธีรีแอกติฟ แมกนีตรอน สปีดเตอริง ที่ความดันย่อยแก๊สออกซิเจนต่างๆ กัน และนำฟิล์มไปวิเคราะห์ทางกลยุทธ์เฉพาะของฟิล์มด้วยเทคนิค XRD XPS AFM และ FT-IR (Fourier transform infrared spectrometry) สำหรับการทดสอบสมบัติไฟโตคตะไอลติกทำการวัดการย่อยสลายของสารละลายเมทิลีนบลูโดยดูจากค่าคงที่การเกิดปฏิกิริยา (k) ฟิล์มที่เตรียมได้จากเงื่อนไขการเคลือบความดันย่อยแก๊สออกซิเจนต่างกันมีโครงสร้างผลึกแบบอนาคตและเมื่อเคลือบฟิล์มด้วยความดันย่อยแก๊สออกซิเจนสูงฟิล์มได้มีขนาดเกรนโต จากการทดสอบสมบัติไฟโตคตะไอลติกดีและฟิล์มที่มีขนาดเกรนโตจะมีสมบัติไฟโตคตะไอลติกสูง และมีปริมาณความเข้มข้นของไฮดรอกซิลิโอลอน (OH^-) สูงด้วย

Zhao et al. (2005) ได้ศึกษาผลของโครงสร้างพลีกที่มีต่อสมบัติไฟฟ้ากระแสไฟฟ้าและสภาพขอบน้ำของฟิล์มนางทานเนียม โดยออกไซด์ที่เคลือบด้วยวิธีรีแอคตีฟ อาร์เอฟ แมกนีตรอน สปัตเตอริง ใช้วัสดุรองรับเป็นสแตนเลส โดยให้ความร้อนขณะเคลือบที่อุณหภูมิเท่ากับ 400°C และความดันขณะเคลือบที่เท่ากับ 1.3 Pa ความดันย่อยของแก๊สออกซิเจนเป็น 90% ของความดันรวม ขณะเคลือบ พลีกที่ได้นำไปวิเคราะห์ด้วยเทคนิค XRD วิเคราะห์ด้วยขณะพื้นผิวโดยใช้เทคนิค AFM ทดสอบสมบัติขอบน้ำ โดยวัดค่ามุมสัมผัสและทดสอบสมบัติไฟฟ้ากระแสไฟฟ้าแบบพหุพลีก (Polycrystalline) ที่มีเฟสอ่อนหลักเป็นเฟสรูไทร์บันกันอยู่ และเมื่อเพิ่มกำลังไฟฟ้าจาก 50 W ถึง 200 W พบริล์มนางทานเนียมเป็นพลีกสูงขึ้น ความเรียบของพื้นผิวมีมากขึ้น และสมบัติไฟฟ้ากระแสไฟฟ้าคงเดิมตามลำดับ

Song, Irie, and Shigesata (2006) ได้ศึกษาโครงสร้างพลีกและสมบัติไฟฟ้ากระแสไฟฟ้าของฟิล์มนางทานเนียม โดยออกไซด์ที่เคลือบด้วยวิธีรีแอคตีฟ สปัตเตอริง และใบอัลฟัสตุด รองรับด้วยความถี่คลื่นวิทยุ พลีกที่ได้ออกไซด์ที่ได้มีความหนาประมาณ $400\text{-}460\text{ nm}$ เคลือบโดยไม่ให้ความร้อนบนกระจก ใช้คลื่นวิทยุในกระบวนการ การรีแอคตีฟ สปัตเตอริง เป็นการเผาท่านเนยมขนาด 3 mm ความเข้มสนามแม่เหล็กที่หัวคาวาโด 1000 G การเคลือบพิล์มทำโดยการแปรค่าความถี่คลื่นวิทยุที่ใบอัลฟัสตุดรองรับ $10\text{-}80\text{ V}$ ภายใต้ความดันแก๊สร่วม 1.0 หรือ 3.0 Pa อัตราไหลแก๊สออกซิเจน $[\text{O}_2 / (\text{O}_2 + \text{Ar})]$ ควบคุมให้คงที่ 60% และกำลังไฟฟ้าของอาร์เอฟ สปัตเตอริงเท่ากับ 200 W กระบวนการไฟฟ้ากระแสไฟฟ้ากระแสไฟฟ้าที่เกิดจากการเหนี่ยวนำทางแสงในกระบวนการออกซิเดชันสำหรับการย้อมสลายสารอะซิทัลไดอีด (CH₃CHO) ของฟิล์มนางทานเนียม โดยออกไซด์แสดงแนวโน้มที่ลดลงเมื่อเพิ่มความต่างศักย์ใบอัลฟัสตุดรองรับ พิจารณาไม่ได้โครงสร้างพหุพลีกแบบผสมอนาเทส/รูไทร์ซึ่งเมื่อเพิ่มความต่างศักย์ใบอัลฟัสตุดรองรับ พบริมาณของรูไทร์เพิ่มขึ้นขณะที่ปริมาณของอนาเทสจะลดลง และพบว่าฟิล์มนางทานเนียมมีความเป็นพลีกมากกว่าเฟสรูไทร์

Tavares et al. (2007) ได้ศึกษาสมบัติไฟฟ้ากระแสไฟฟ้าของฟิล์มนางทานเนียม โดยออกไซด์ที่เคลือบบนกระจกด้วยวิธี ดิซี รีแอคตีฟ แมกนีตรอน สปัตเตอริง พบริล์มนางทานเนียม โดยออกไซด์ที่เคลือบได้มีโครงสร้างแบบพหุพลีก มีสมบัติไฟฟ้ากระแสไฟฟ้ากระแสไฟฟ้าคงเดิม เมื่อตรวจสอบไฟฟ้ากระแสไฟฟ้าที่มีโครงสร้างแบบสัมฐาน ไม่มีสมบัติไฟฟ้ากระแสไฟฟ้าคงเดิม เมื่อนำฟิล์มไปอบอ่อนที่อุณหภูมิ 500°C นาน 2 ชั่วโมง จะได้ฟิล์มนางทานเนียมและเฟสรูไทร์ซึ่งฟิล์มนางทานเนียมมีสมบัติไฟฟ้ากระแสไฟฟ้าคงเดิม เมื่อทดสอบโดยนำ

ฟิล์มบางແຊ'ในสารละลายน้ำเดเมินบี(Rhodamine B) แล้วนำเข้าแสงอัลตราไวโอลเตที่เวลาต่าง ๆ กันแล้วนำไปวัดค่าการดูดกลืนสเปกตรัม โดยเครื่องสเปกโทรโฟโตมิเตอร์

Ogawa et al. (2008) ได้เตรียมฟิล์มไททาเนียมโดยอกไชค์บนวัสดุรองรับที่เป็น MgO ด้วยวิธีรีแอคตีฟ แมgnิตรอน สปีตเตอริง โดยใช้ออกซิเจนเรดิคัล เพื่อใช้ในการเตรียมฟิล์มให้ตกผลึกที่อุณหภูมิต่ำและควบคุมโครงสร้างผลึก ขณะเคลือบฟิล์มบางไททาเนียมโดยอกไชค์มีการเปล่งแสงของปฏิกิริยาของออกซิเจนเรดิคัล ระยะห่างระหว่างวัสดุรองรับและเป้าสารเคลือบท่ากัน 90 mm และ อุณหภูมิวัสดุรองรับควบคุมให้เท่ากัน 125 °C การเปล่งแสงแสดงทิศทางของระนาบผลึก (110) ของไททาเนียมโดยอกไชค์ที่มีโครงสร้างผลึกแบบรูไกล์ การเปล่งแสงของเรดิคัลเปลี่ยนจากโครงสร้างผลึกแบบรูไกล์ไปเป็นอนแทสเมื่อเตรียมฟิล์มไททาเนียมโดยอกไชค์ที่อุณหภูมิเท่ากัน 300 °C โดยการปรับระยะห่างระหว่างวัสดุรองรับกับเป้าสารเคลือบ เมื่อตำแหน่งวางวัสดุรองรับเท่ากัน 110 mm ฟิล์มไททาเนียมโดยอกไชค์แสดงทิศทางของแกน a สูง ของโครงสร้างผลึกแบบอนแทส ฟิล์มบางไททาเนียมโดยอกไชค์แบบรูไกล์และอนแทสประกอบด้วยเกรนขนาดเล็กและมีพื้นผิวของฟิล์มเรียบมาก

Toku, Pessoa, Maciel, Massi, and Mengui (2008) ได้ศึกษาการเตรียมฟิล์มบางไททาเนียมโดยอกไชค์ที่เคลือบบนแผ่นซิลิโคนด้วย วิธี คิชี แมgnิตรอน สปีตเตอริง เพื่อนำไปประยุกต์ใช้ในการทำกระจกทำความสะอาดด้วยตัวเอง โดยศึกษาผลของการเคลือบภายในไนโตรฟิล์มที่อุณหภูมิของวัสดุรองรับเท่ากัน 150 °C ที่ระยะห่างระหว่างเป้าสารเคลือบกับวัสดุรองรับเท่ากัน 15, 20 และ 25 mm จากการตรวจสอบเฟสด้วยเทคนิค XRD พบว่าที่ระยะห่างระหว่างเป้าสารเคลือบกับวัสดุรองรับเท่ากัน 15 mm พนฟิล์มบางไททาเนียมโดยอกไชค์เฟสอนาคตที่มีความเป็นผลึกสูงกว่าระยะห่างเท่ากัน 20 mm ส่วนที่ระยะห่างเท่ากัน 25 mm พนฟิล์มบางเฟสอนาคตที่มีความเป็นผลึกน้อยที่สุดและทุกๆ ระยะห่างยังพบเฟสรูไกล์ปะปนอยู่ด้วย

Yi, Guofeng, Ma, and Wei (2008) ได้ศึกษาผลของการศักย์ไฟฟ้าใบอัลต์และความหนาต่อสมบัติไฟฟ้าโดยวิธีสหห้องฟิล์มไททาเนียมโดยอกไชค์ที่เคลือบด้วยวิธีสหห้อง ประยุกต์ (Thermal spray) ฟิล์มที่เคลือบได้มีความหนาต่างกัน พบว่าการใบอัลต์ มีความสำคัญต่อสมบัติไฟฟ้ากระแสไฟฟ้าที่สูงและคงทน ไม่เสื่อมคลาย สำหรับฟิล์มที่เคลือบด้วยวิธีสหห้องจะเพิ่มขึ้นตามความต่างศักย์ไฟฟ้าใบอัลต์ อย่างไรก็ตามที่ความต่างศักย์ไฟฟ้าใบอัลต์มากกว่า 15 V ประสิทธิภาพการย่อยสลายเริ่มคงที่ ฟิล์มไททาเนียมโดยอกไชค์ที่เคลือบโดยการใบอัลต์ความต่างศักย์ไฟฟ้านอกเท่ากัน 15 V และมีความหนาเท่ากัน 6 μm และคงความสามารถในการเกิดกระบวนการไฟฟ้ากระแสไฟฟ้าที่สูด

Zywicki, Modes, Frach, and Gloss (2008) ได้ศึกษาผลของโครงสร้างพลีกและลักษณะพื้นผิวของชั้นฟิล์มบางไทยท่านเยี่ยม โดยออกไซด์ที่เคลือบด้วยวิธี รีแอคตีฟ พลัส แมกนีตรอน สปัตเตอร์ิงบนกระจกสีไลด์ที่อุณหภูมิวัสดุร้อนเท่ากับ 400°C ความดันรวมระหว่างเคลือบ แปรค่าอยู่ระหว่าง 0.3 และ 3 Pa สำหรับการปรับปรุงผิว ฟิล์มที่มีความหนา 500 nm วิเคราะห์ลักษณะเฉพาะโดยเทคนิค SEM AFM และ XRD พบว่าฟิล์มส่วนใหญ่มีโครงสร้างพลีกแบบアナเกสและมีรูไกล์ปัมมาน้อย ๆ เมื่อเพิ่มความดันจาก 0.3 ถึง 1.2 Pa ฟิล์มมีความหยาบผิวนิดเดียวที่ $4.5 - 8.0\text{ nm}$ ส่วนขนาดเกรนบนผิวฟิล์มวิเคราะห์ด้วยเทคนิค AFM มีขนาดอยู่ระหว่าง $75 - 100\text{ nm}$ ส่วนที่ความดัน 2 Pa และ 3 Pa ฟิล์มก่อตัวเป็นโครงสร้างระดับจุลภาคที่มีขนาดเกรนน้อยกว่า 50 nm และความหยาบผิวลดลงไปสู่ 2.4 nm สำหรับผลของโครงสร้างพลีกและลักษณะพื้นผิวที่มีต่อกระบวนการไฟฟ้ากระแสตรงต่อกันของฟิล์มดูจากการย่อส่ายสารละลายเมทิลีนบูลิกายได้การanaly แสงญวี สำหรับกระบวนการไฟฟ้ากระแสตรงต่อกันของฟิล์มที่เคลือบด้วยความดันรวม 0.3 และ 1.2 Pa พบว่าเกิดขึ้นสูง ซึ่งปฏิกริยาไฟฟ้ากระแสตรงต่อกันจะเพิ่มขึ้นตามความหยาบผิวของฟิล์มที่มากขึ้น ต่างจากโครงสร้างพลีกของฟิล์มที่เคลือบด้วยความดันรวมสูง 2 Pa และ 3 Pa ซึ่งมีสมบัติไฟฟ้ากระแสตรงต่อกันที่ต่ำกว่า ผลที่เกิดขึ้นแสดงให้เห็นถึงผลของการบวกพร่องที่เกิดขึ้นในชั้นฟิล์ม ซึ่งมีผลต่อการกลับเข้ารวมกันของอิเล็กตรอนกับไฮดราในกระบวนการไฟฟ้ากระแสตรงต่อกันของฟิล์ม

มติ ห่อประทุม (2548) ได้ศึกษาผลของเงื่อนไขในการเคลือบฟิล์มบางไทยท่านเยี่ยม โดยออกไซด์ด้วยวิธี ดี ซี รีแอคตีฟ สปัตเตอร์ิง เคลือบบนกระจกและแผ่นซิลิโคน โดยอัตราไหลของแก๊สของออกซิเจนค่าต่าง ๆ กัน และเวลาที่ใช้ในการเคลือบฟิล์มคือ 15, 30, 45 และ 60 นาที จากการทดลองพบว่าเมื่อให้อัตราไหลของแก๊สออกซิเจนเท่ากับ 8 sccm และเคลือบฟิล์มบางนาน 45 นาที ฟิล์มบางที่ได้มีการจัดเรียงตัวเป็นเฟสแบบอนาคตมากที่สุด และเมื่อเพิ่มเวลาในการเคลือบจะทำให้ฟิล์มบางมีความหนาเพิ่มขึ้นและมีความชุรุยะเพิ่มขึ้นซึ่งค่าความชุรุยะอยู่ระหว่าง $0.9 - 5.9\text{ nm}$

อดิศร บูรณวงศ์ (2551) ได้ศึกษาการเคลือบฟิล์มบางไทยท่านเยี่ยม โดยออกไซด์ และศึกษาผลของความดันรวมขณะเคลือบ ความดันย่อยของแก๊สออกซิเจนต่อโครงสร้างและสภาพขอบน้ำของฟิล์มบางไทยท่านเยี่ยม โดยออกไซด์ ฟิล์มบางไทยท่านเยี่ยม โดยออกไซด์ที่ใช้ในงานวิจัยนี้คือเคลือบด้วยระบบเคลือบแบบ รีแอคตีฟ ดีซี สปัตเตอร์ิง บนกระจกสีไลด์และแผ่นซิลิโคนที่ความดันรวมขณะเคลือบและความดันย่อยของแก๊สออกซิเจนต่าง ๆ ฟิล์มบางที่ได้จะศึกษาลักษณะเฉพาะของฟิล์ม ด้วยเทคนิค XRD และเทคนิค AFM และศึกษาสภาพขอบน้ำด้วยเครื่องวัดมุนสัมผัส พบว่าฟิล์มบางที่ได้มีโครงสร้างพลีกทั้งแบบรูไกล์และแบบผสมของアナเกสและรูไกล์ โดยโครงสร้างพลีกลักษณะพื้นผิวและความหนาของฟิล์มบางที่เคลือบได้จะเปลี่ยนแปลงไปตามเงื่อนไขการเคลือบ

ฟิล์มบางที่ได้แสดงสภาพของน้ำ ฟิล์มที่เคลือบด้วยความดันรวมขณะเคลือบสูงแสดงสภาพของน้ำแบบยึงขาด และฟิล์มบางที่เคลือบที่ความดันย่อยของแก๊สออกซิเจนต่าง ๆ แบบไม่คุณความดันรวมขณะเคลือบจะแสดงสภาพของน้ำใกล้เคียงกัน ส่วนฟิล์มบางที่เคลือบที่ความดันย่อยของแก๊สออกซิเจนต่าง ๆ โดยคุณความดันรวมขณะเคลือบพบว่าฟิล์มบางทั้งหมดสามารถแสดงสภาพของน้ำแบบยึงขาดได้